

最終講義

2025年2月15日(土) 伊藤 信之

話の内容



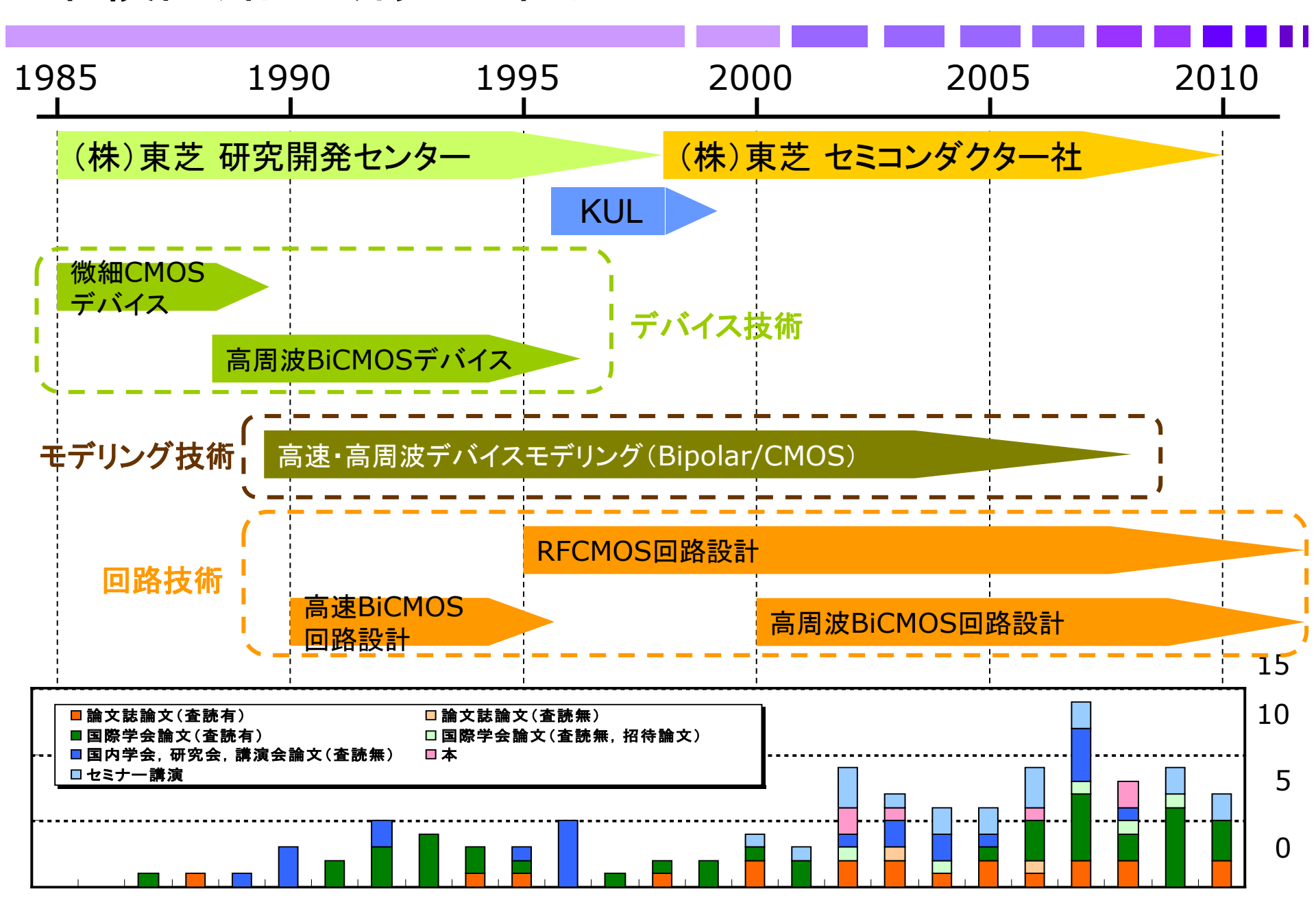
- 東芝時代(1985~2010)
- 岡山県立大学時代(2010~2025)
 - Oscillator
 - Injection Lock and Push-Push Frequency Generator
 - Amplifier
 - ■集積回路工学研究室伊藤Gr
- ■今後の予定



東芝時代(1985~2010)

集積回路の研究の経歴



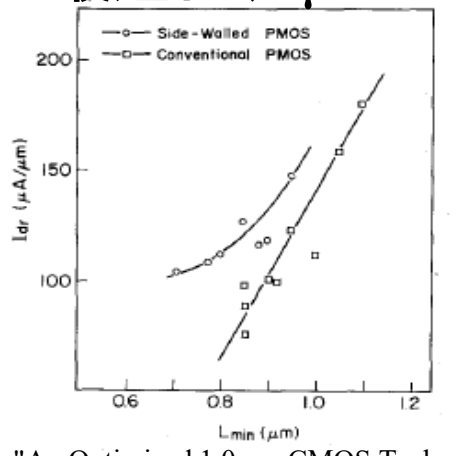


デバイス技術



■ PMOSのモビリティ劣化を考慮した最適化(1µmレベル)

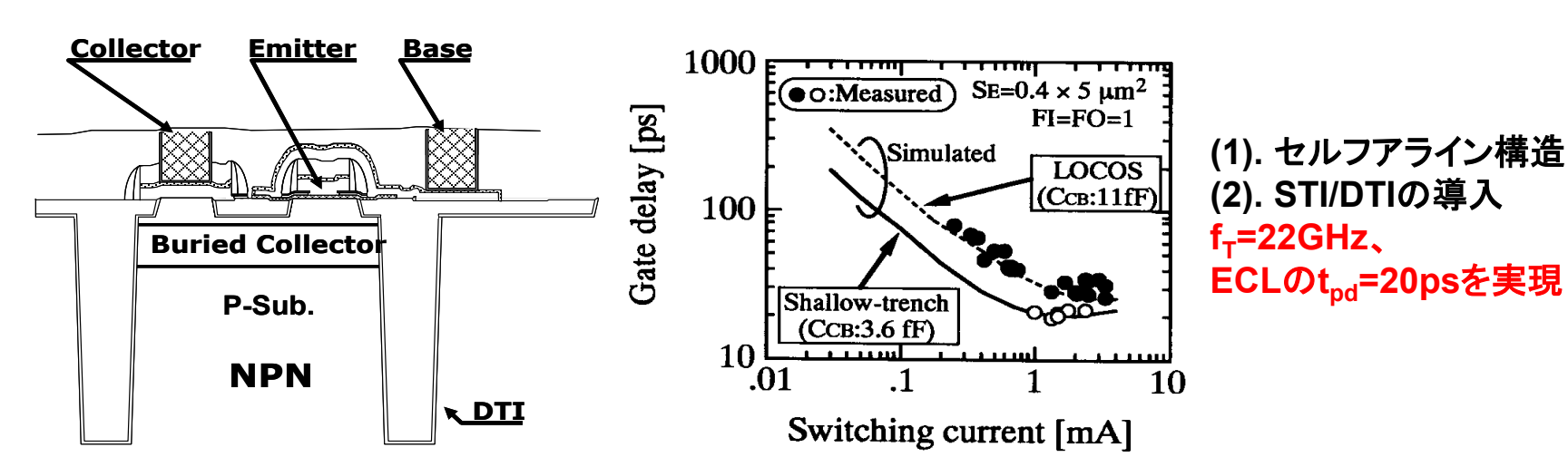




ショートチャネルにおけ るモビリティ改善

Y. Ushiku, T. Kobayashi, A. Yoshida, N. Itoh, A. Nishiyama, and R. Nakata, "An Optimized 1.0 um CMOS Technology for Next Generation Channelless Gate Arrays," IEEE Journal of Solid-State Circuits, vol. 23, No. 2, pp.507-513, Apr. 1988, DOI: 10.1109/4.1014.

■ 新しい高周波・高速バイポーラプロセスの構築

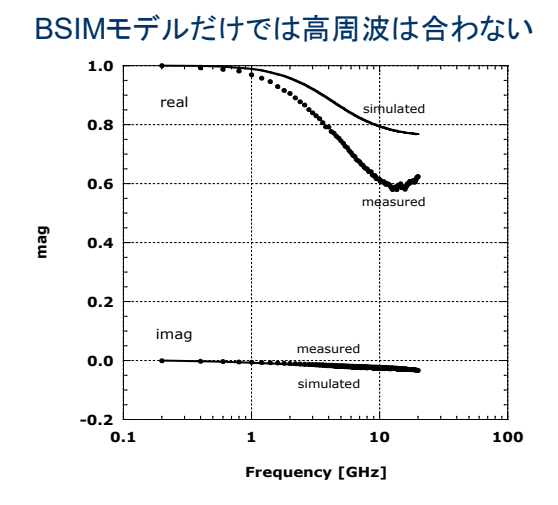


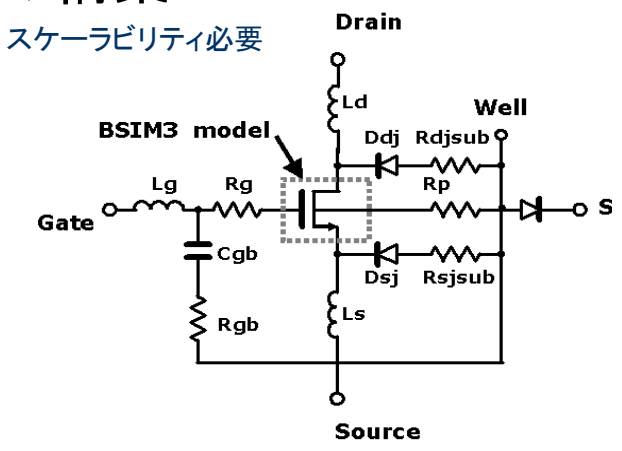
T. Iinuma, N. Itoh, H. Nakajima, K. Inou, S. Matsuda, C. Yoshino, Y. Tsuboi, Y. Katsumata, and H. Iwai, "Sub-20 ps High-Speed ECL Bipolar Transistor with Low Parasitic Architecture," IEEE Trans. Electron Devices., vol. ED-42, No. 3, pp.399-405, Mar. 1995, DOI: 10.1109/16.368035.

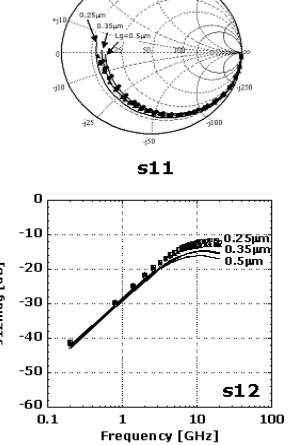
高周波デバイスモデリング



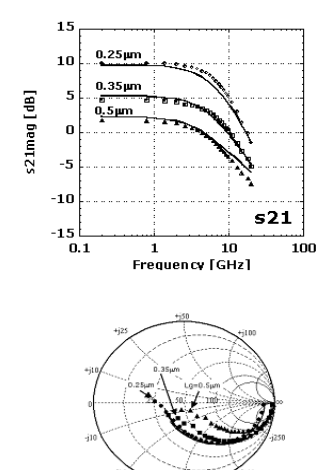
■高周波回路モデルの構築





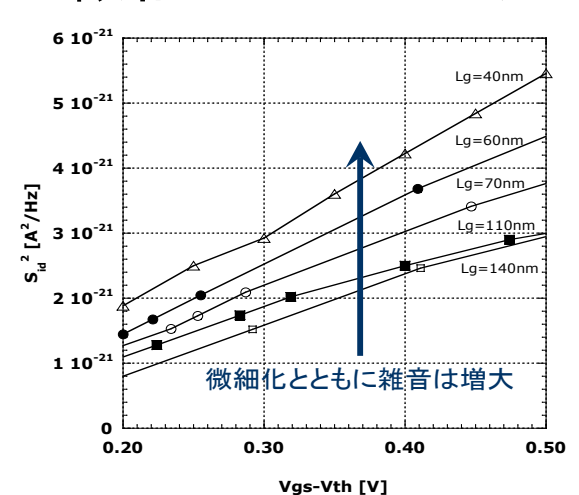


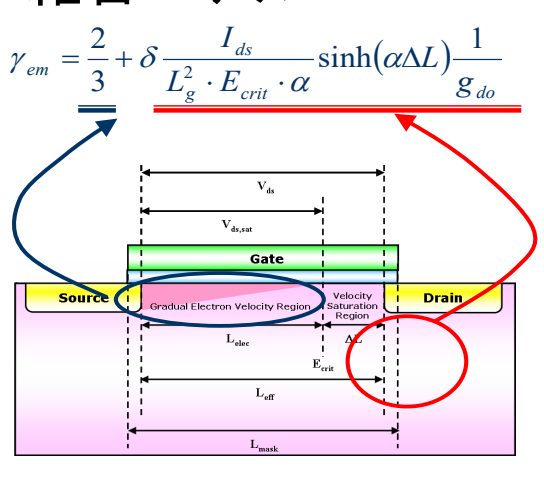
Lg依存性



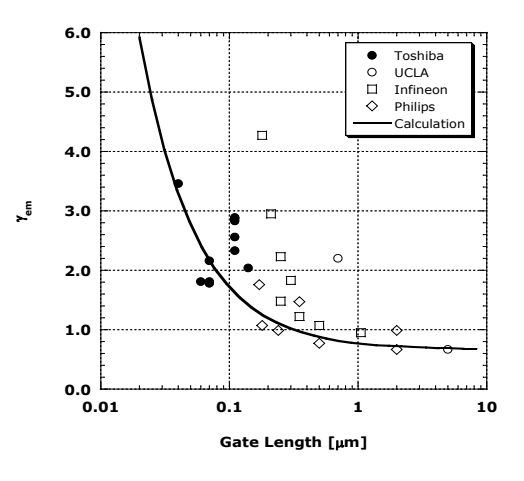
s22

■ 微細CMOSのチャネル雑音モデル





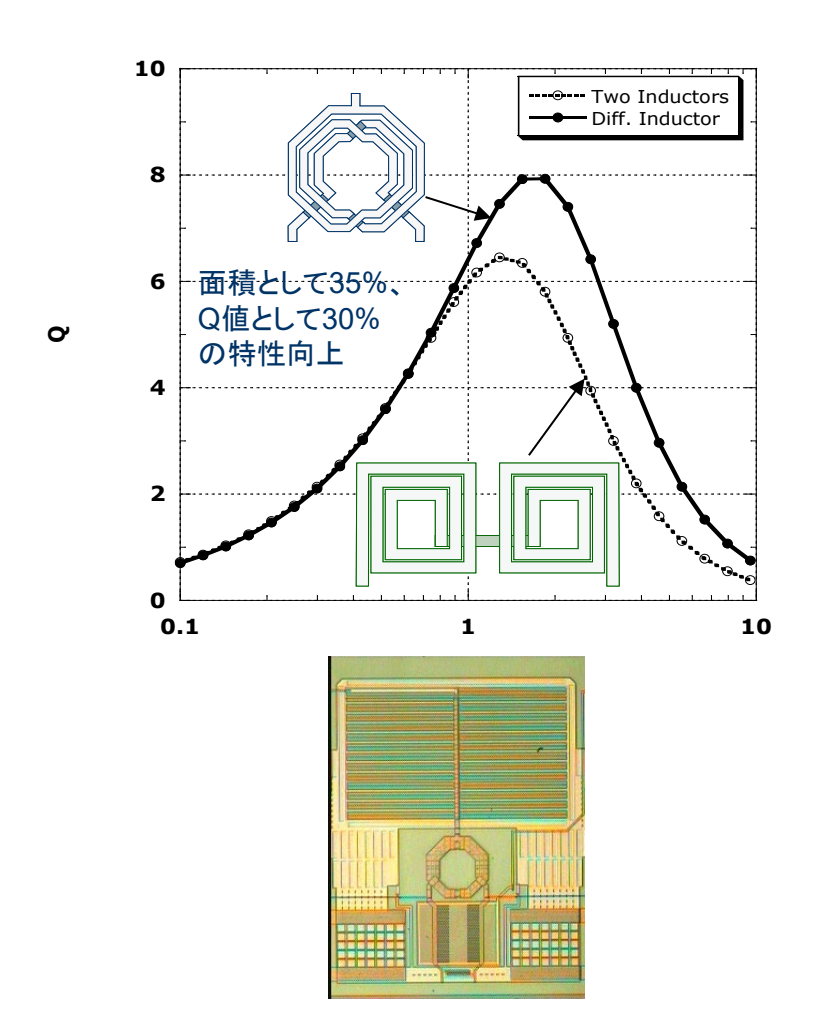
提案したモデル式によるγの計算値

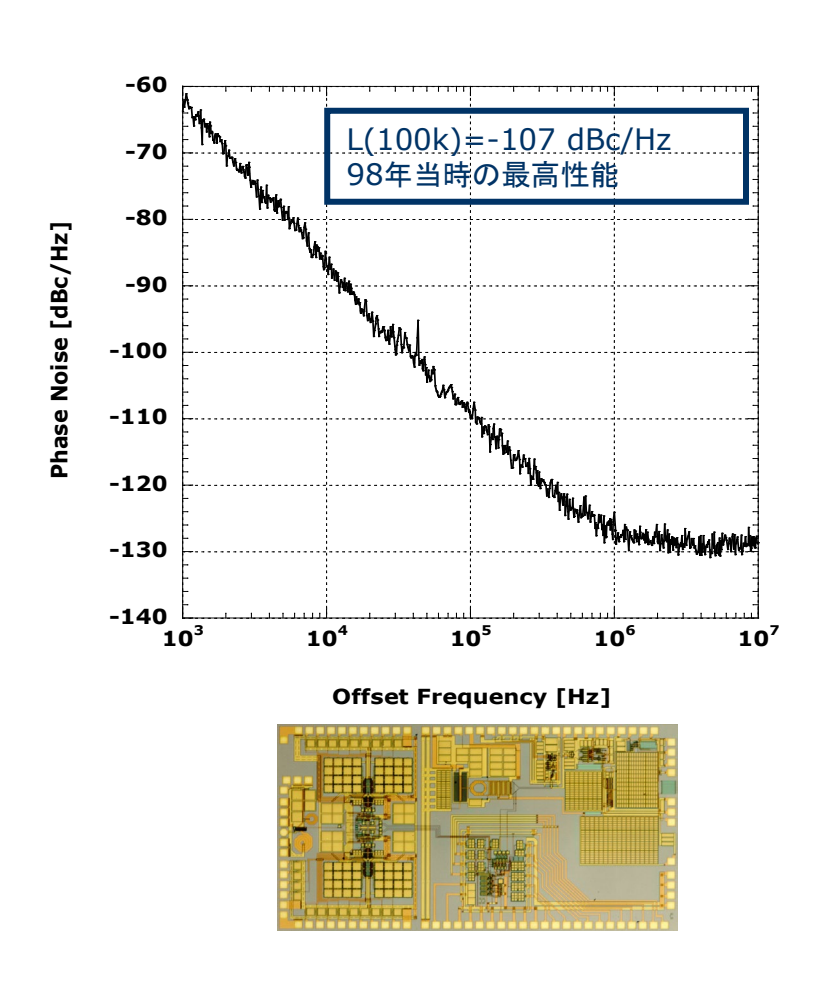


3端子インダクタによる位相雑音の向上



■世界初の3端子インダクタの集積回路上への実現



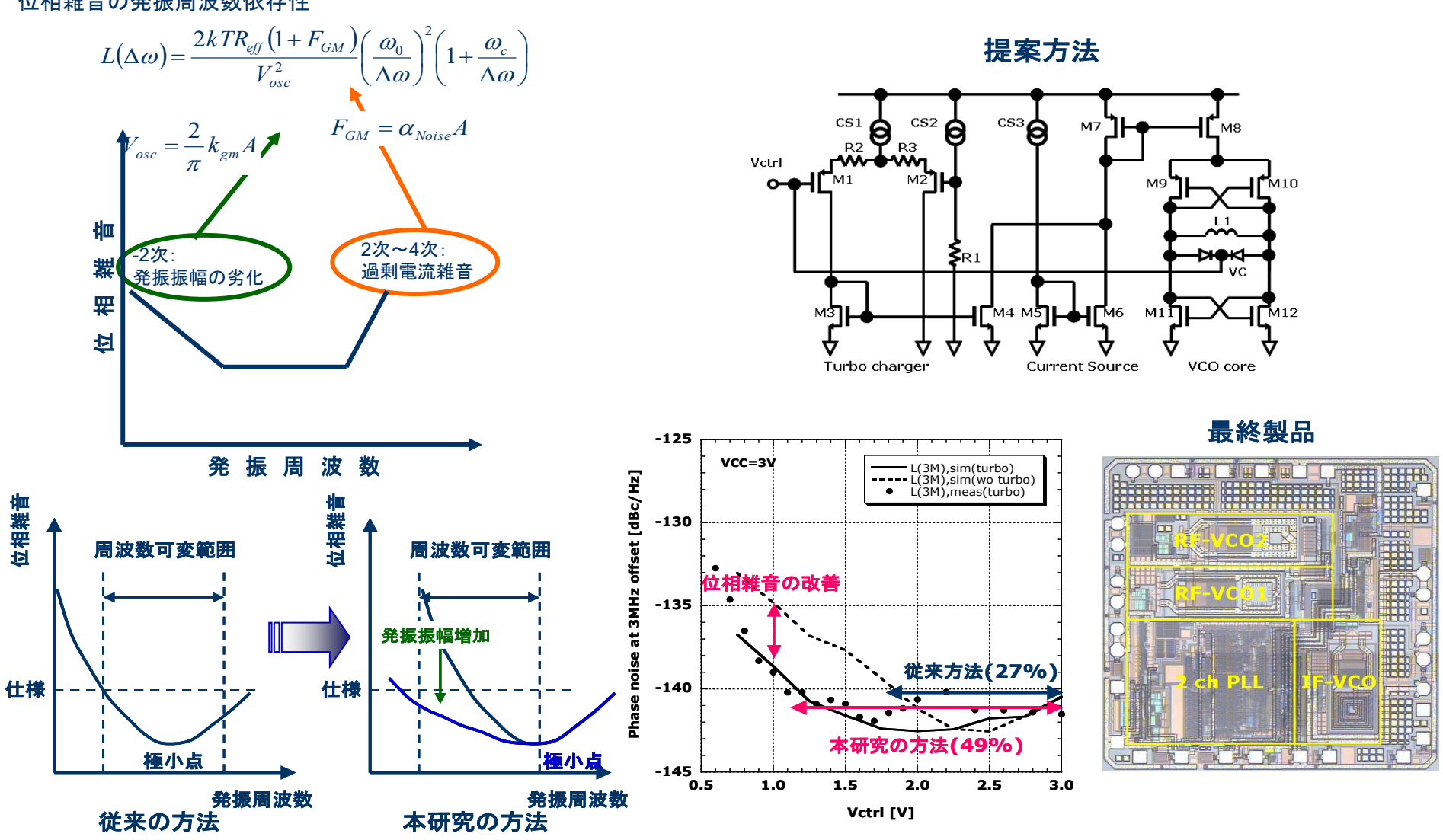


広い周波数レンジにおける位相雑音の安定化



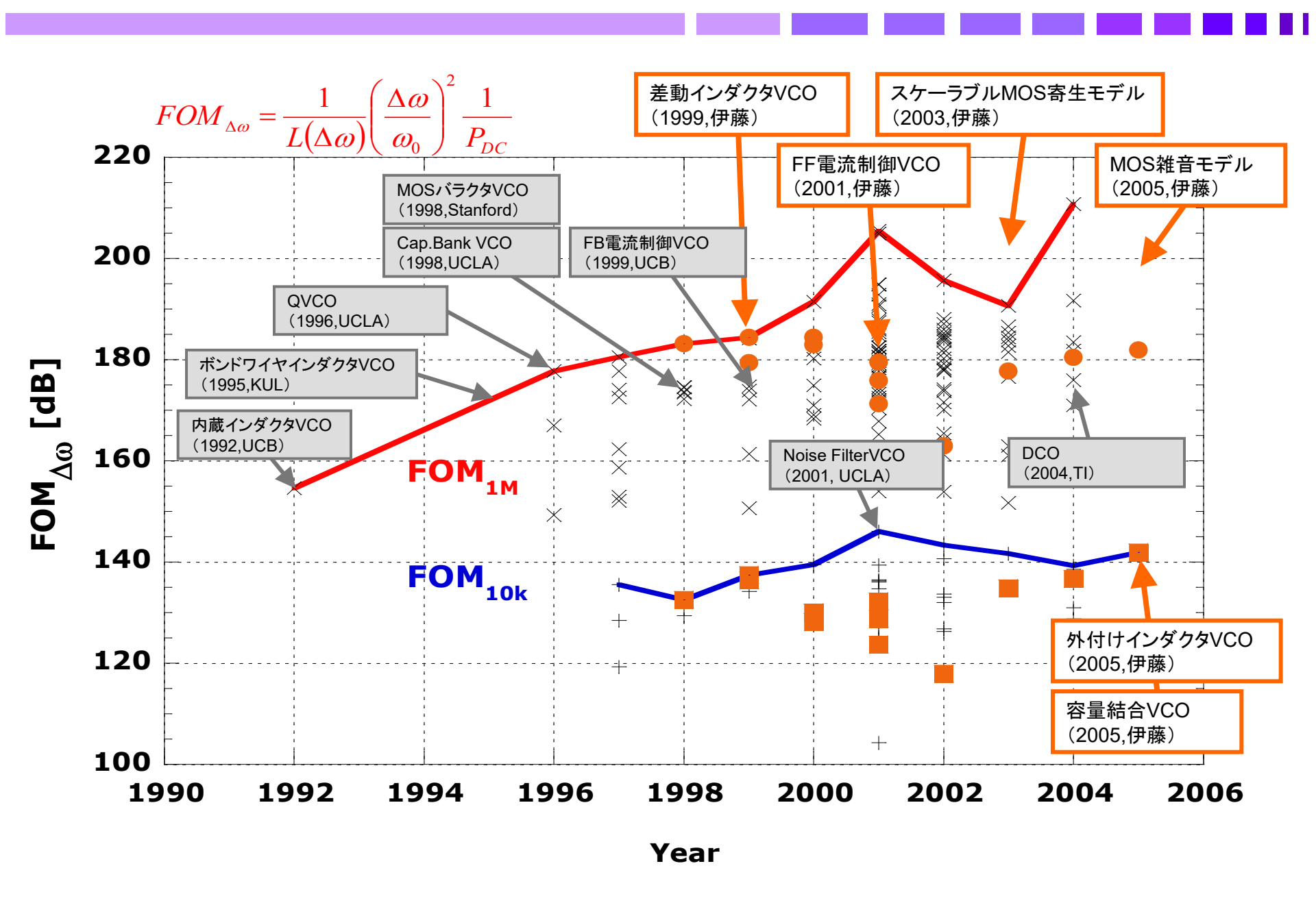
■ 発振周波数により動作電流を制御し位相雑音を最小化する

位相雑音の発振周波数依存性



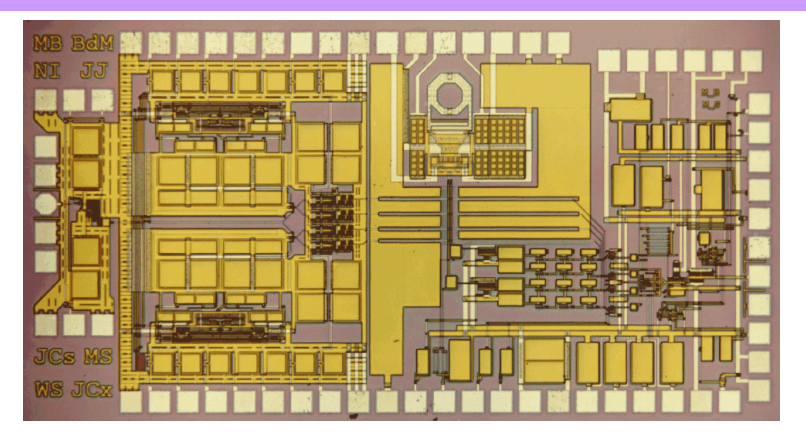
VCOの研究の変遷と位置づけ



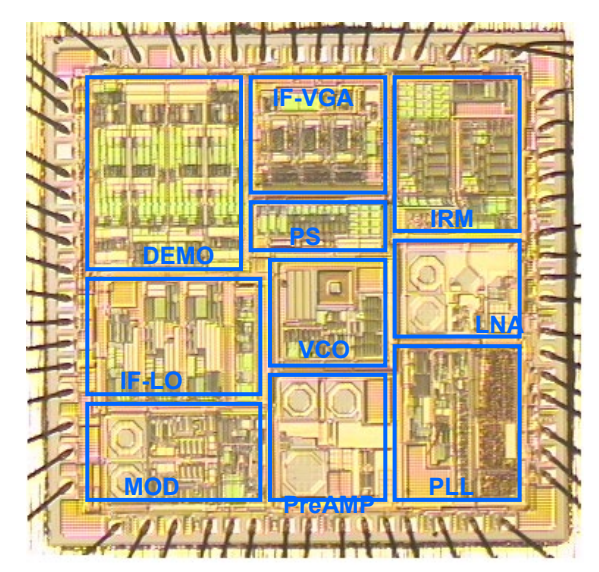


Chip Museum

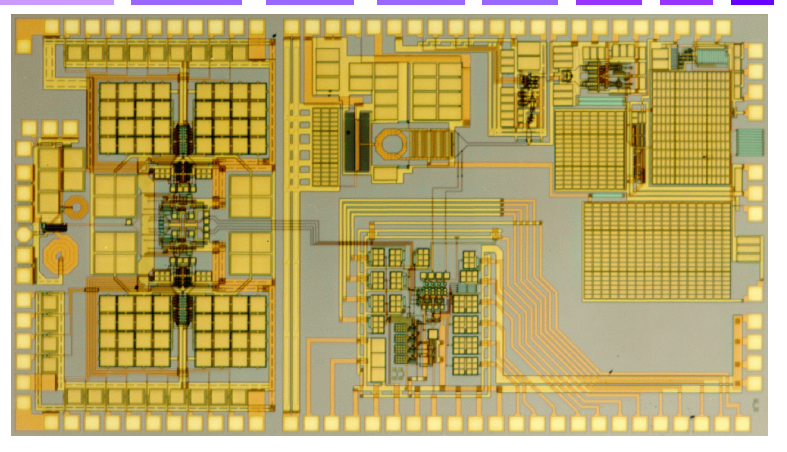




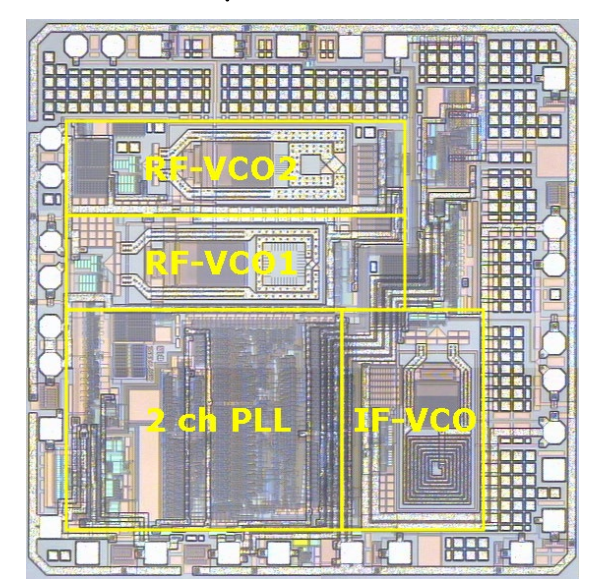
DCS1800 TRX (ISSCC98) 0.25μm CMOS



GSM TRX (ICCE99) 0.25μm CMOS



DCS1800 TRX (ISSCC00) $0.25\mu m$ CMOS

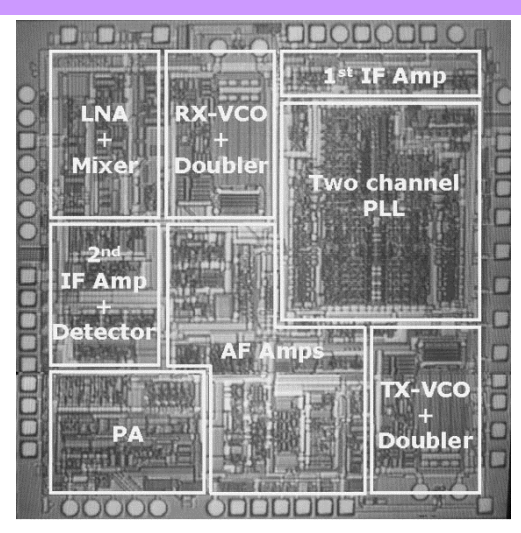


GSM LO (ESSCIRC01) 0.6μm SiGe-BiCMOS

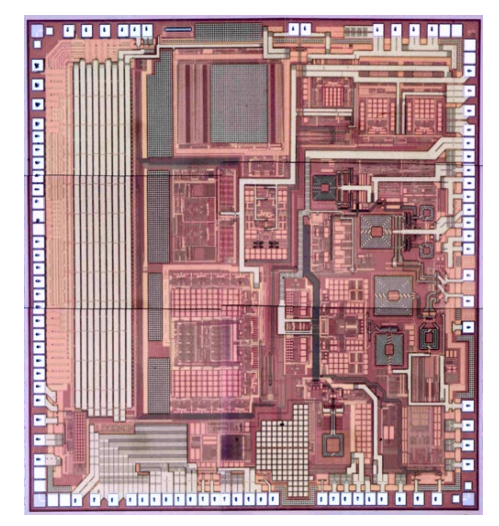
10 2025/7/14

Chip Museum cont'd

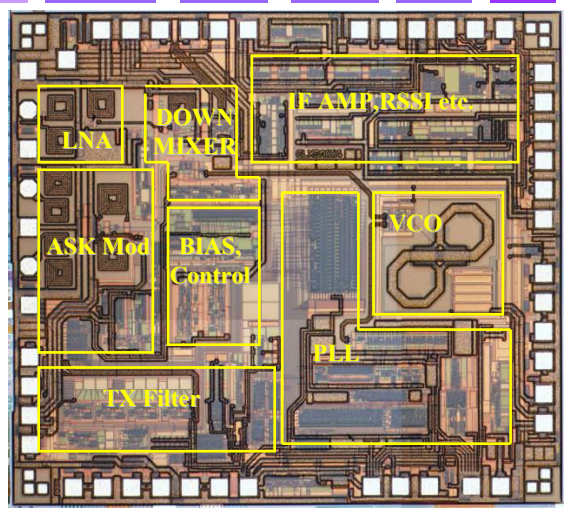




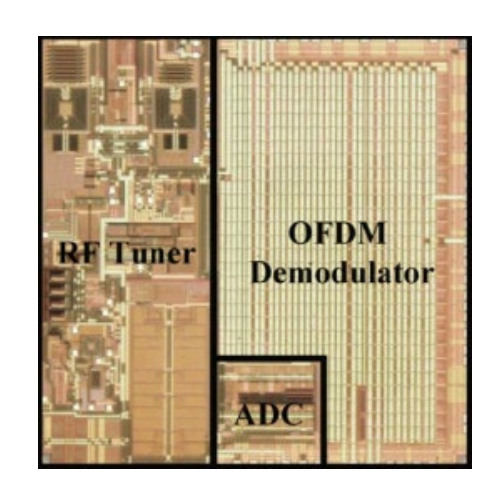
900MHz Cordless TRX (IEICE05) 0.8μm BiCMOS 2.95mm × 2.91mm



Bluetooth TRX (CICC07) 0.13μm CMOS 2.96mm × 2.96mm



ETC TRX (BCTM06) 0.6μm SiGe-BiCMOS



TV-Tuner (ESSCIRC09)
90mm CMOS 3.26mm × 3.26mm

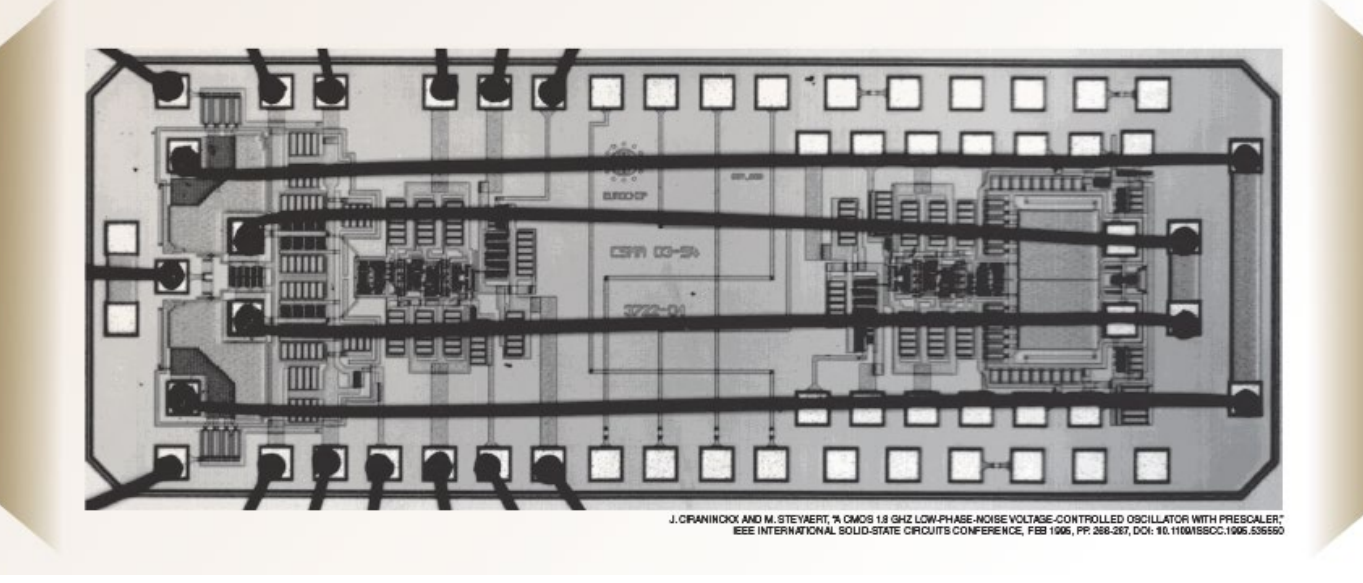
KULeuven Michiel Steyaert Team



Jan Craninckx¹, Jan Crols, Marc Borremans, and Johan Janssens¹

From Bondwire Inductors to RF CMOS Transceivers

The story of the early days of RF CMOS research at KU Leuven





hello nobby,

time flies for both of us... but luckily we were both able to make nice circuits and had fun in creating new things..

And of course the many nice memories together and even thanks for the interim of my sun Wouter: he still talks about it!

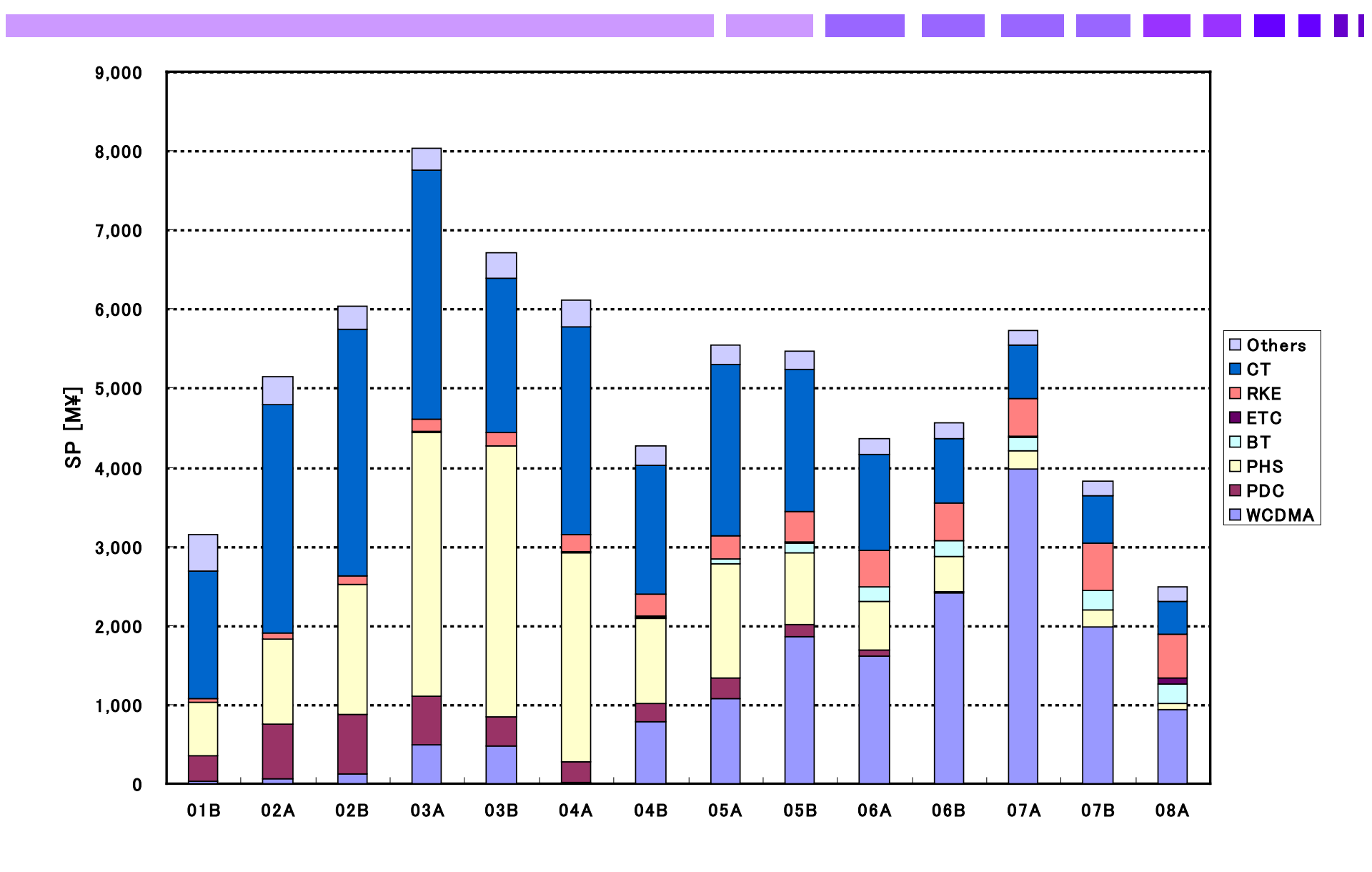


enjoy your retirement in March!

michiel

Telecom売り上げ(X872-X522)





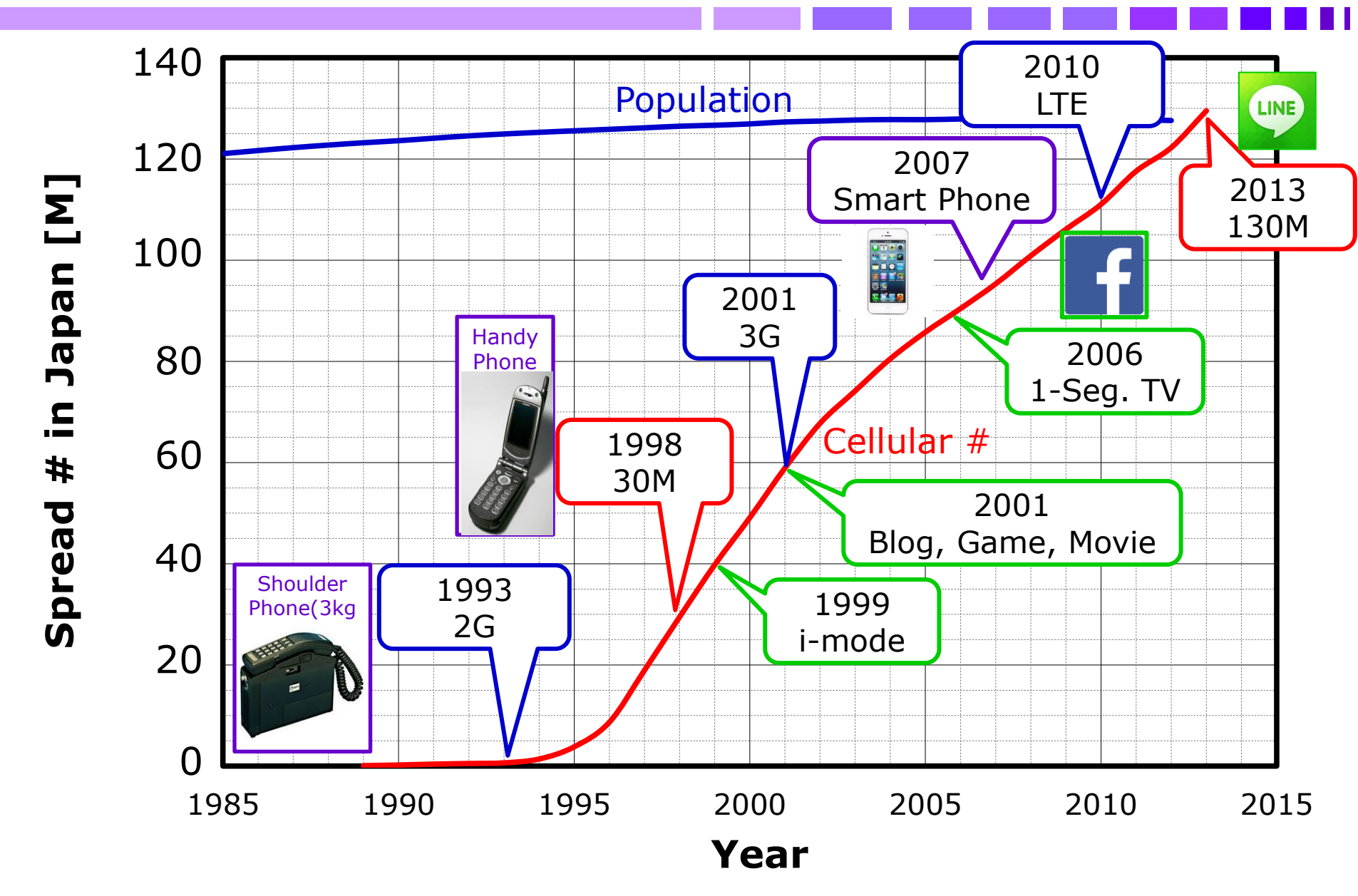
話の内容



- 東芝時代(1985~2010)
- ■岡山県立大学時代(2010~2025)
 - Oscillator
 - Injection Lock and Push-Push Frequency Generator
 - Amplifier
 - ■集積回路工学研究室伊藤Gr
- ■今後の予定

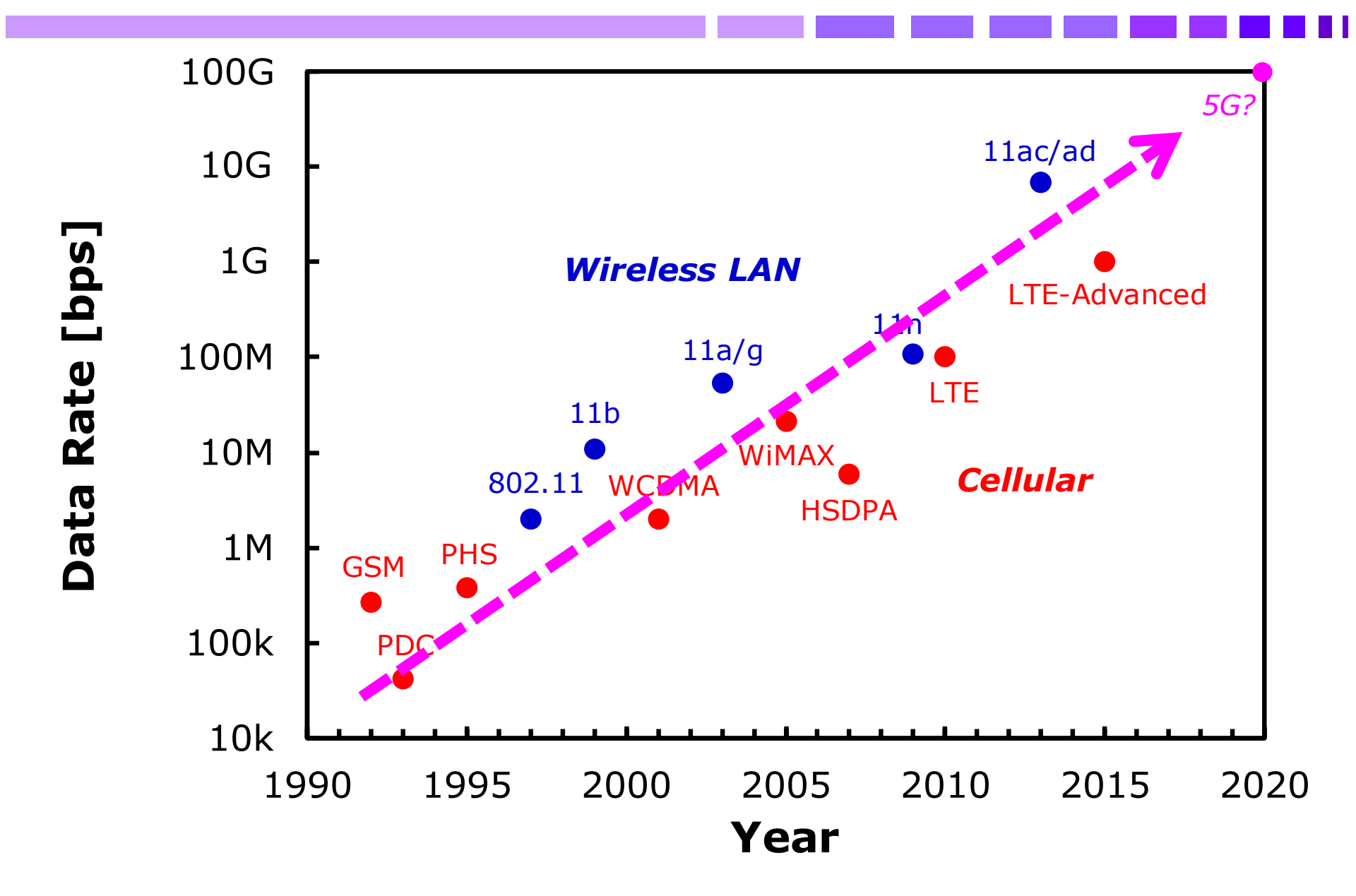
Trend of Cellular in Japan





Data Rate Trend Toward 5G





Shannon-Hartley Theorem



$$C = B\log_2\left(1 + \frac{S}{N}\right)$$

B: Bandwidth

S: Signal Power

N: Noise Power

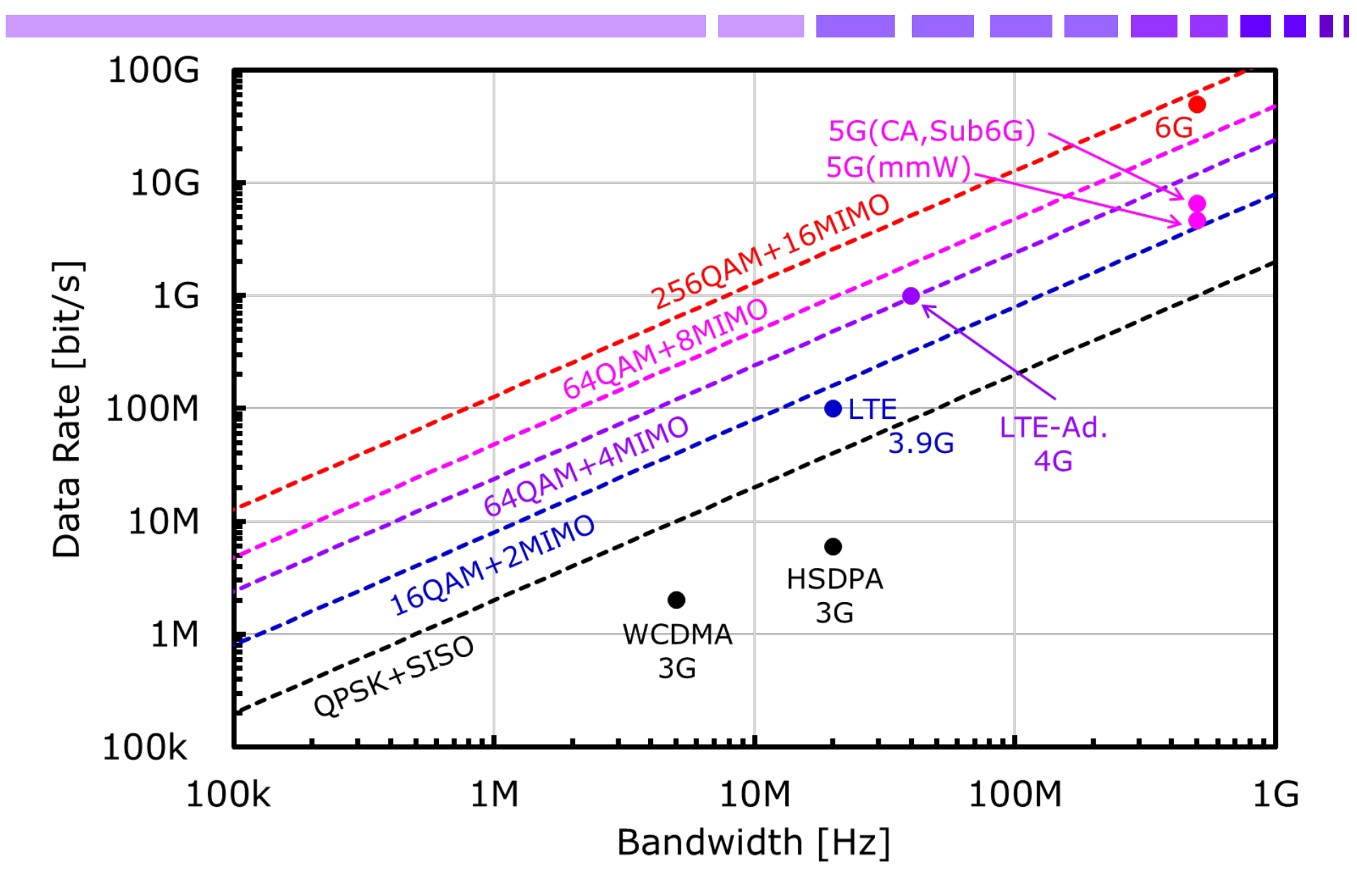
$$N = kTB$$

$$C = B\log_2\left(1 + \frac{S}{kTB}\right)$$

Wide Bandwidth and Low Noise are essential

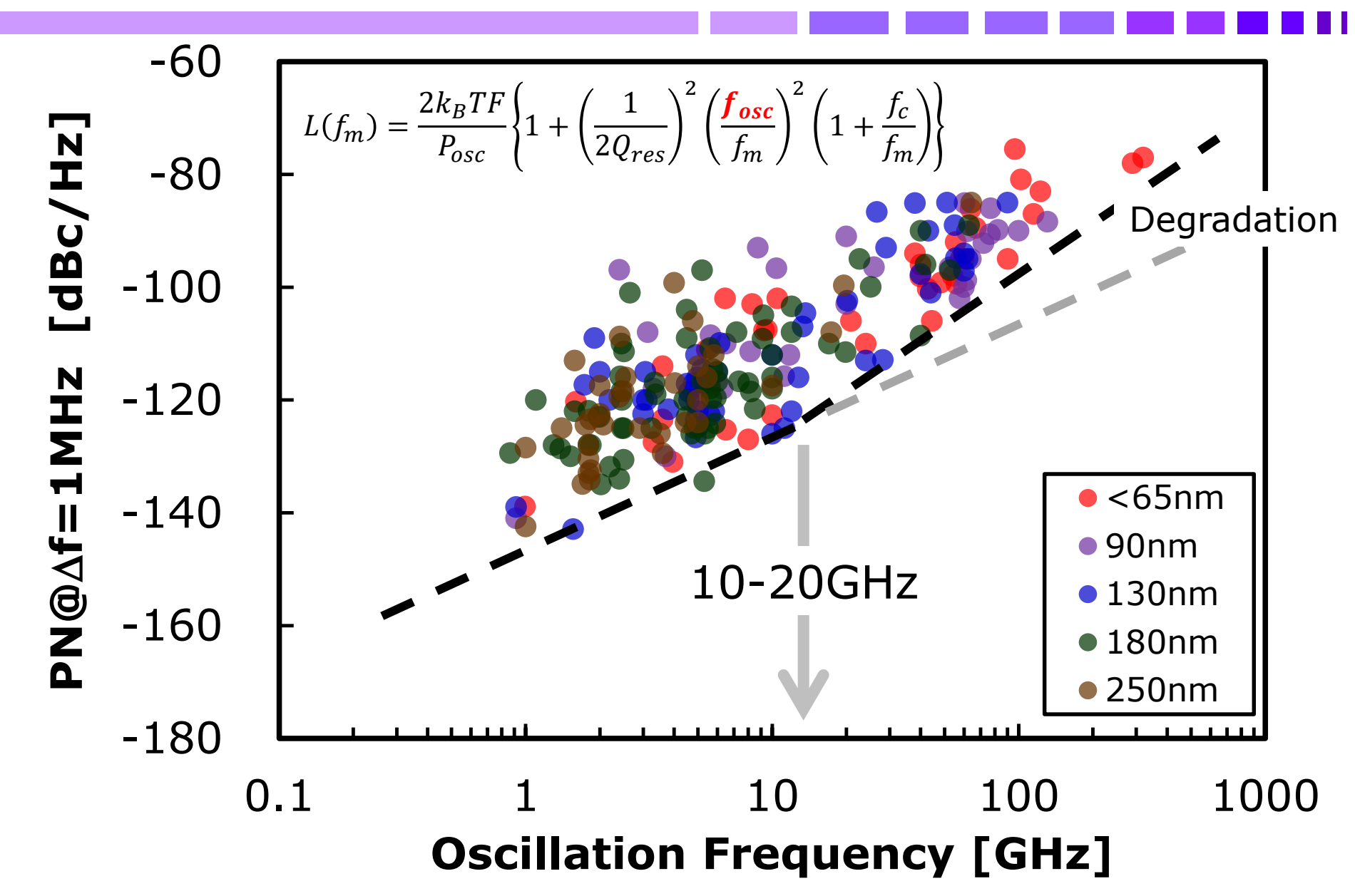
データレートと信号帯域幅





PN vs. f_{osc}





Wish List for 5G



- High Frequency(>20GHz)
 - ©Easily Obtained Wide Bandwidth
 - © Device Noise Degradation

Improve Noise in High Frequency

- Low Frequency (<6GHz)
 - Better Device Noise

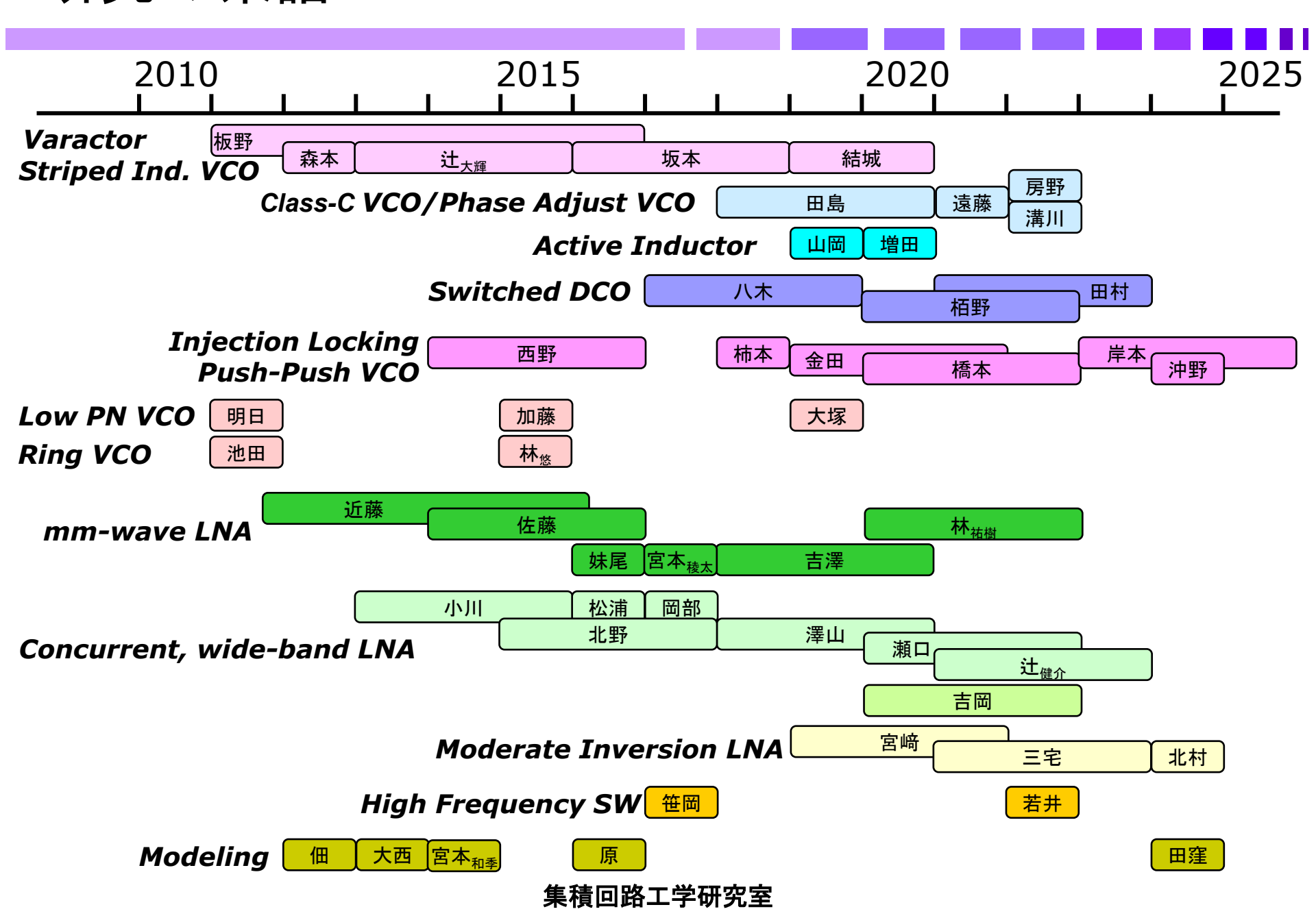
Improve Bandwidth in Low Frequency

Low PN VCO
Low NF LNA
For mm-wave

Concurrent/wideband LNA

研究の系譜





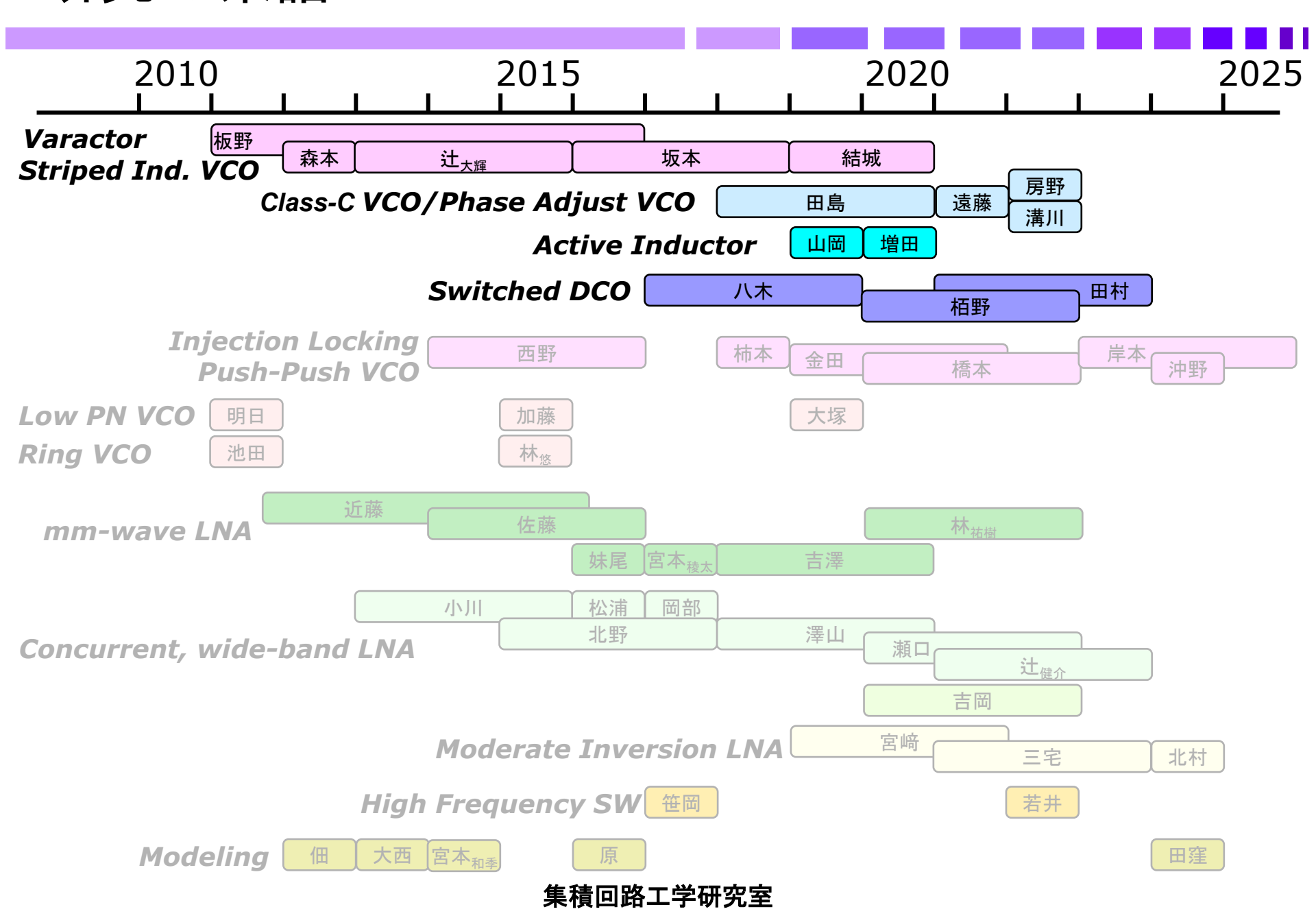
話の内容



- 東芝時代(1985~2010)
- ■岡山県立大学時代(2010~2025)
 - Oscillator
 - Injection Lock and Push-Push Frequency Generator
 - Amplifier
 - ■集積回路工学研究室伊藤Gr
- ■今後の予定

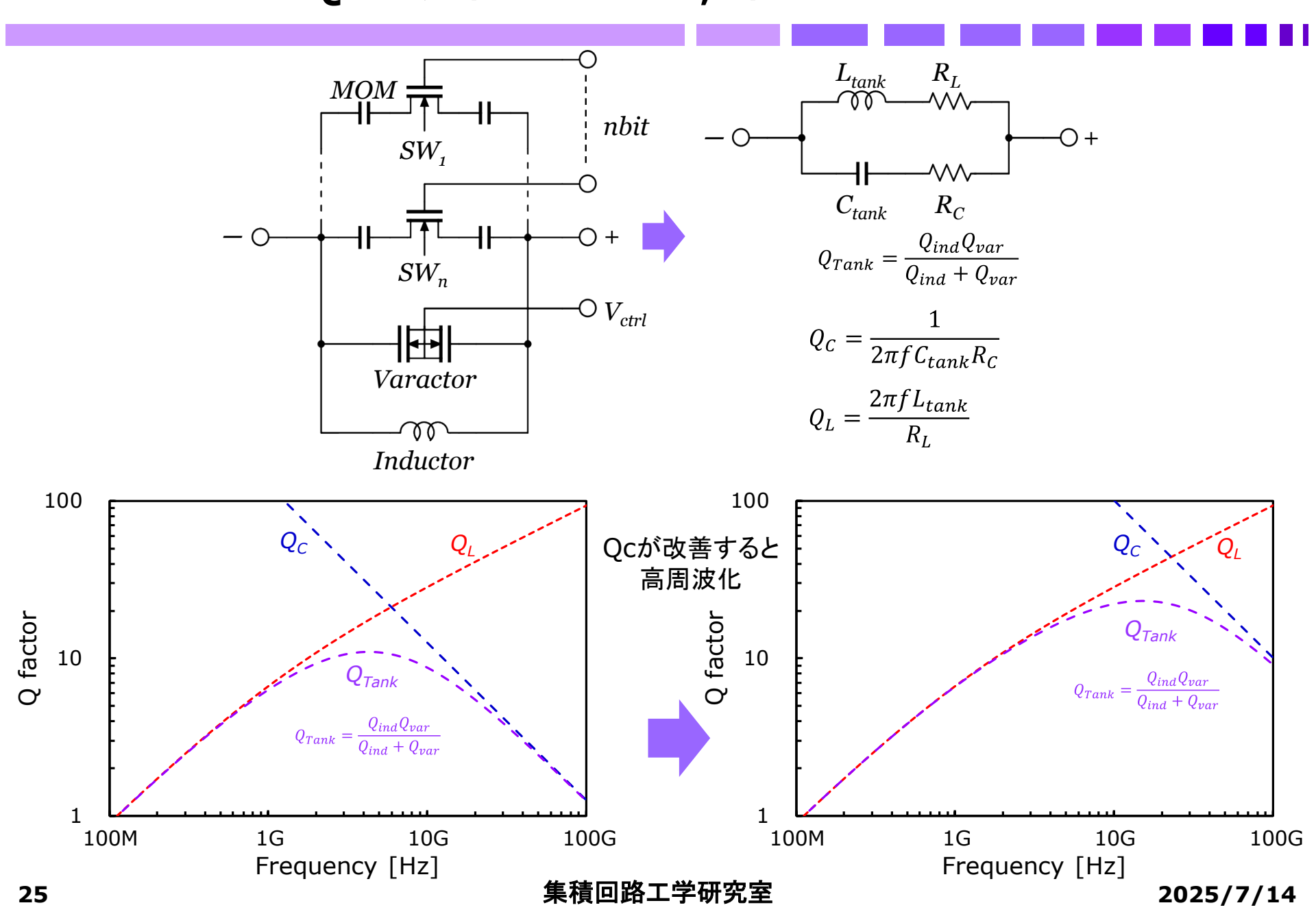
研究の系譜





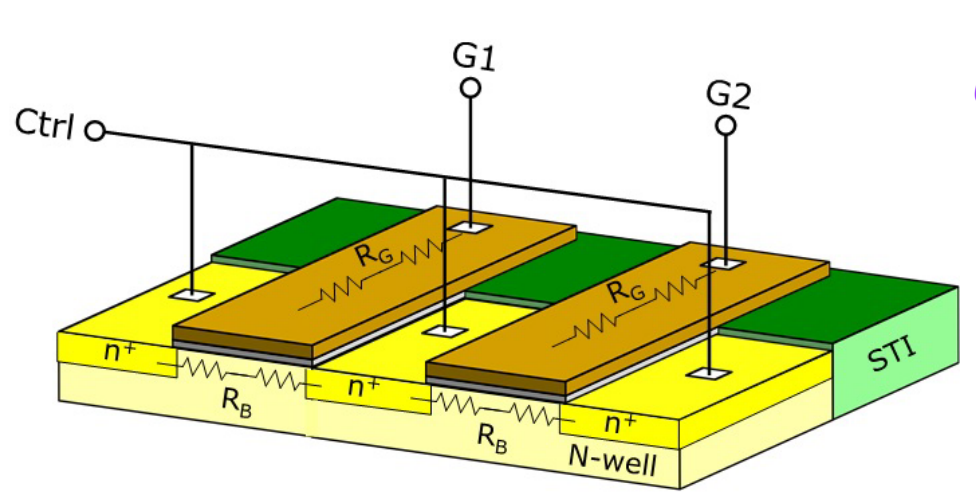
バラクタのQ値改善(2014, 板野)



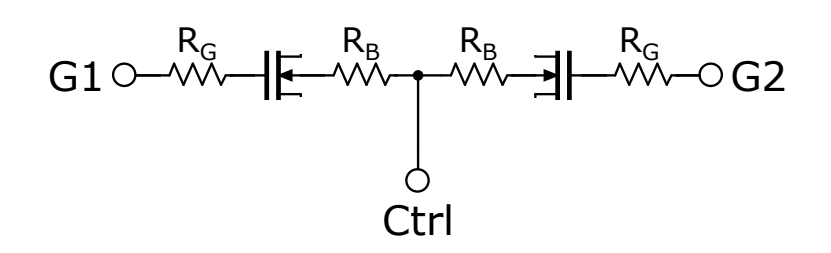


Q_{C} の成分

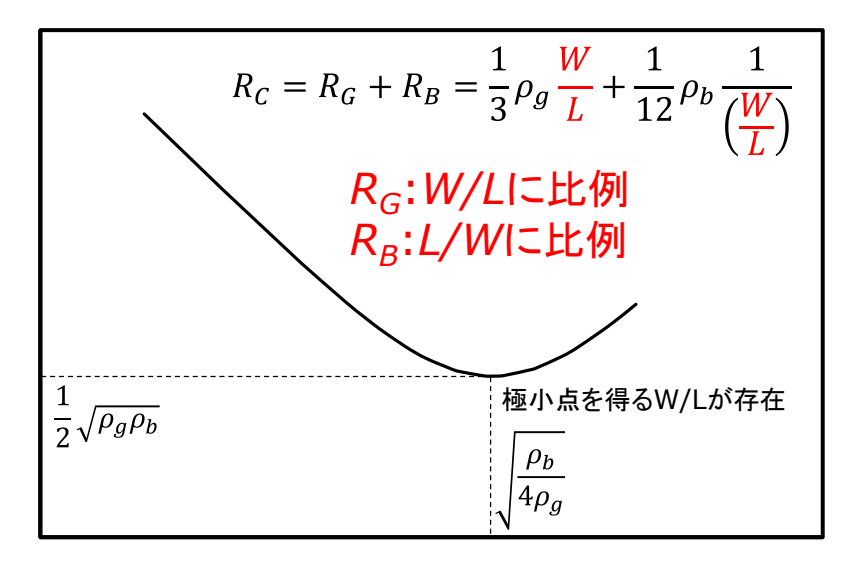




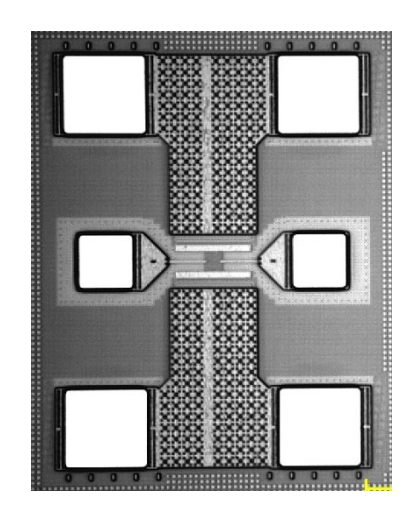
$$Q_C = \frac{1}{2\pi f C_{var} R_c}$$

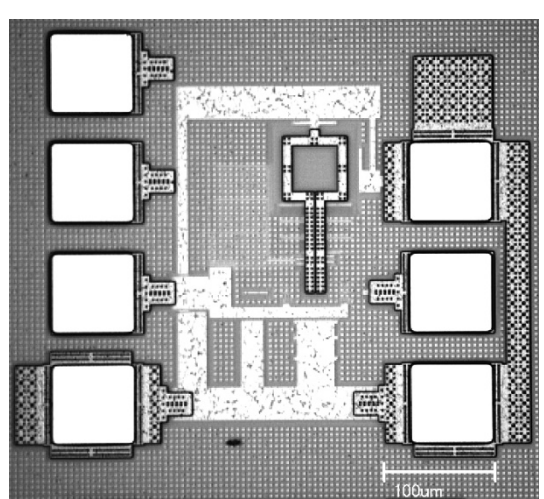


試作チップ



Log W/L [a.u.]





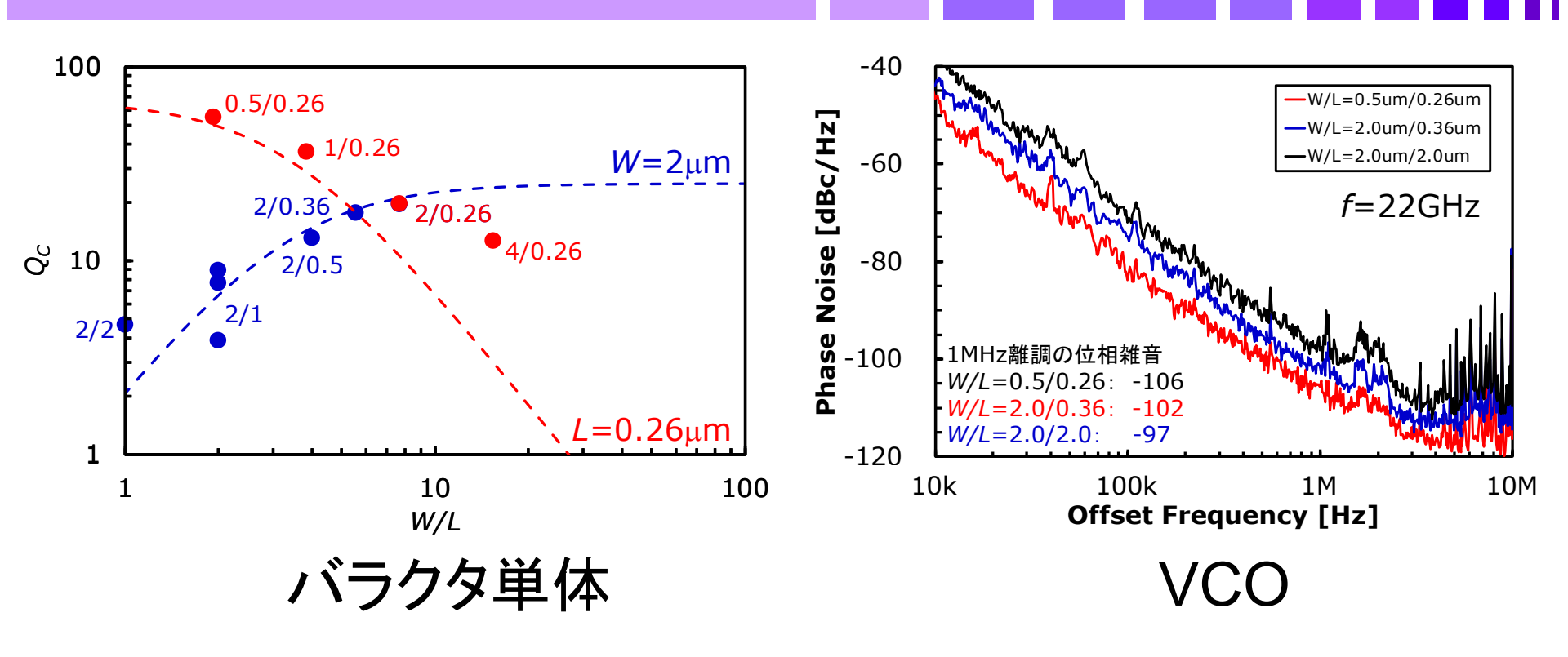
バラクタ単体

VCO

-og $R_{\rm C}$ [a.u.]

Q。とVCOの測定結果



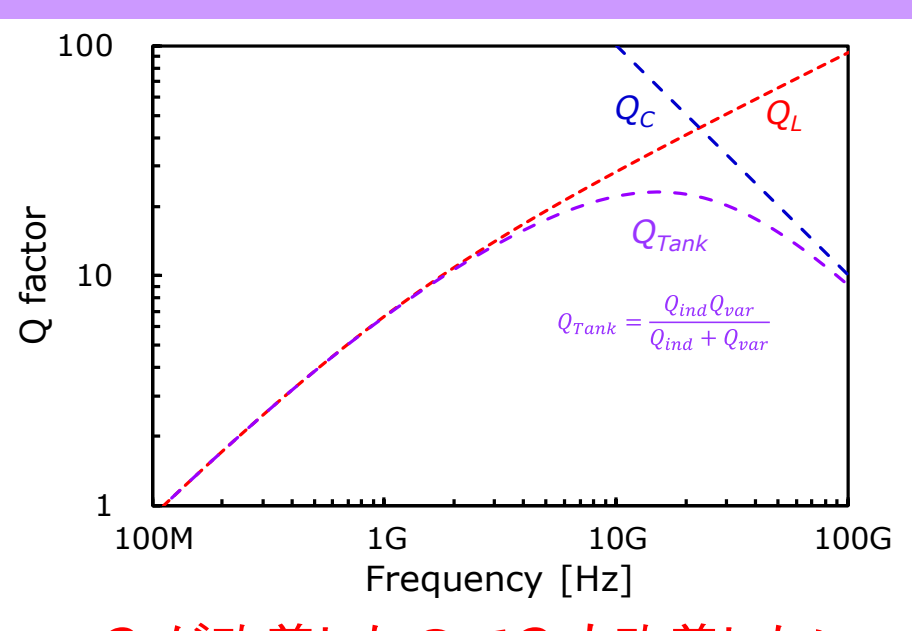


バラクタは微細にすればQcが高くなり高周波特性が良くなる

Y. Itano, S. Morimoto, S. Yoshitomi, and N. Itoh, "High-Q MOS Varactor Models for Quasi-Millimeter-Wave Low-Noise LC-VCOs," IEICE Transaction on Fundamentals, vol. E97-A, No.3, pp. 759-767, Mar. 2014, DOI: 10.1587/transfun.E97.A.759.

Q」と表皮効果





 Q_c が改善したので Q_L も改善したい

表皮効果が問題

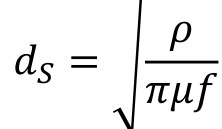
Current flow in Inductor f=1MHz f=30GHz



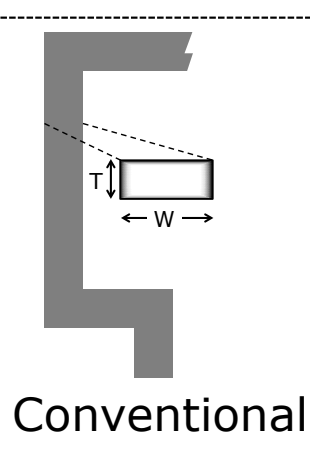


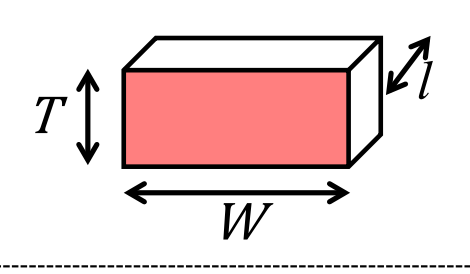


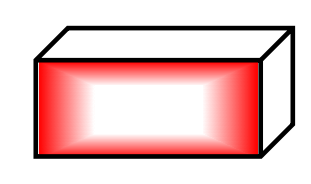
$$d_S = \sqrt{\frac{\rho}{\pi \mu f}}$$



Low-Freq. High-Freq.

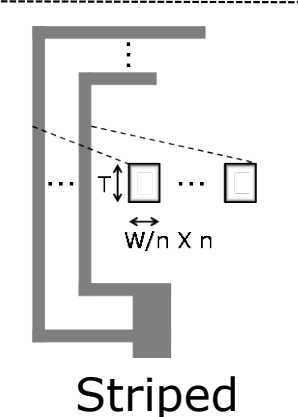




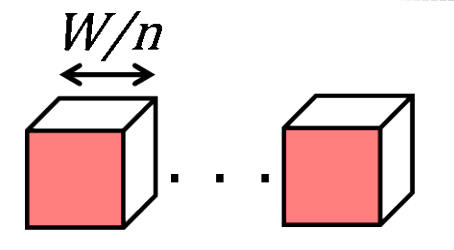


$$R = \rho \frac{\iota}{WT}$$

$$R = \sqrt{\pi\mu\rho f} \; \frac{l}{(W+T)}$$



(Divided by n)



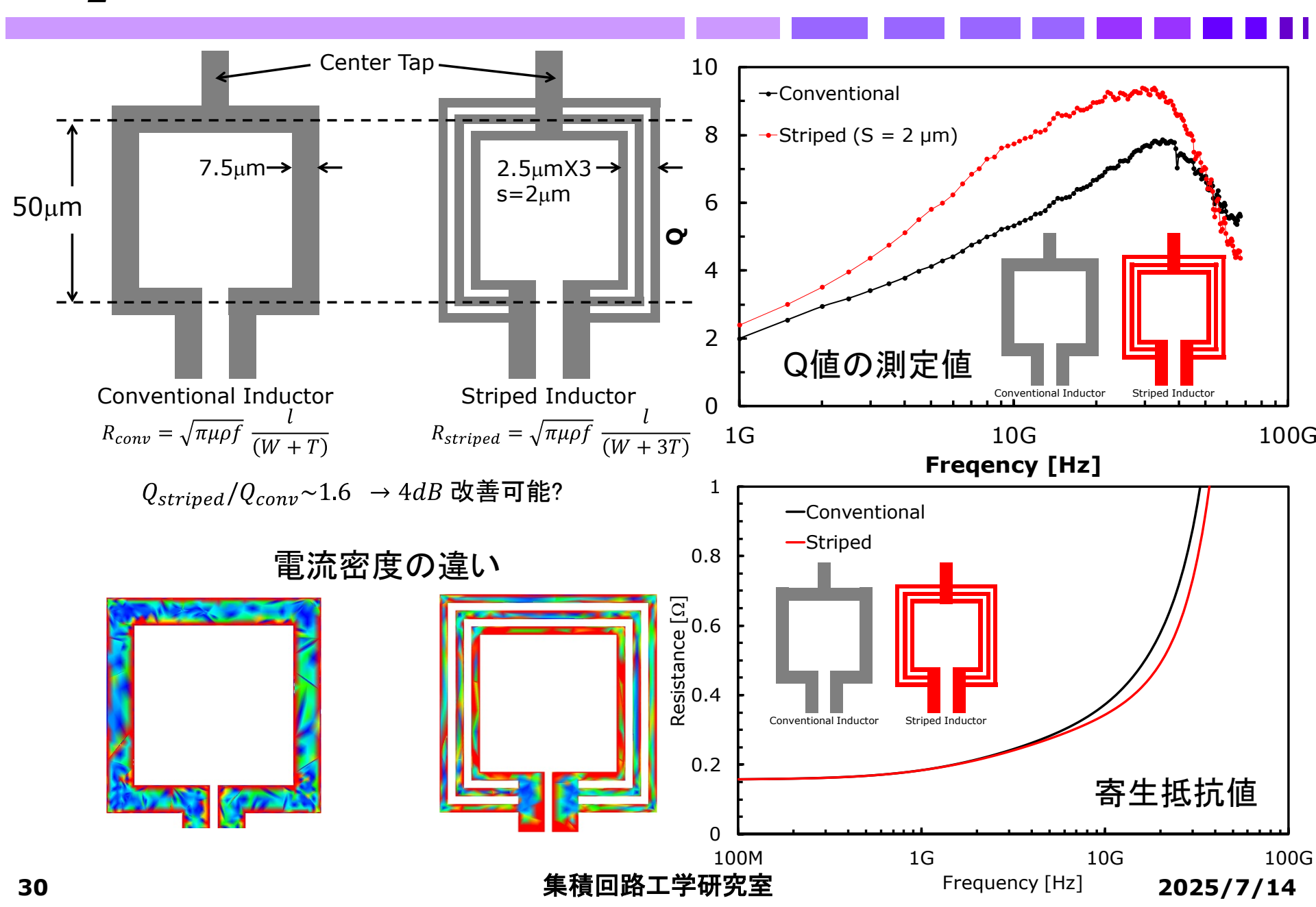
$$R = \rho \frac{l}{\frac{W}{n}T} \times \frac{1}{n} = \rho \frac{l}{WT} \qquad R = \sqrt{\pi \mu \rho f} \frac{l}{(W + \mathbf{O}T)}$$

$$R = \sqrt{\pi\mu\rho f} \; \frac{l}{(W + \mathbf{n}T)}$$

"n"を大とすることにより低減

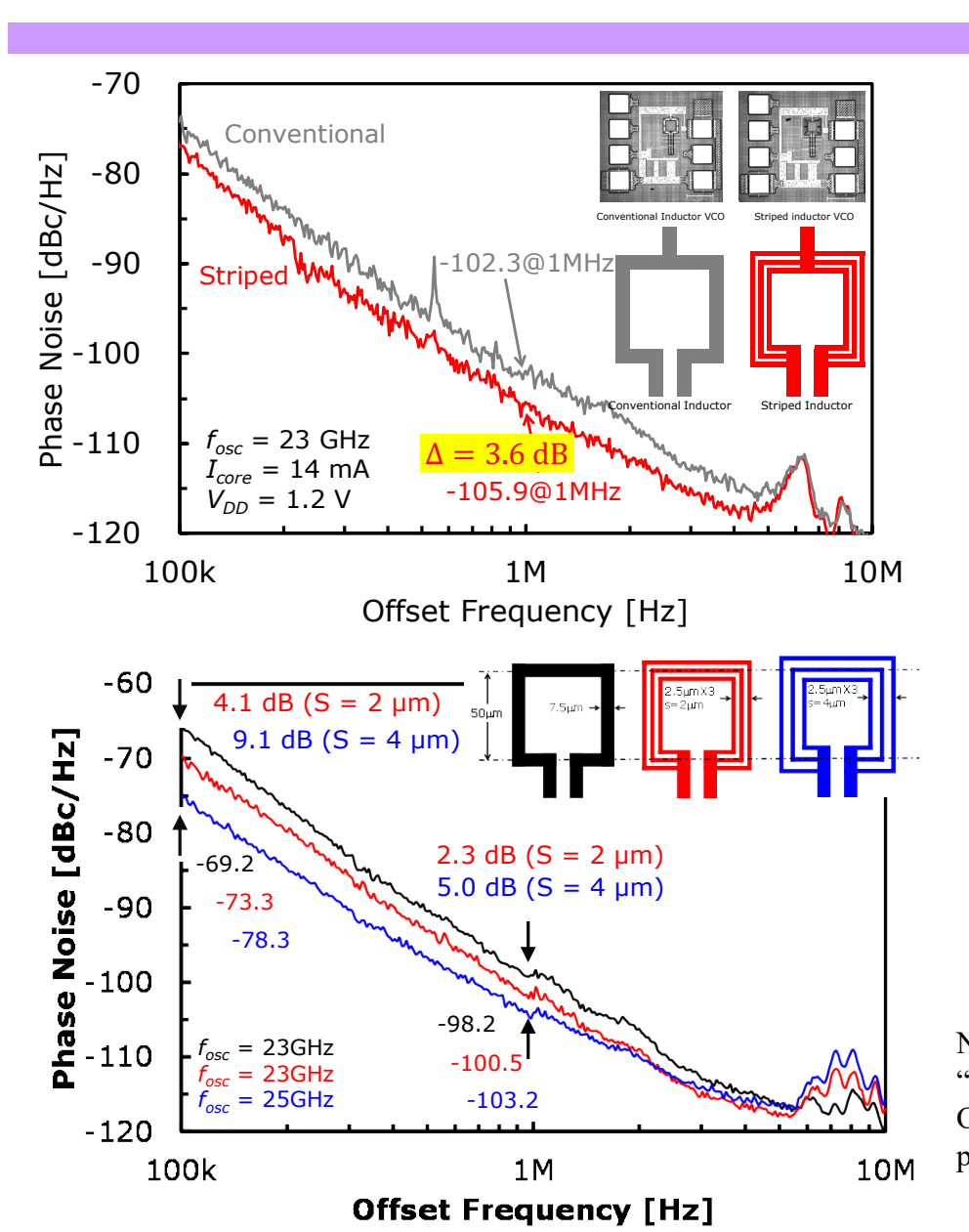
Q」との見積もりと測定値

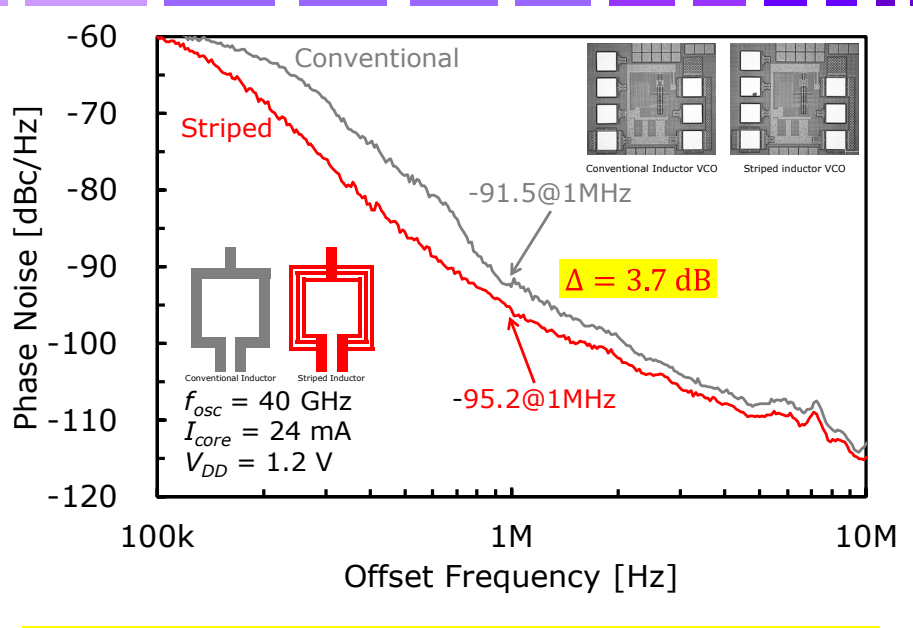




位相雑音の低減効果







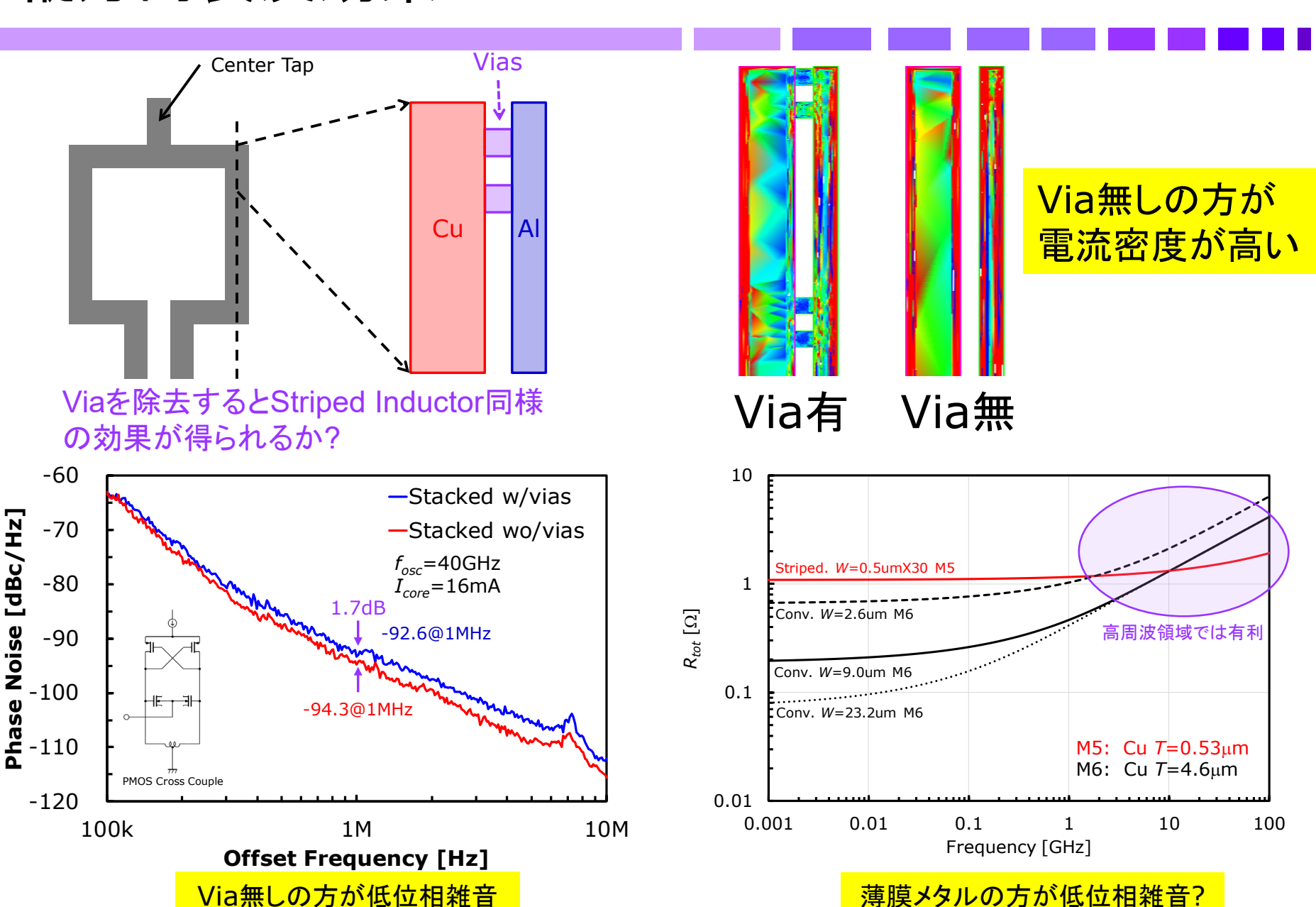
- スペースを広くすることにより更な る高Q化が可能
- あまり広げると完全な並列になる のでNG

N. Itoh, H. Tsuji, Y. Itano, T. Morishita, K. Komoku, and S. Yoshitomi, "A Study of Striped Inductor for K- and Ka-band Voltage-controlled Oscillators," IEICE Transaction on Electronics, Vol.E99-C, No.6, pp.614-622, Jun. 2016, DOI: 10.1587/transele.E99.C.614.

縱方向表皮効果



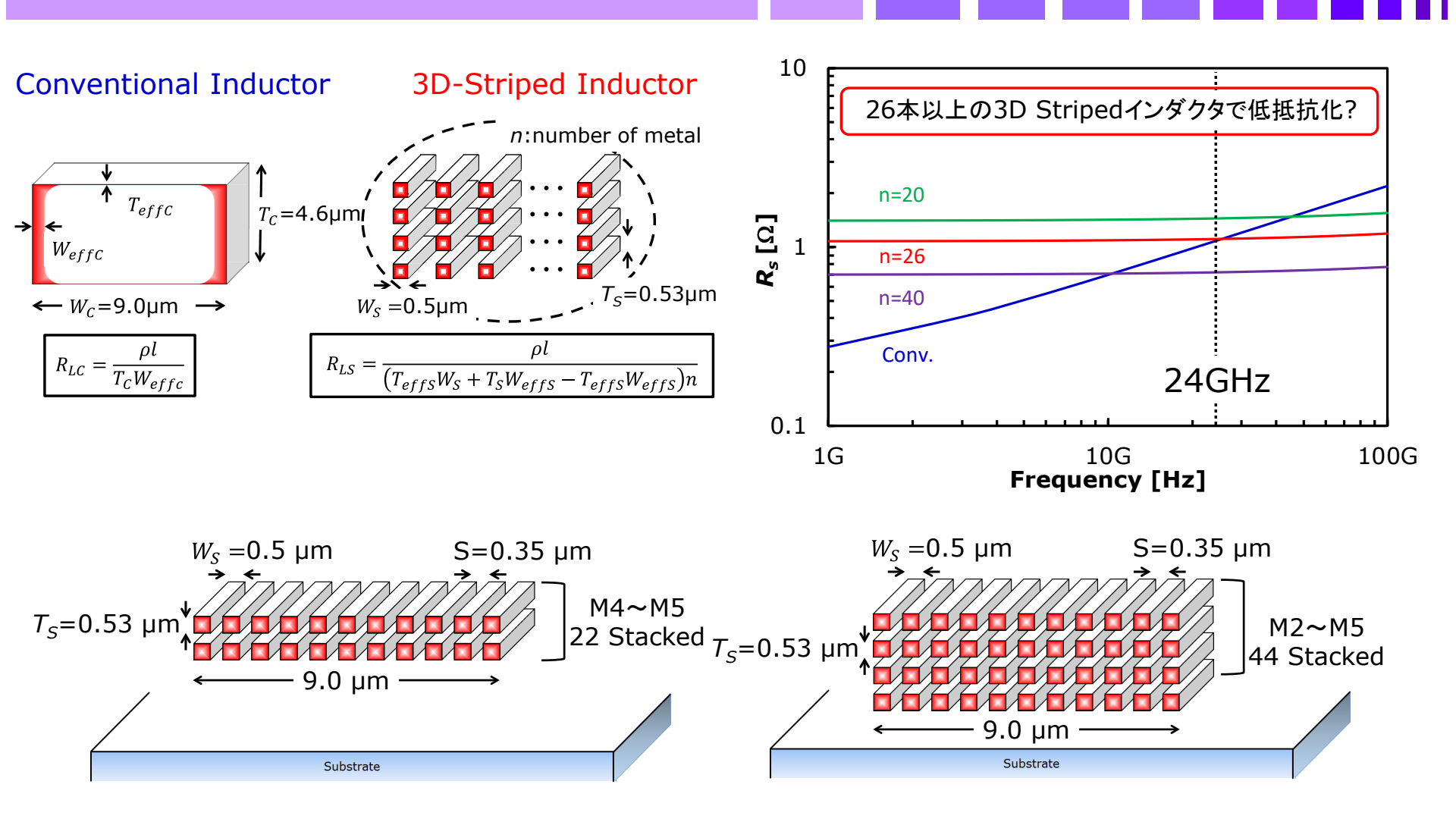
2025/7/14



集積回路工学研究室

3次元Stripedインダクタ(2017, 坂本)



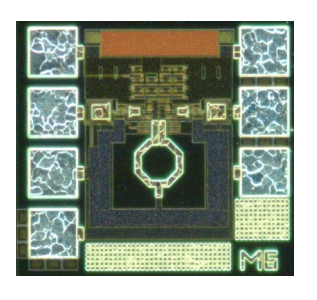


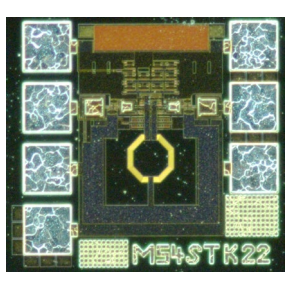
Y. Sakamoto, K. Komoku, T. Morishita, N. Itoh, "Phase Noise Characteristics of VCOs Utilizing Various Structural 3D-Striped Inductor," Proc. of the 2018 Asia-Pacific Microwave Conference, TH3-IF, Kyoto, Nov. 2018.

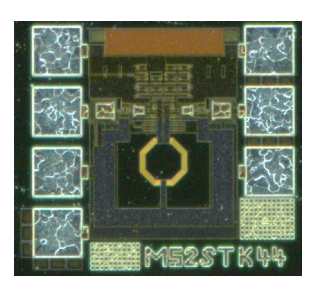
薄膜メタルでインダクタを構成した24GHzVCO



メタル総数依存性







Conv.Ind.VCO

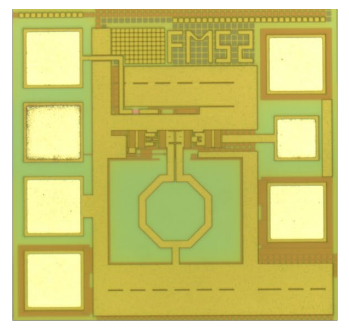
3D-22 Striped Ind.VCO 3D-44 Striped Ind.VCO

メタル幅最適化

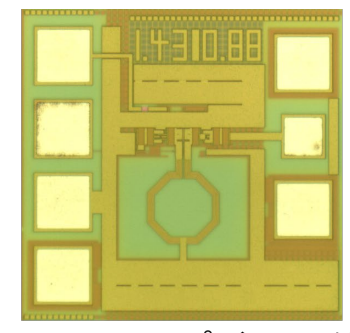
トータルインダクタメタルのW=一定

W大 S数小:近接効果大

W小S数大:上下周辺長縮小

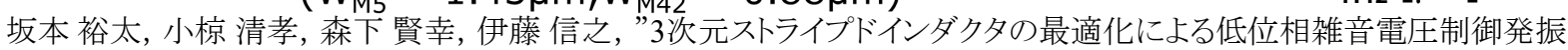


通常構造のインダクタ を用いたVCO

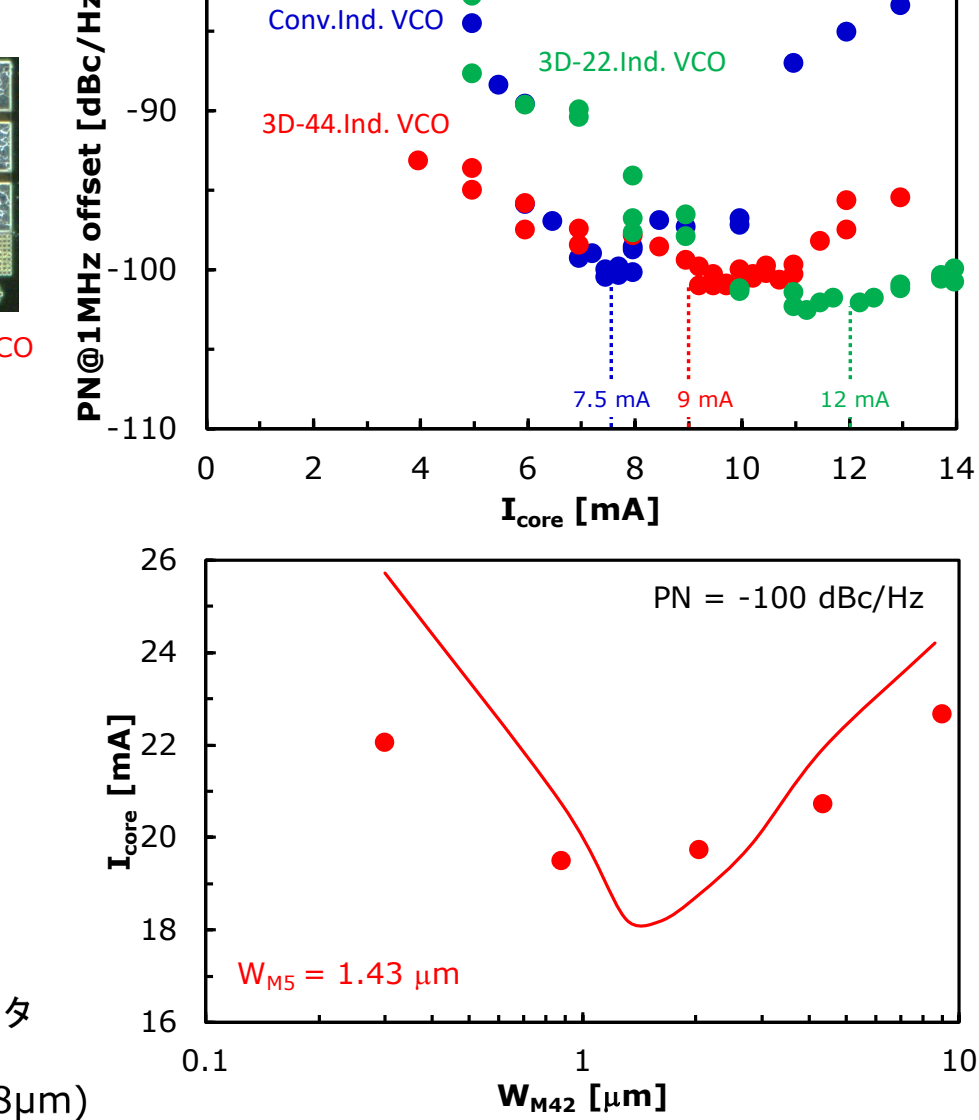


3次元ストライプドインダクタ を用いたVCO

 $(W_{M5} = 1.43 \mu m, W_{M42} = 0.88 \mu m)$



-80

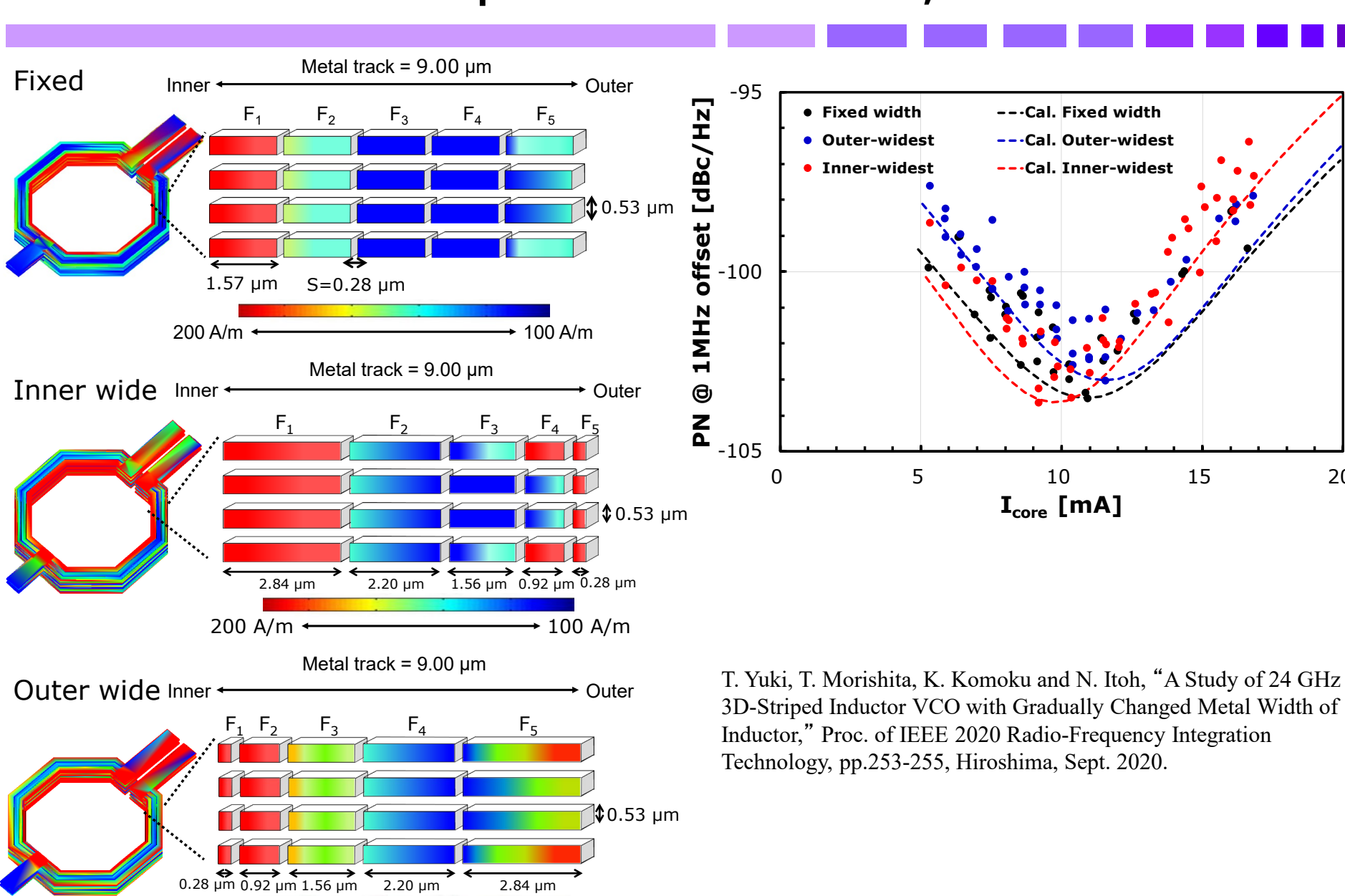


34 器の検討, "電子情報通信学会論文誌C, Vol.J103-C, No.1, pp.41-44, Jan. 2020.

2025/7/14

不均一幅3D Striped Ind.(2020, 結城)





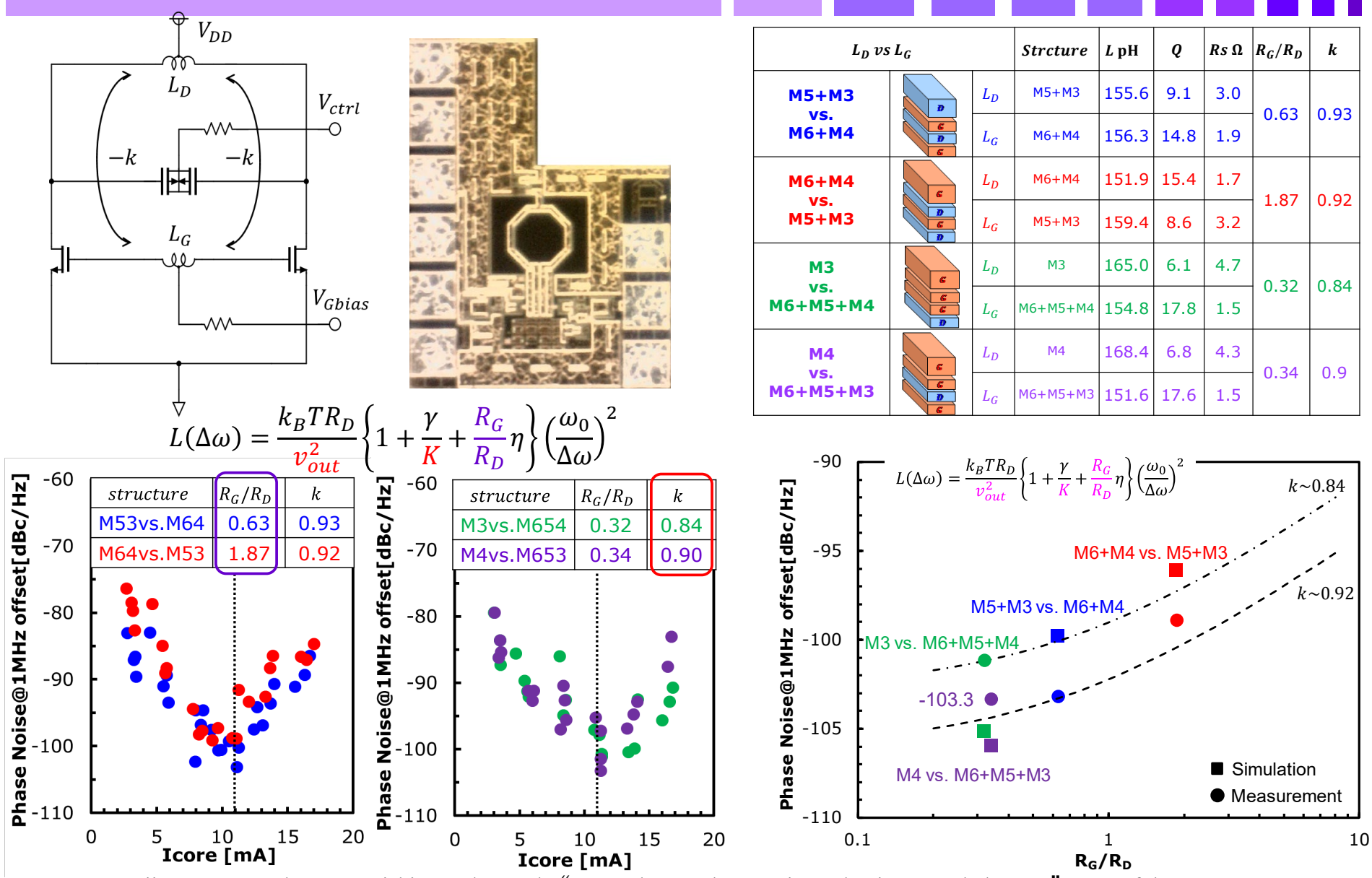
→ 100 A/m

20

200 A/m ◆

インダクティブClass-C VCO(2020,田島)

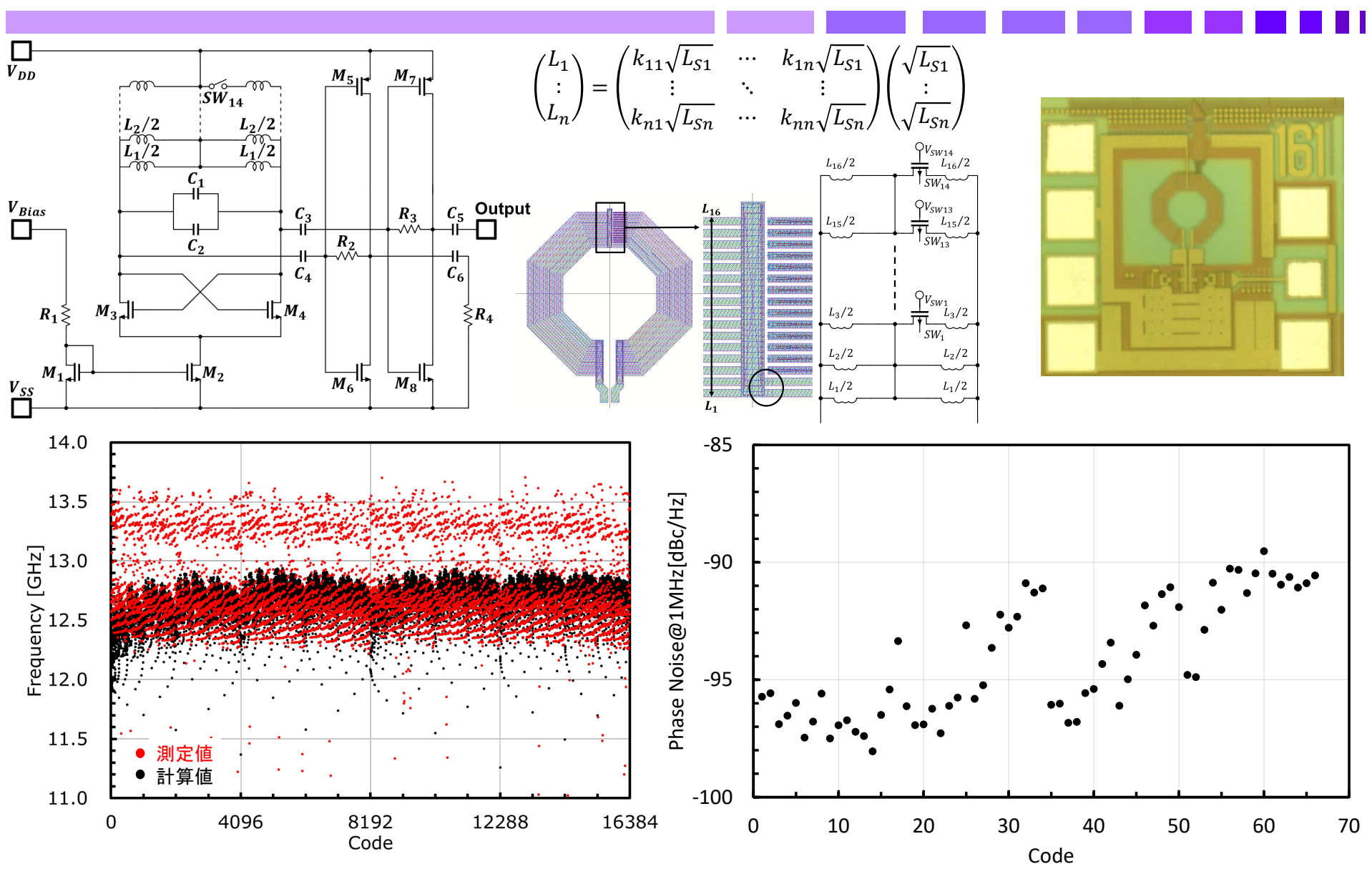




N. Tajima, K. Komoku, T. Morishita, and N. Itoh, "K-Band Low Phase Noise Inductive Coupled VCO," Proc. of the 2020 Asia-Pacific Microwave Conference, pp.1110-1112, Dec. 2020.

14bit DCO(2019, 八木)

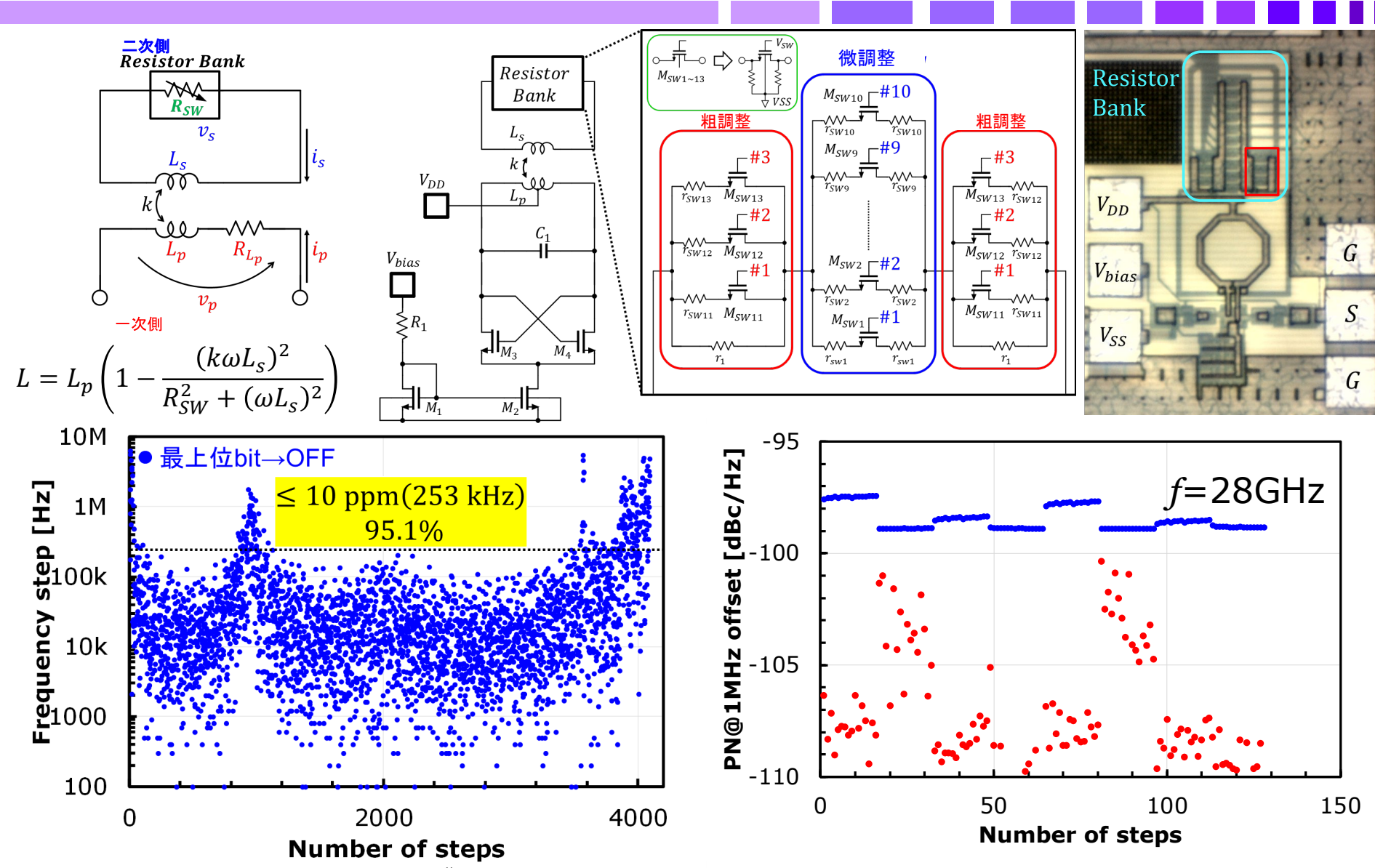




M. Yagi, K. Komoku, T. Morishita, and N. Itoh, "A Study on 14 bit Digital Controlled Oscillator Using Switched Striped Inductor," Proc. of the 2019 Asia-Pacific Microwave Conference, pp.998-1000, Singapore, Dec. 2019.

13bit SW-Resistor DCO(2023,田村)





N. Tamura, K. Komoku and N. Itoh, "A Study on Kv and FTR Trade-off for 28-GHz Band VCO with Variable Inductor Using Switched Resistor," The proceedings of Joint Workshop Thailand-Japan Microwave (TJMW) & Asian Wireless Power Transfer Workshop (AWPT) 2023, TH2-01, Bangkok, Dec. 2023.

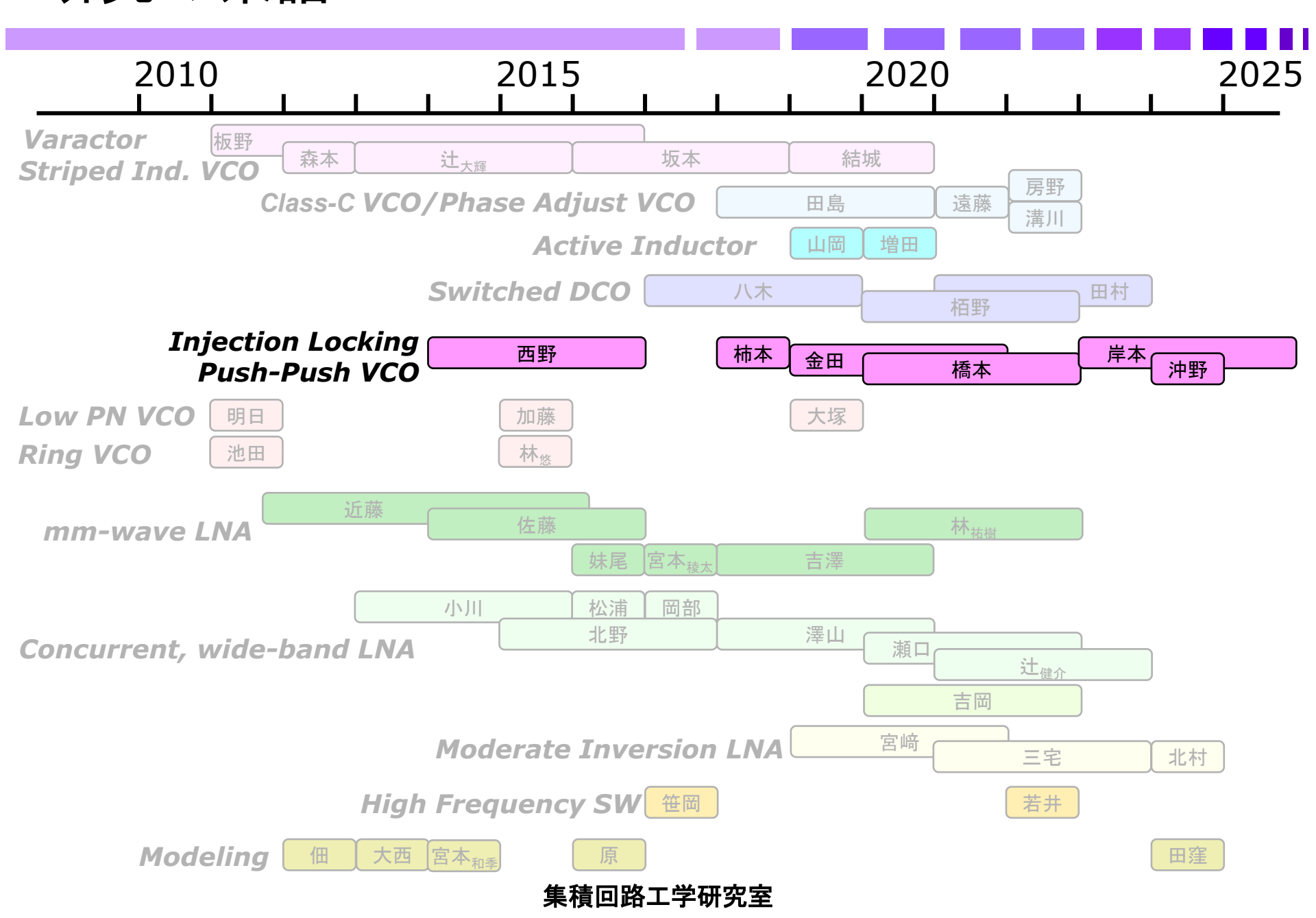
話の内容



- 東芝時代(1985~2010)
- 岡山県立大学時代(2010~2025)
 - Oscillator
 - Injection Lock and Push-Push Frequency Generator
 - Amplifier
 - ■集積回路工学研究室伊藤Gr
- ■今後の予定

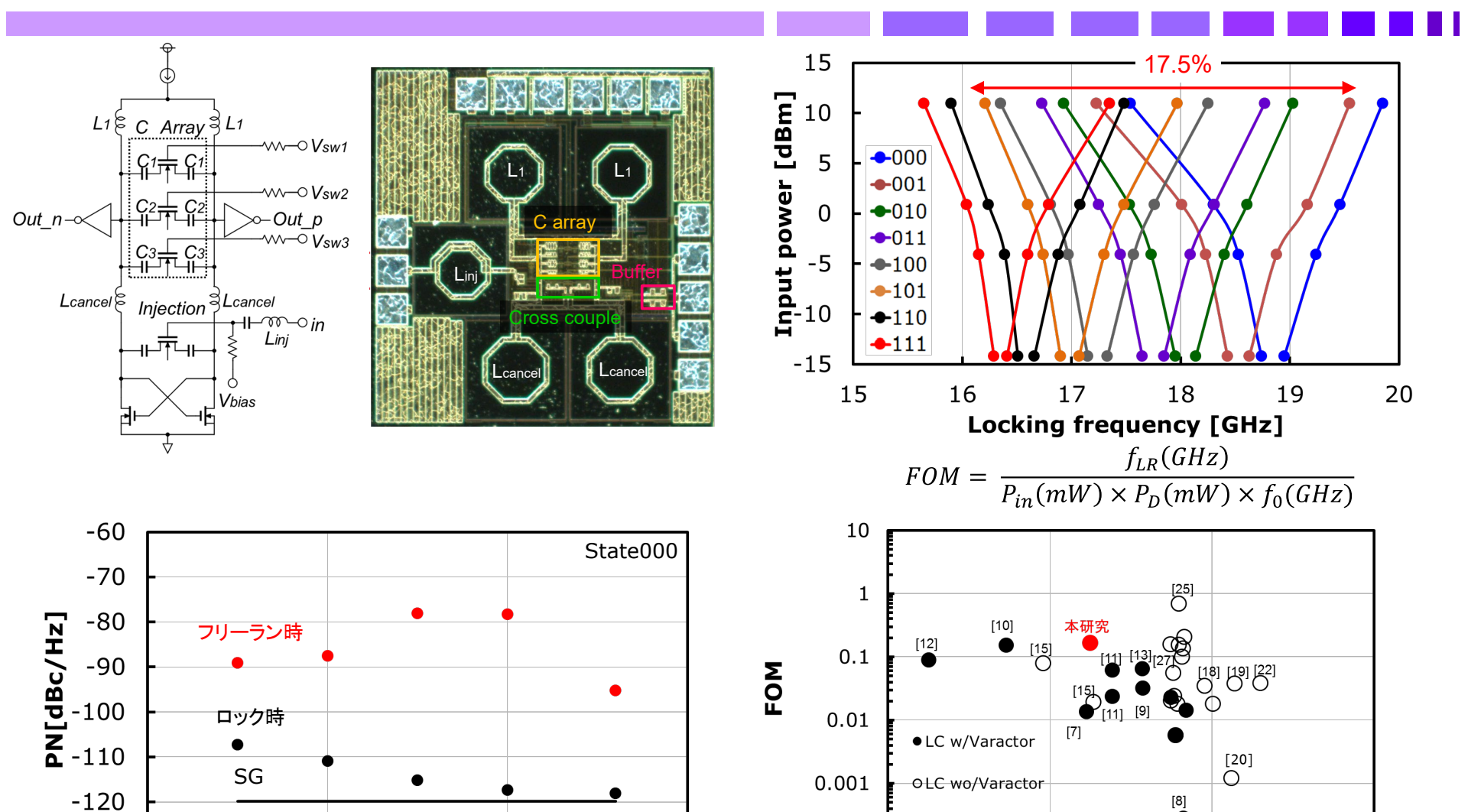
研究の系譜





ILFDivider(2016,西野)





キャパシタアレイILFD

10

frequency [GHz]

0.0001

Icore[mA] Y. Nishino, K. Komoku, T. Morishita, N. Itoh, "A 25.8% Locking Range 24-GHz Injection Locked Frequency Divider with Capacitor Array in 180-nm CMOS," The 19th International Conference on Analog VLSI Circuits (AVIC2016), pp.107-111, Boston, Aug. 2016.

3

2

-130

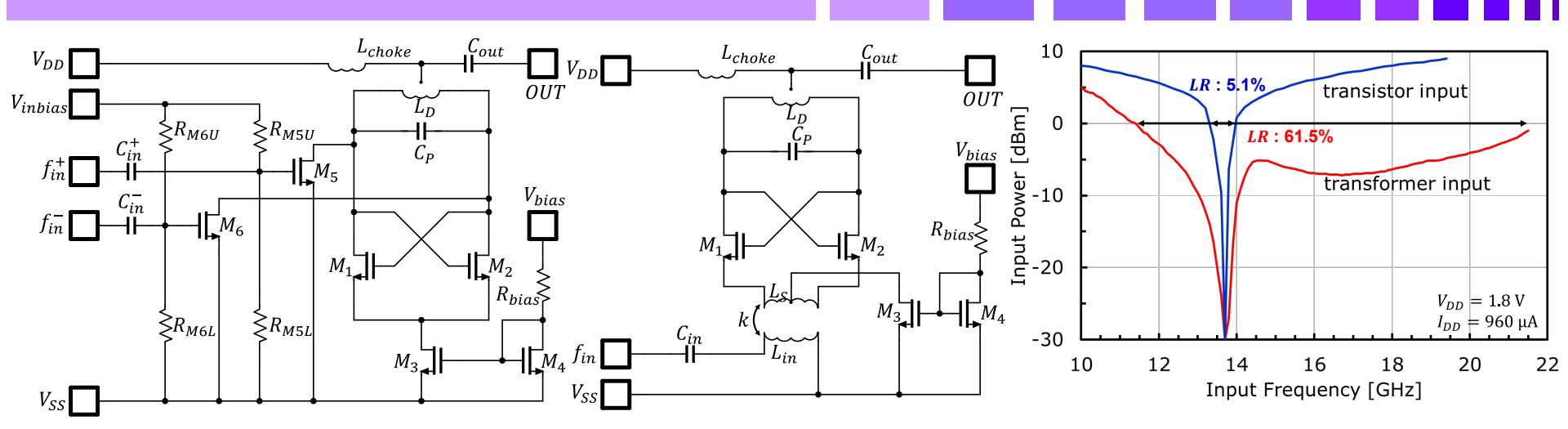
0

1000

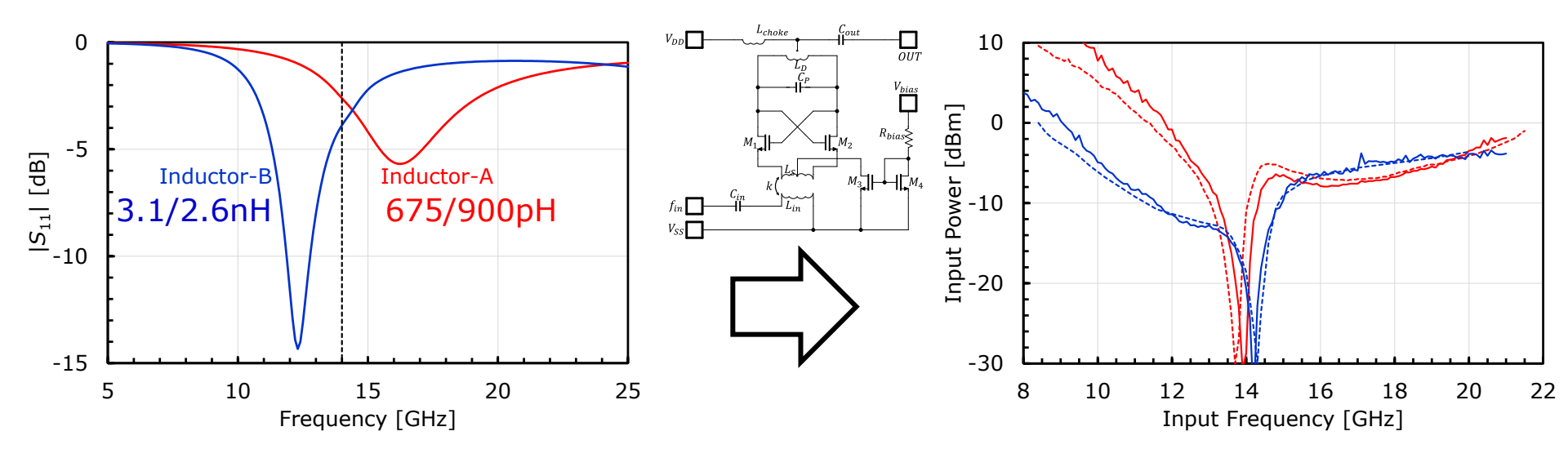
100

ILFDoubler(2022-23,橋本,金田)





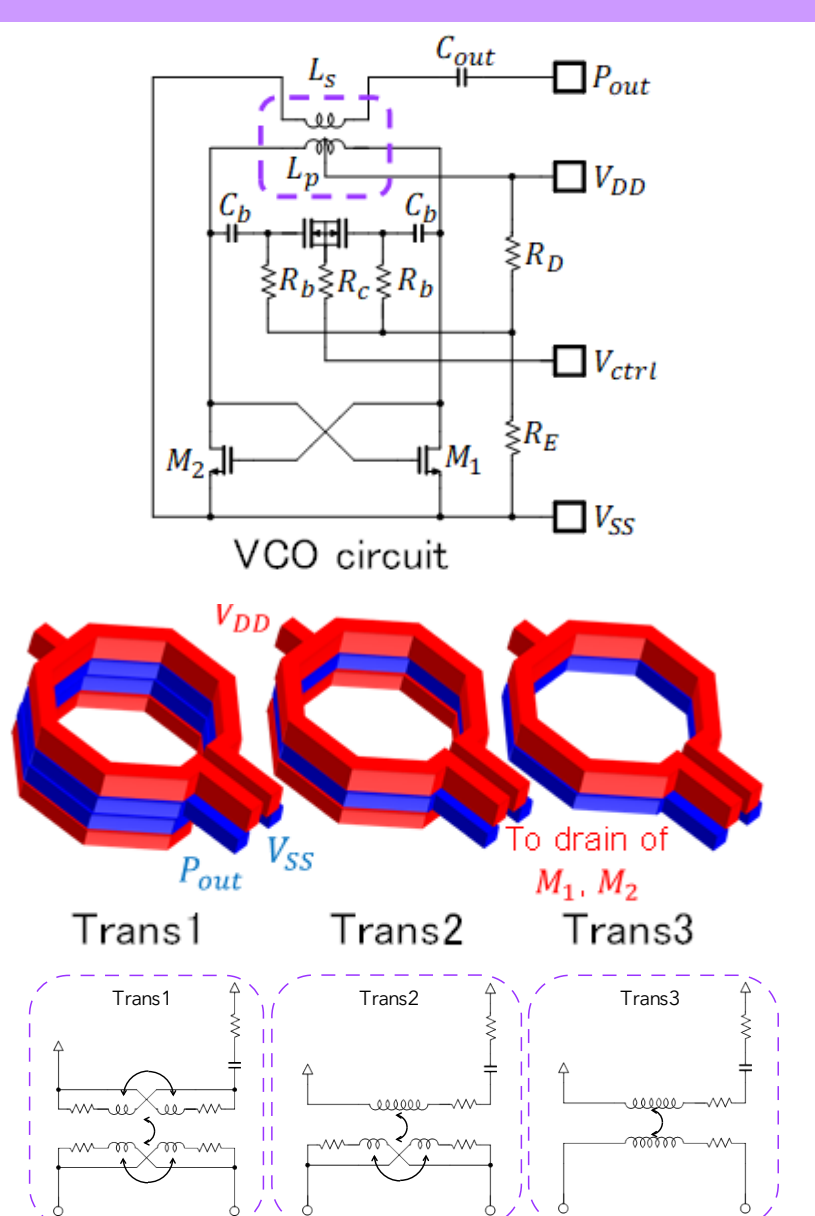
Transistor input configuration Balun input configuration

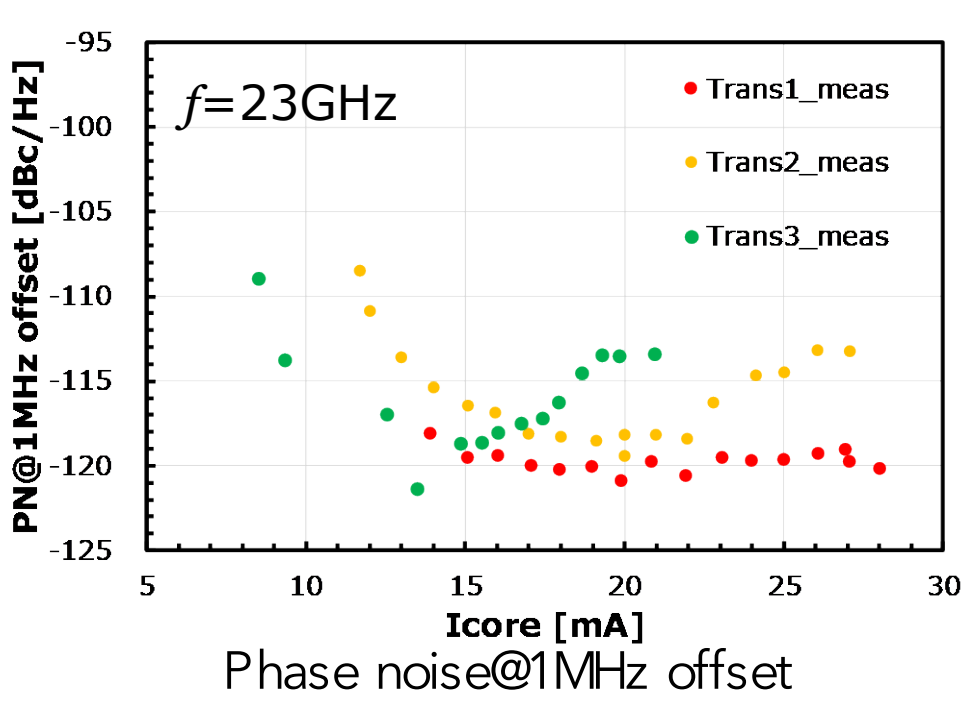


Y. Hashimoto, N. Kaneda, K. Komoku and N. Itoh, "Study of 18.2-42.0 GHz Injection-Locked Frequency Doubler with Transformer Input," IEICE Electronics Express, Vol.20, No.13, 1–52023. DOI: 10.1587/elex.20.20230107

Push-Push Osc.(2024, 岸本)







H. Kishimoto, K. Komoku, J. Furuta, and N. Itoh, "A Study on 23-GHz Low-Phase-Noise VCO with Transformer Output," Proceedings of 2024 Asia-Pacific Microwave Conference, pp.342-344, Bali, Indonesia, Nov. 17, 2024.

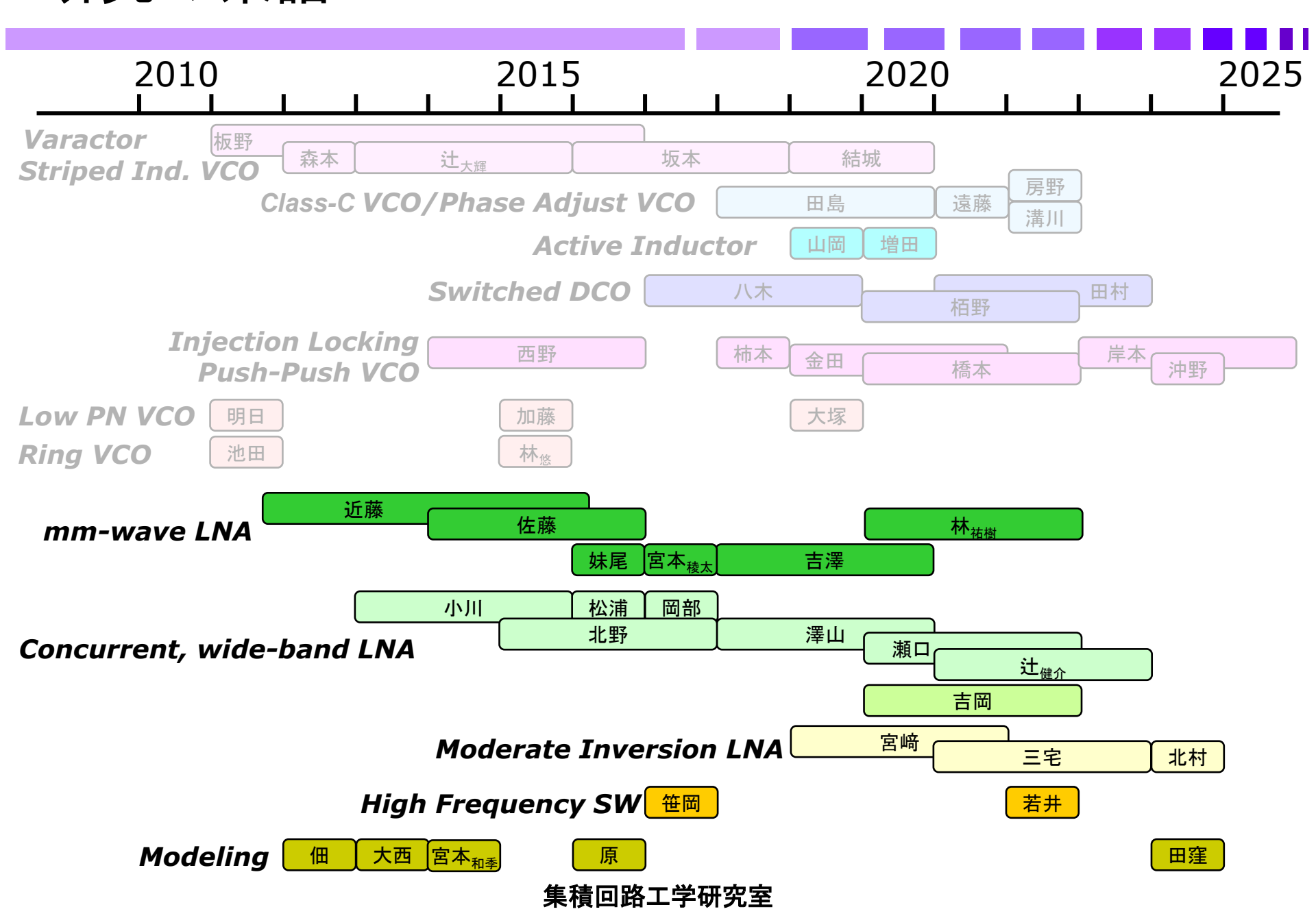
話の内容



- 東芝時代(1985~2010)
- ■岡山県立大学時代(2010~2025)
 - Oscillator
 - Injection Lock and Push-Push Frequency Generator
 - Amplifier
 - ■集積回路工学研究室伊藤Gr
- ■今後の予定

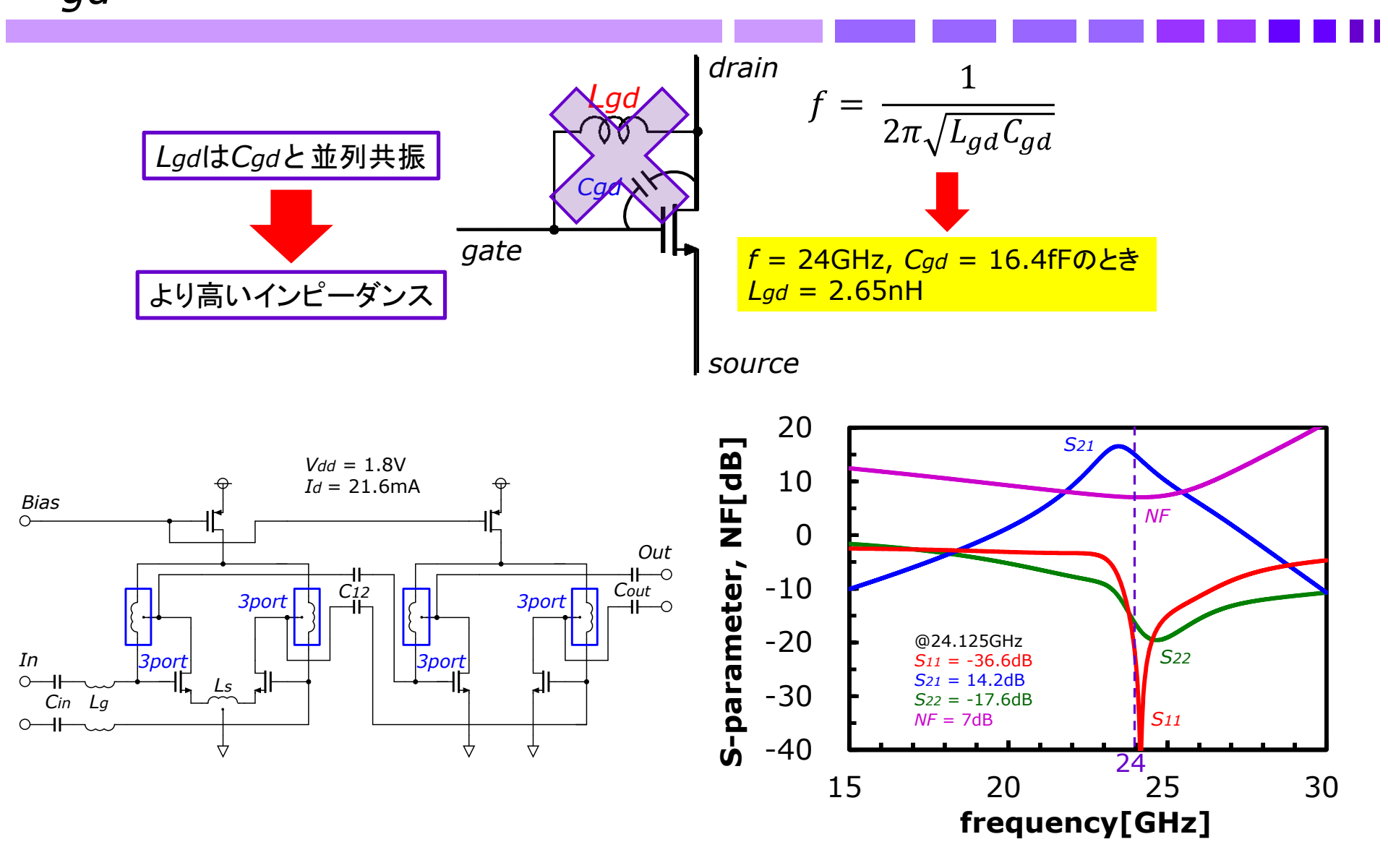
研究の系譜





C_{ad} 中和增幅器(2016, 佐藤)

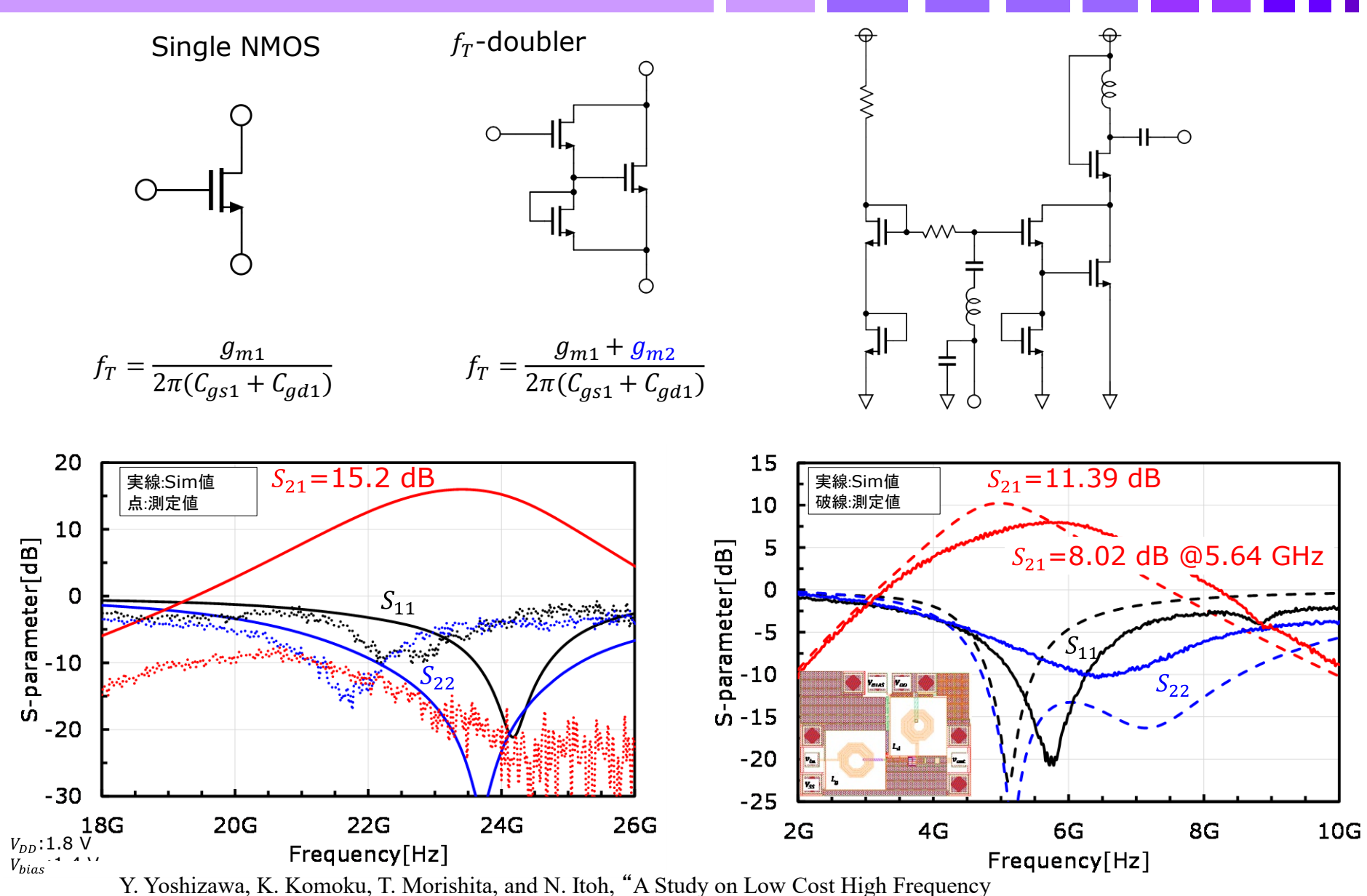




Y. Sato, K. Komoku, T. Morishita, N. Itoh, "A 24-GHz Low-Noise Amplifier using Three-Port Inductor," The 19th International Conference on Analog VLSI Circuits (AVIC2016), pp.103-106, Boston, Aug. 2016.

frダブラー増幅器(2017-20,宮本,吉澤)





Amplifier using fT-doubler," TJMW Student Workshop, 2-5, Dec. 8, 2020.

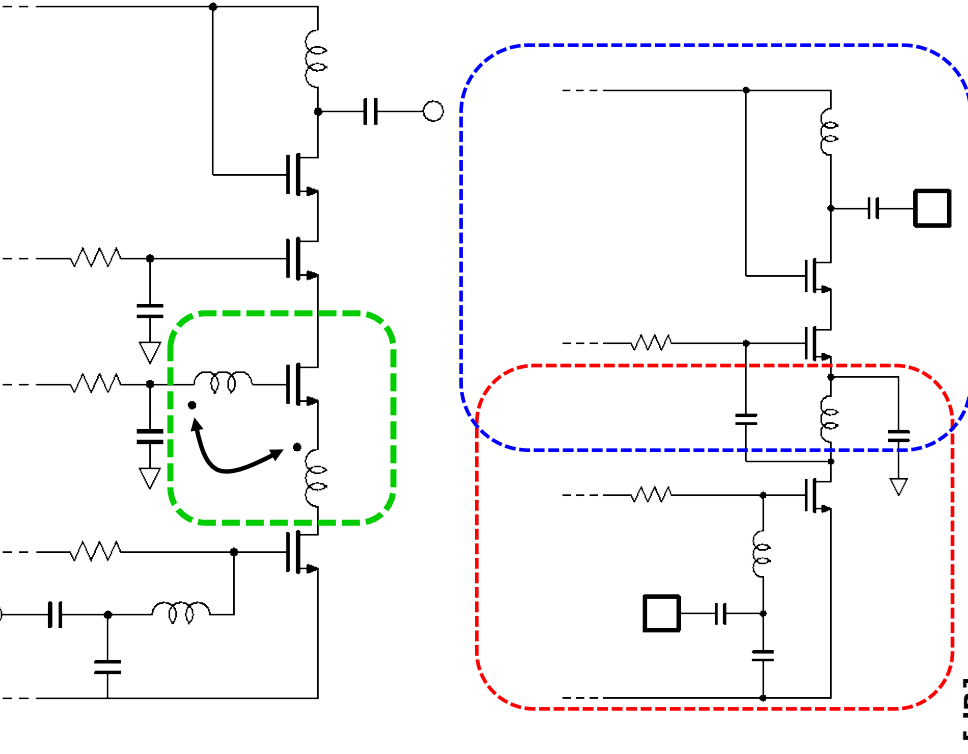
2025/7/14

24GHz帯LNA(2022,林)



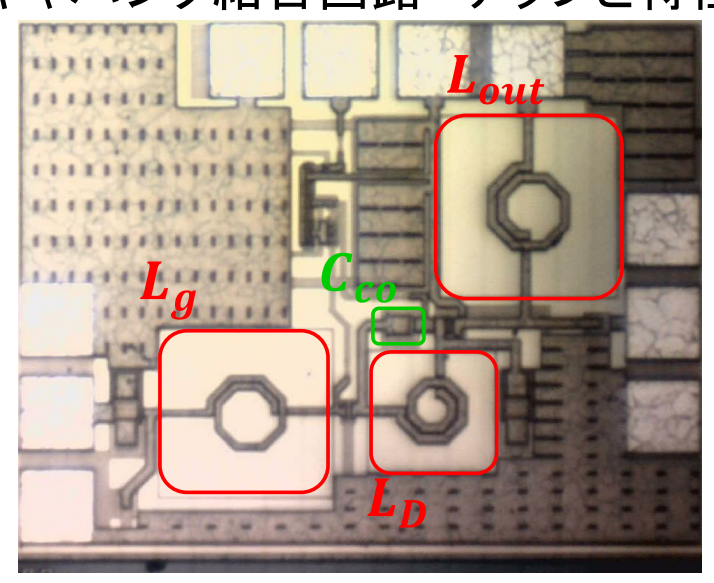
インダクタ結合回路

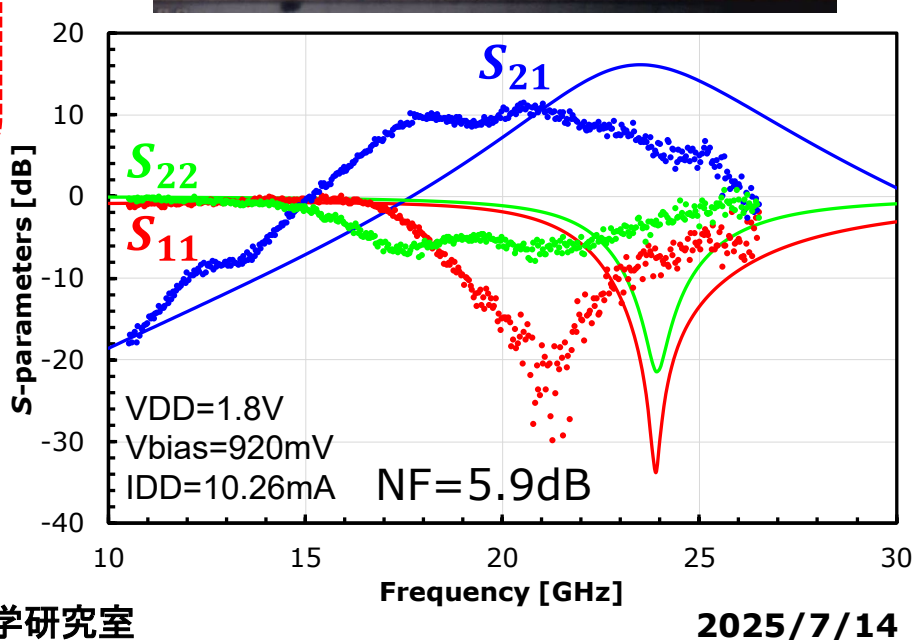
キャパシタ結合回路



Y. Hayashi, K. Komoku and N. Itoh, "A study of K-band gain-boosted amplifier using inductor coupling," 2022 IEEE International Symposium on Radio-Frequency Integration Technology (RFIT), 2022, pp. 77-79, doi: 10.1109/RFIT54256.2022.9882429.

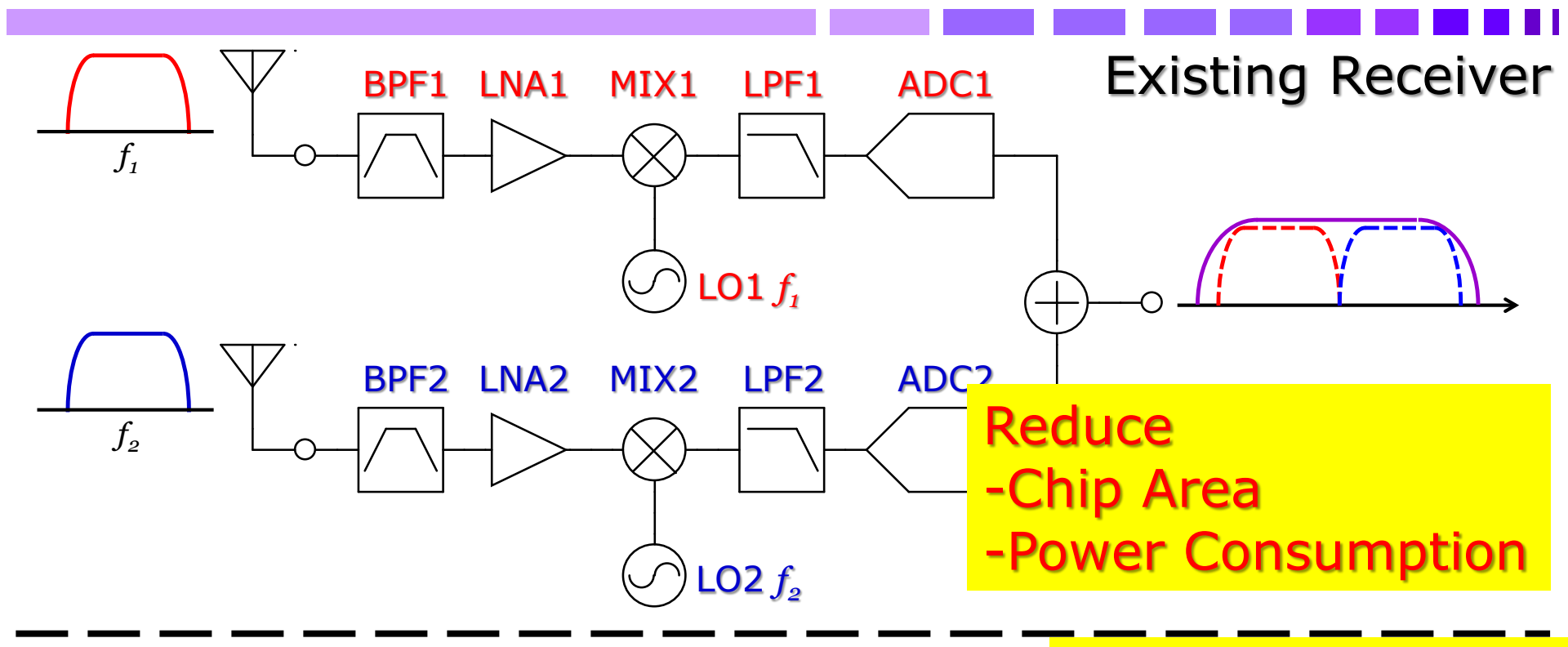
キャパシタ結合回路 チップと特性

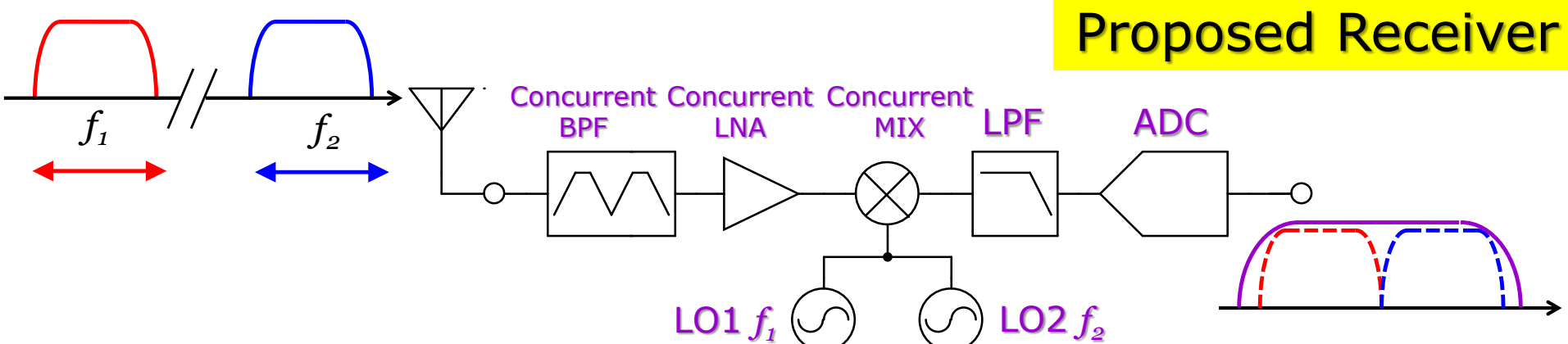




Carrier Aggregation Receiver

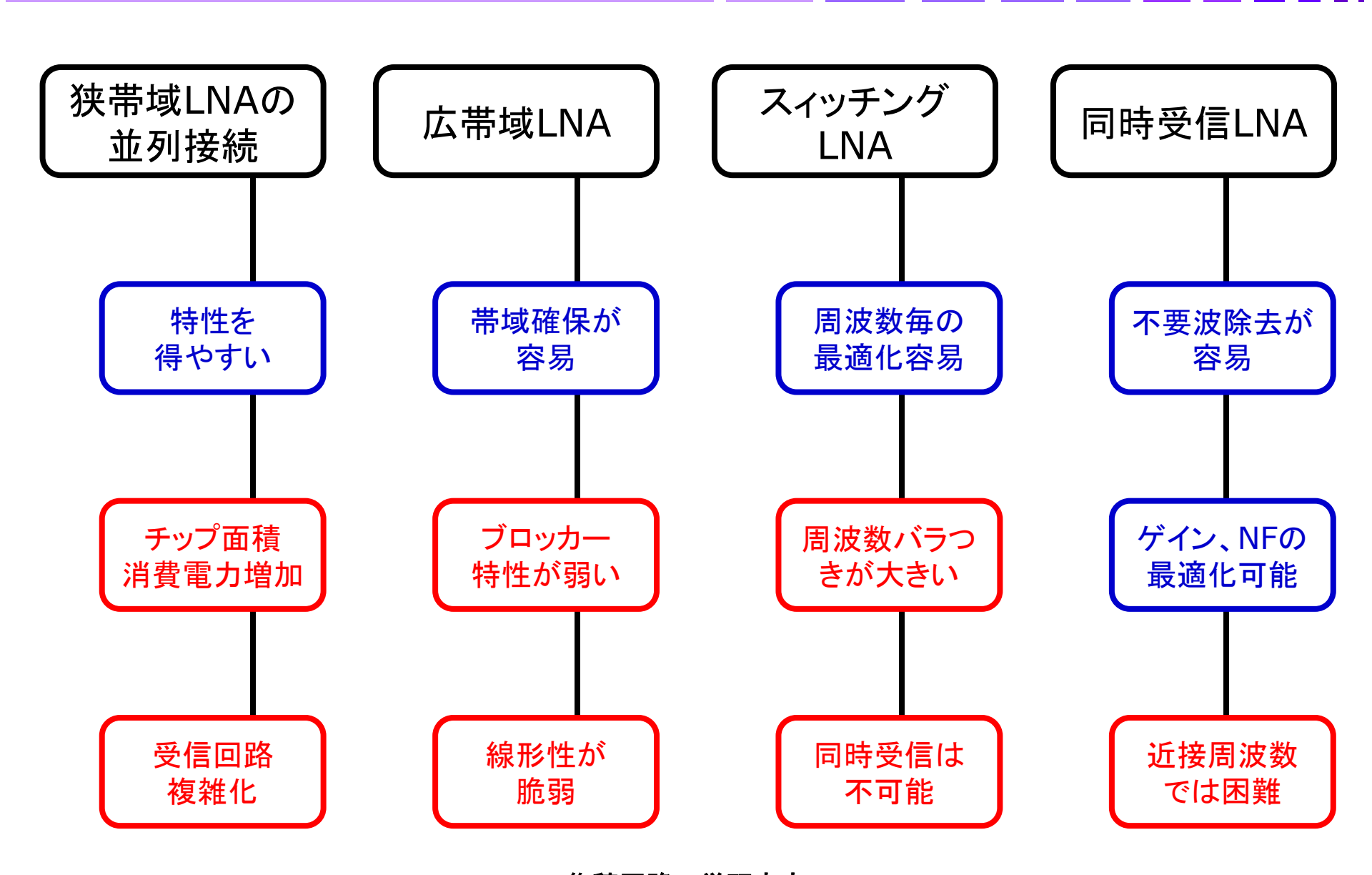






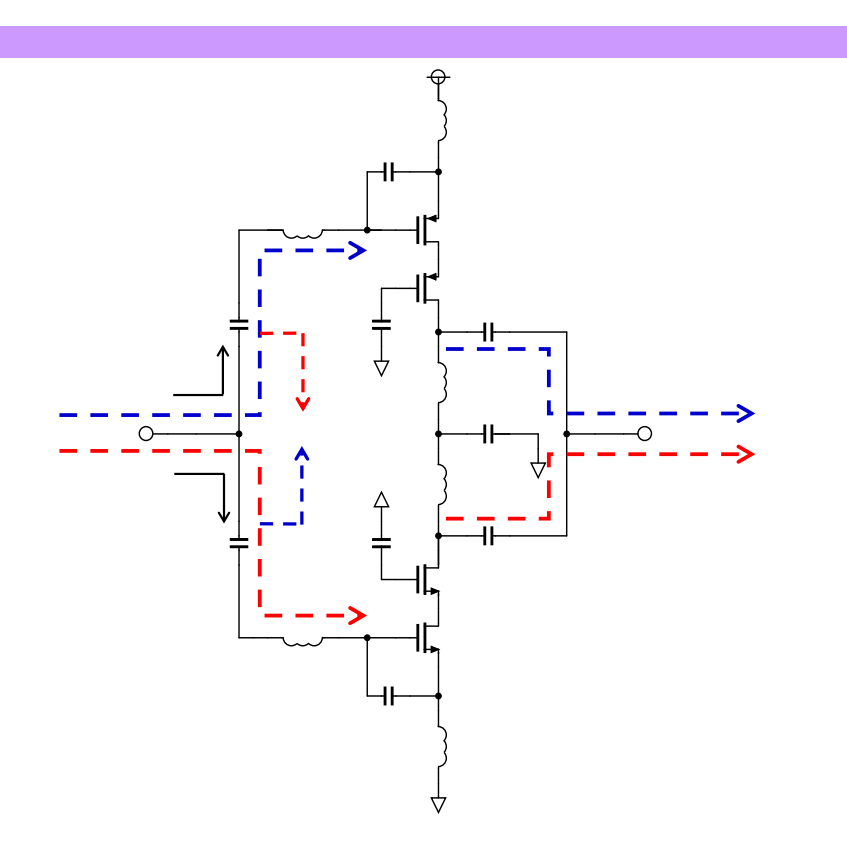
マルチバンドLNA アプローチ

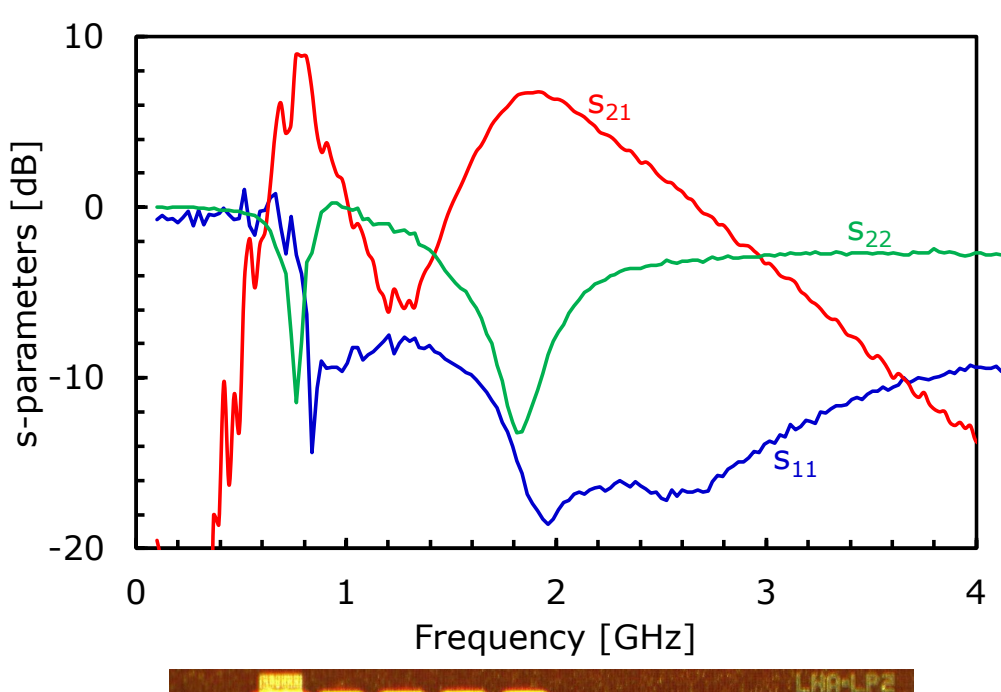




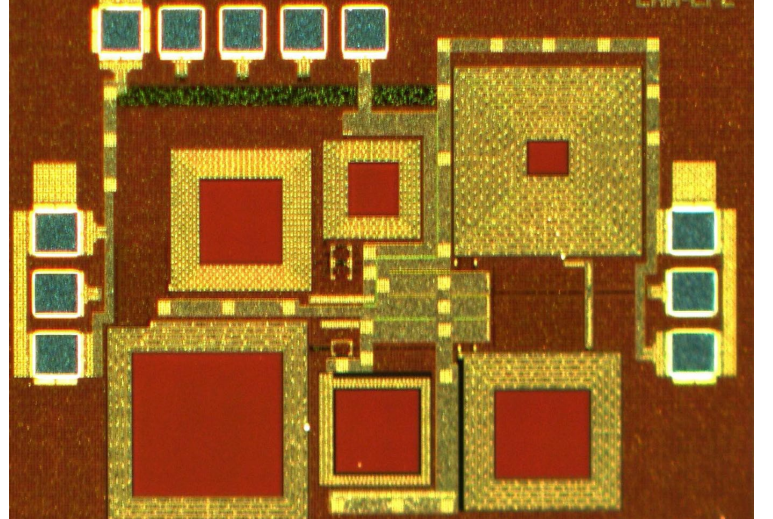
First Concurrent LNA(2016,小川)





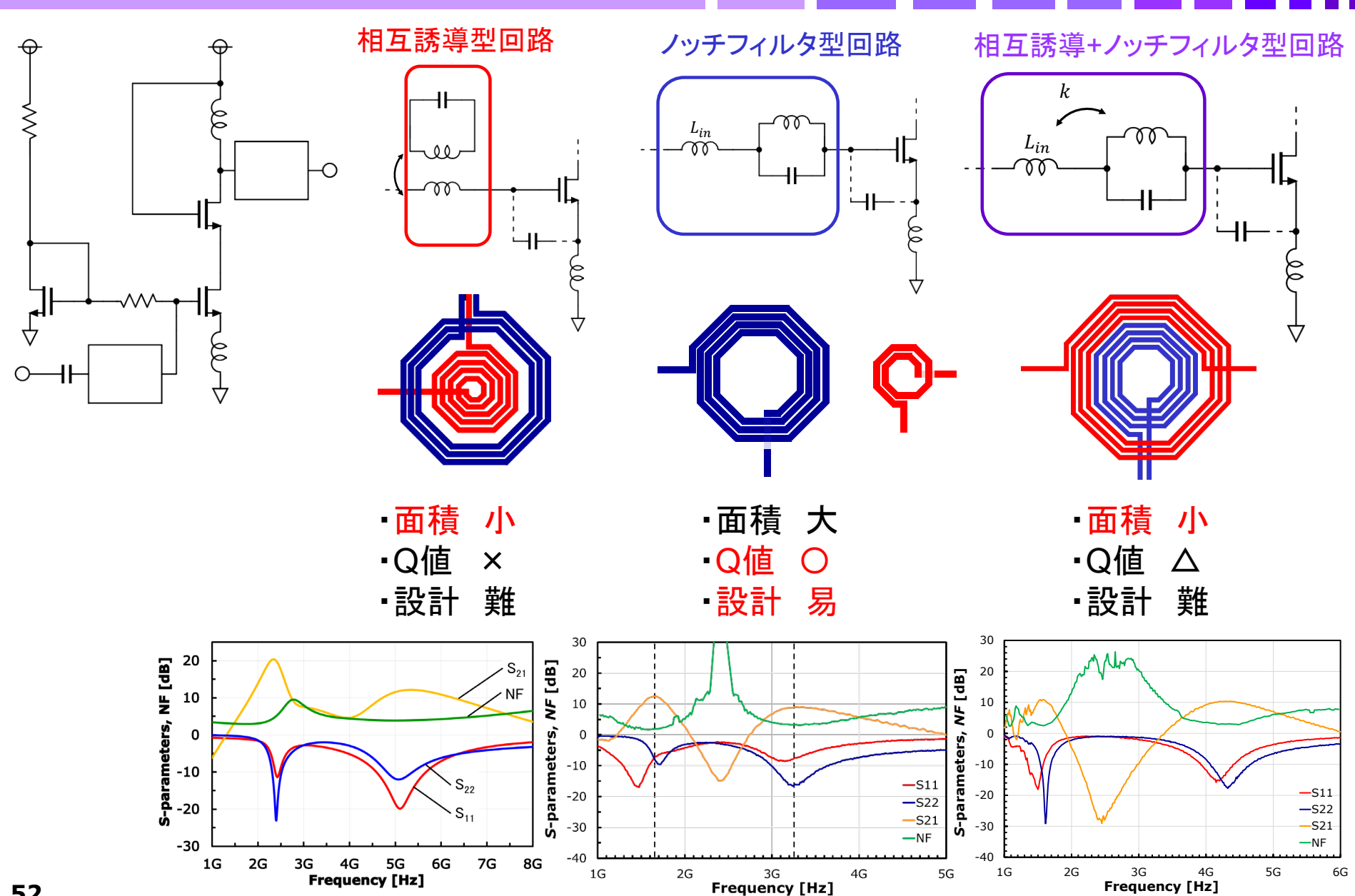


T. Ogawa, T. Morishita, K. Komoku, Y. Itano, S. Yoshitomi, and N. Itoh, "A Study of Current-Reuse 800 MHz/1.9 GHz Concurrent Dual-Band Amplifier," IEEE Radio and Wireless Symposium 2016 (RWS2016), pp.245-247, Austin, Jan. 2016, DOI: 10.1109/RWS.2016.7444416.



二帯域同時受信LNAs(2017-21,北野,澤山)





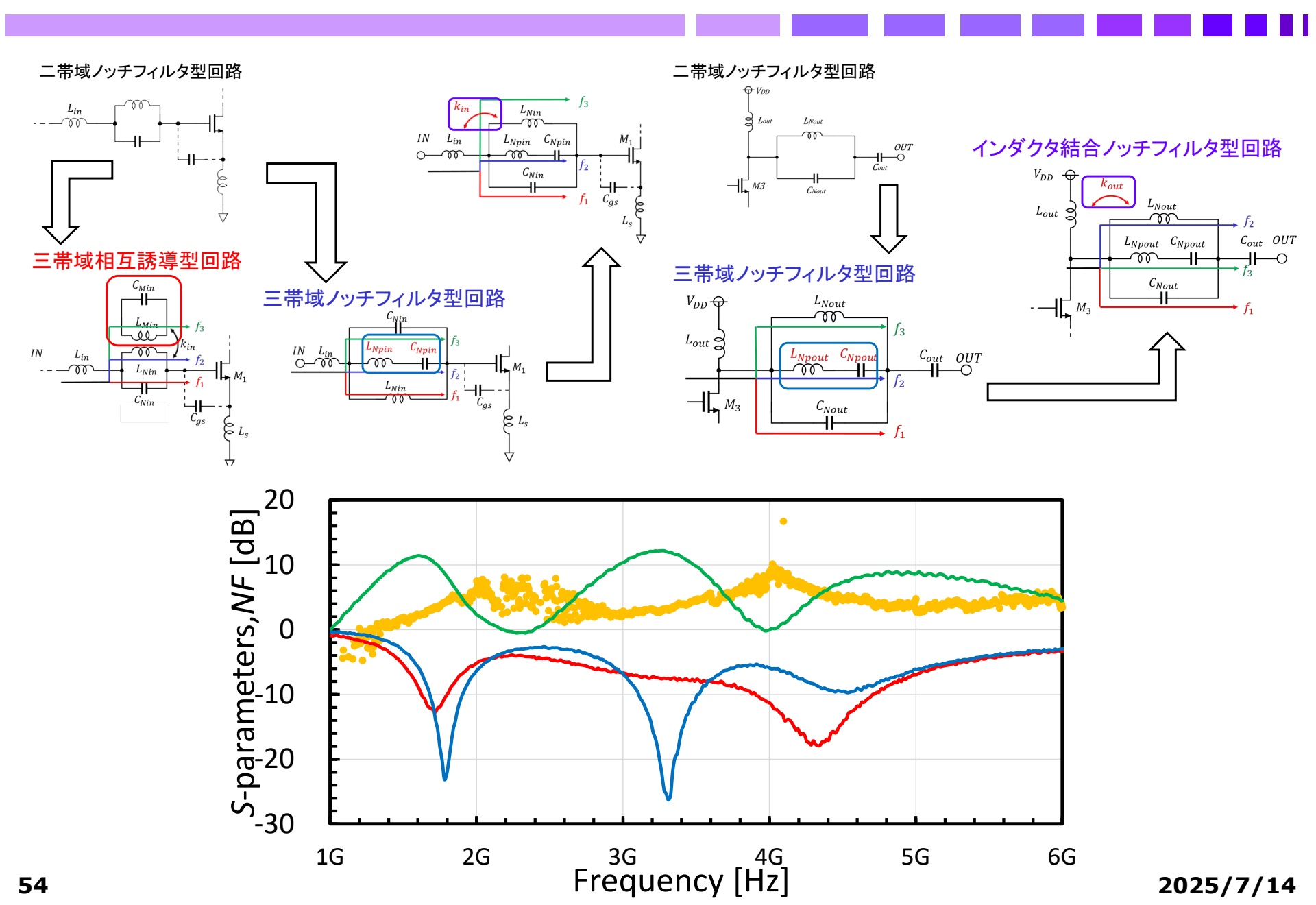
二帯域同時受信LNAs チップ特性



入力\出力	相互誘導型				ノッチフィルタ型					
			s21	NF		L			s21	NF
相互誘導型		Low Band	20.1	6.60		O		Low Band	11.2	2.86
		High Band	8.2	6.60			•	High Band	10.6	5.08
	0.39mm ²			0.59mr					mm ²	
ノッチフィルタ	L _{1out} & L _{2ot}		s21	NF	L_{gp}	L_{gp}	L_{sout}		s21	NF
		Low Band	12.5	1.91			Low Band	11.1	2.80	
型 	OTO	High Band	9.0	3.25				High Band	2.34	2.80
	L_{gs} L_{gp}		0.62	mm ²	L_{gs}		L _{pout}		0.66	mm²
	相互誘導ノッ	Y. Sawayama, T. Morishita, K. Komoku, N. Itoh, "Study of Dual-Band Concurrent LNA Equipping Mutual Inductive Notch Filter Matching Circuit," IEICE Electronics Express,					etive			
			s21	NF	Vol. 18, 1	No.5, 1-5, M	1arch 2021.			
相互誘導 ノッチフィルタ 型	9	Low Band	10.9	2.64	译叫 框	八,林下 貝 NAにおける 服通信学会 1.	幸,小椋 清遠 る入出力整合 論文誌C, Vo	チ・ア 藤 年 ・回路の最 1.J104-C,	i 適構成の No.4, pp.	放照。 検討," 71-81,
±		High Band	10.3	2.99	1 *		孝,森下 賢雪 備えた同時受 高学会論文誌	幸, 伊藤 信 :信低雑音	言之,"入 [·] 増幅器に	 出力に 関する
		検討"電 pp.461-4	注字情報通信 70, Dec. 20	言学会論文誌)18.	EC, Vol.J1	.01-C, No	0.12,			

三帯域同時受信LNAs(2022,瀬口)





三帯域同時受信LNAs チップ特性

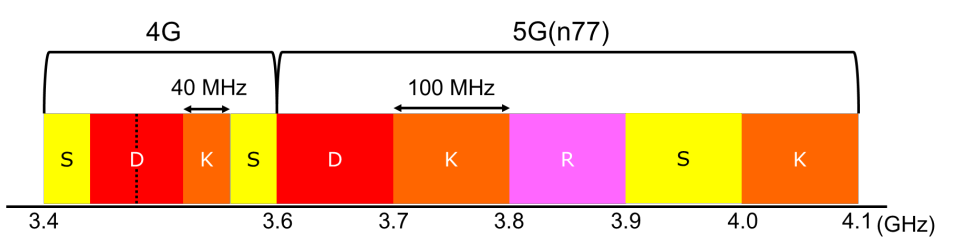


入力\出力	ノッチフィルタ型				インダクタ結合ノッチフィルタ型				
							s21	NF	
40 77 = 4 7						Low Band	14.4	2.50	
相互誘導型					DUUGASA CASA CASA CASA CASA CASA CASA CASA	Middle Band	14.1	2.97	
					0.90mm ²	High Band	10.0	3.02	
			s21	NF					
ノッチフィルタ		Low Band	10.9	2.1	4				
型型		Middle Band	12.4	2.4	6				
	1.04mm ²	High Band	3.5	4.1	8				
	S. Seguchi, K. Komoku and N. Itoh, "1.40/2.42/4.21-GHz Triple-Band Concurrent LNA Using Inductor						s21	NF	
インダクタ結合 ノッチフィルタ 型	Coupling," Proceedings of 2022 Asia-Pacific Microwave Conference, WE1-F1-2, pp.4-6, Yokohama,					Low Band	11.4	2.39	
	Japan, Nov. 30, 2022.					Middle Band	12.0	3.16	
					0.76mm ²	High Band	8.9	3.89	

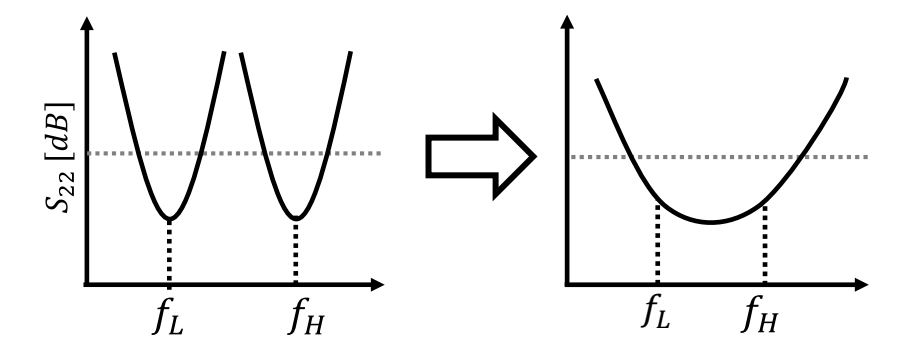
広帯域LNA(2022,吉岡)



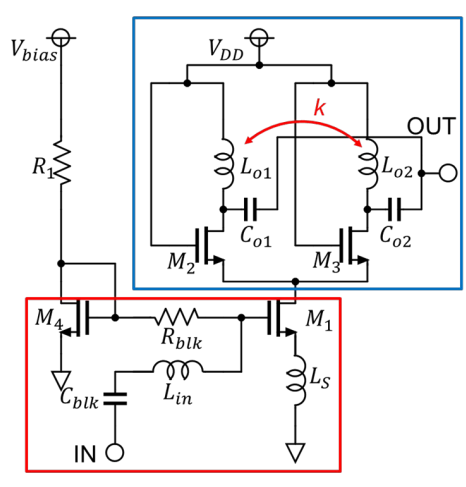
5Gのn77-band全体をカバーする

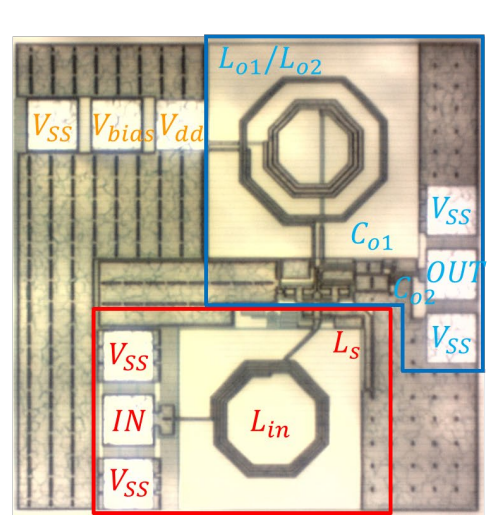


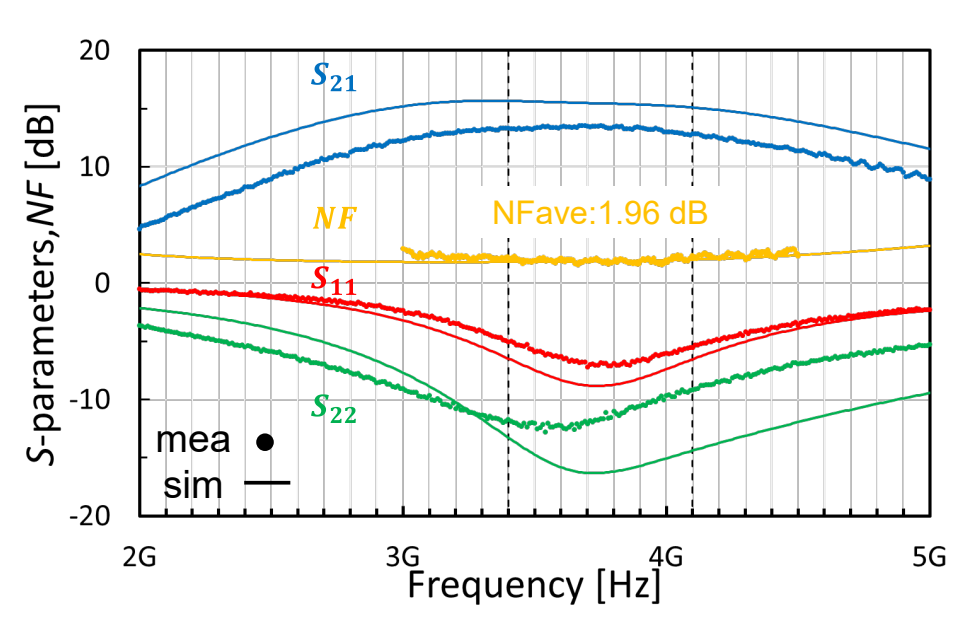
2つの狭帯域整合回路をマージ 周波数特性を平坦化



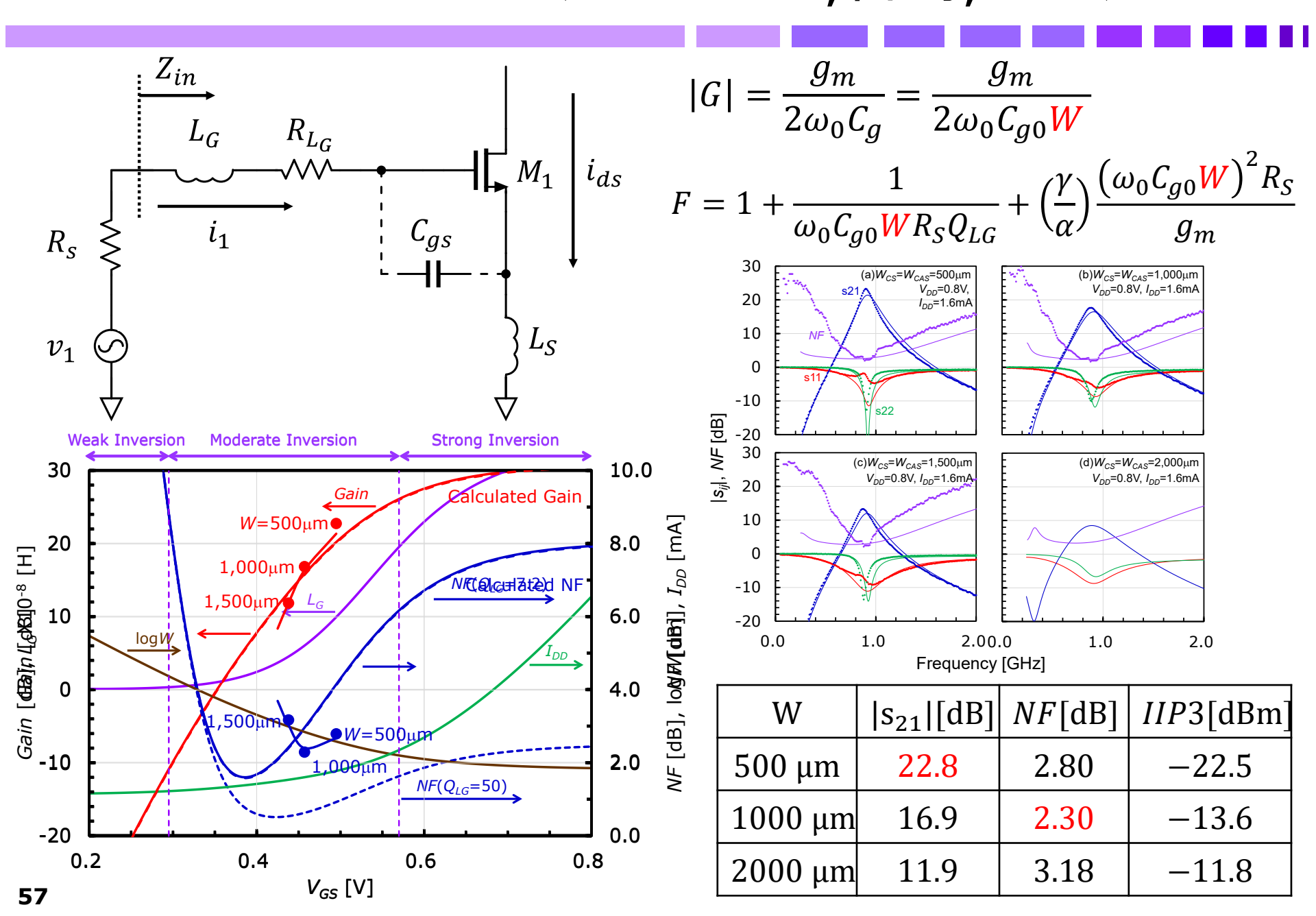
Yoshioka, K. Komoku and N. Itoh, "Study on Area Reduction of Low Gain Deviation and Low Noise Broadband Amplifier," 3rd TJMW Student Workshop, 3B-2, November 14, 2022, Online.





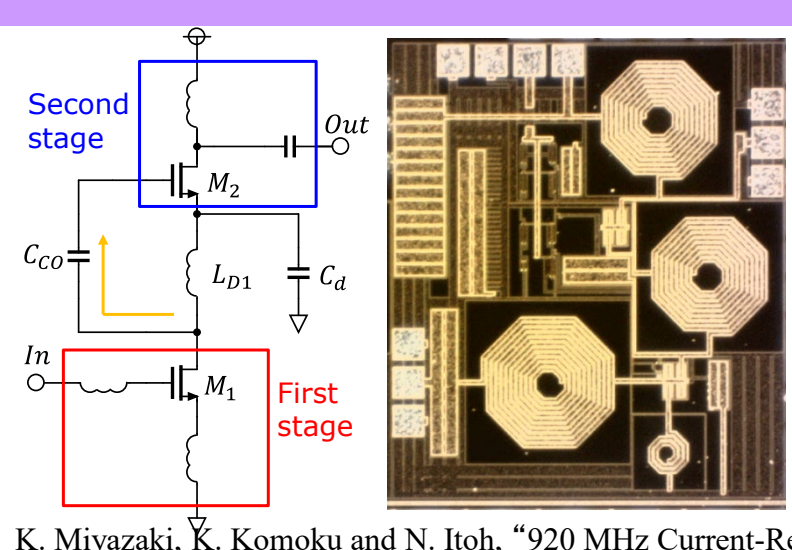


Subthreshold LNA(2022-23,宮崎,三宅學園山県立大学

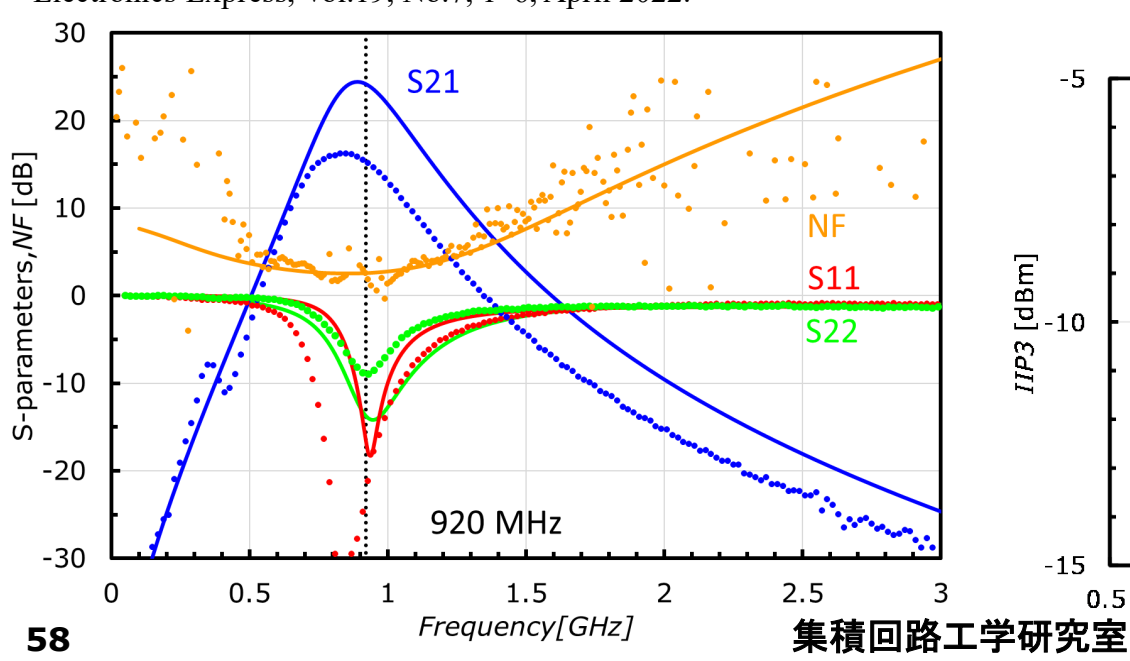


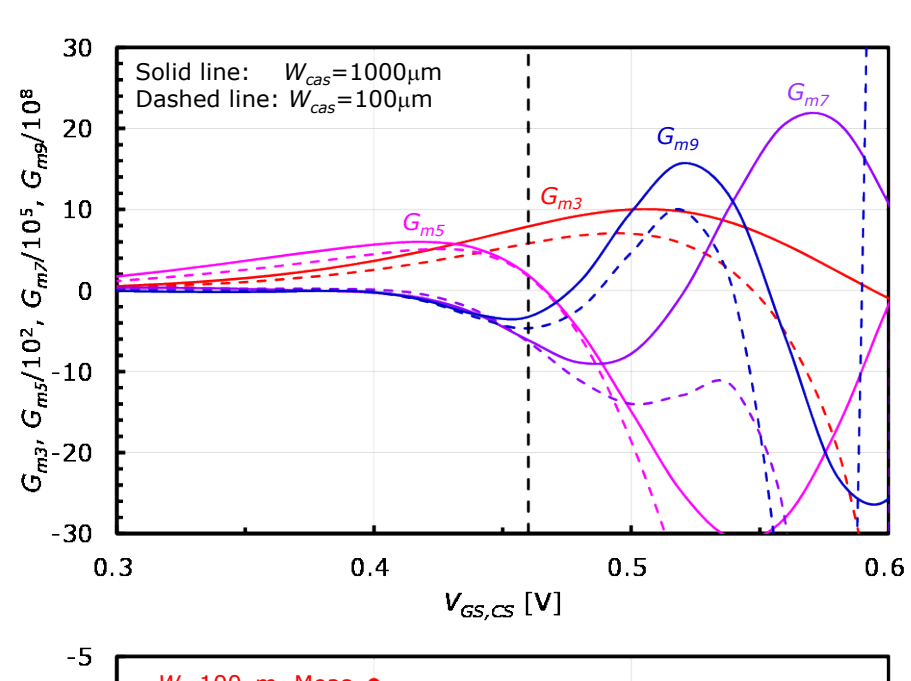
ゲイン向上と線形性向上

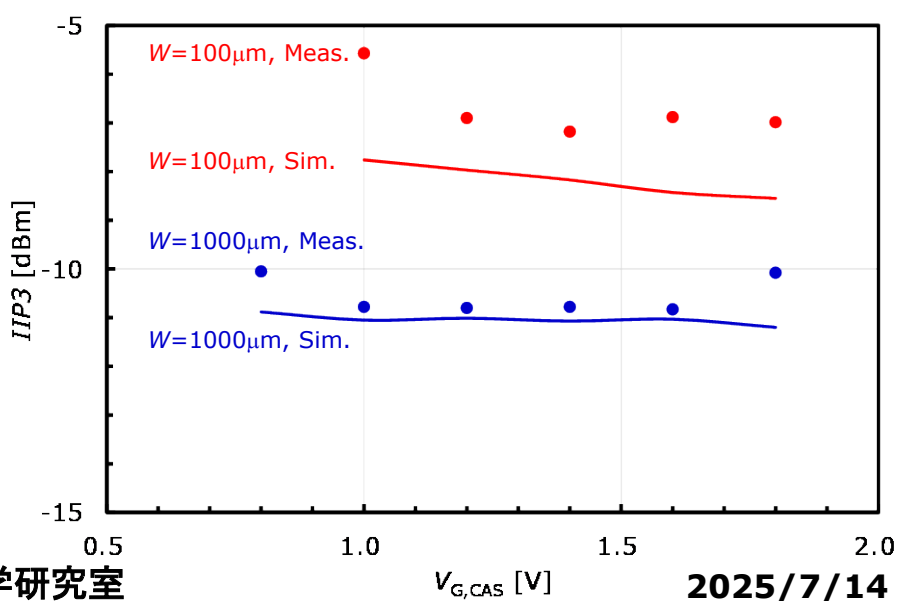




K. Miyazaki, K. Komoku and N. Itoh, "920 MHz Current-Reuse Low-Power LNA Operated in Moderate Inversion Region," IEICE Electronics Express, Vol.19, No.7, 1–6, April 2022.







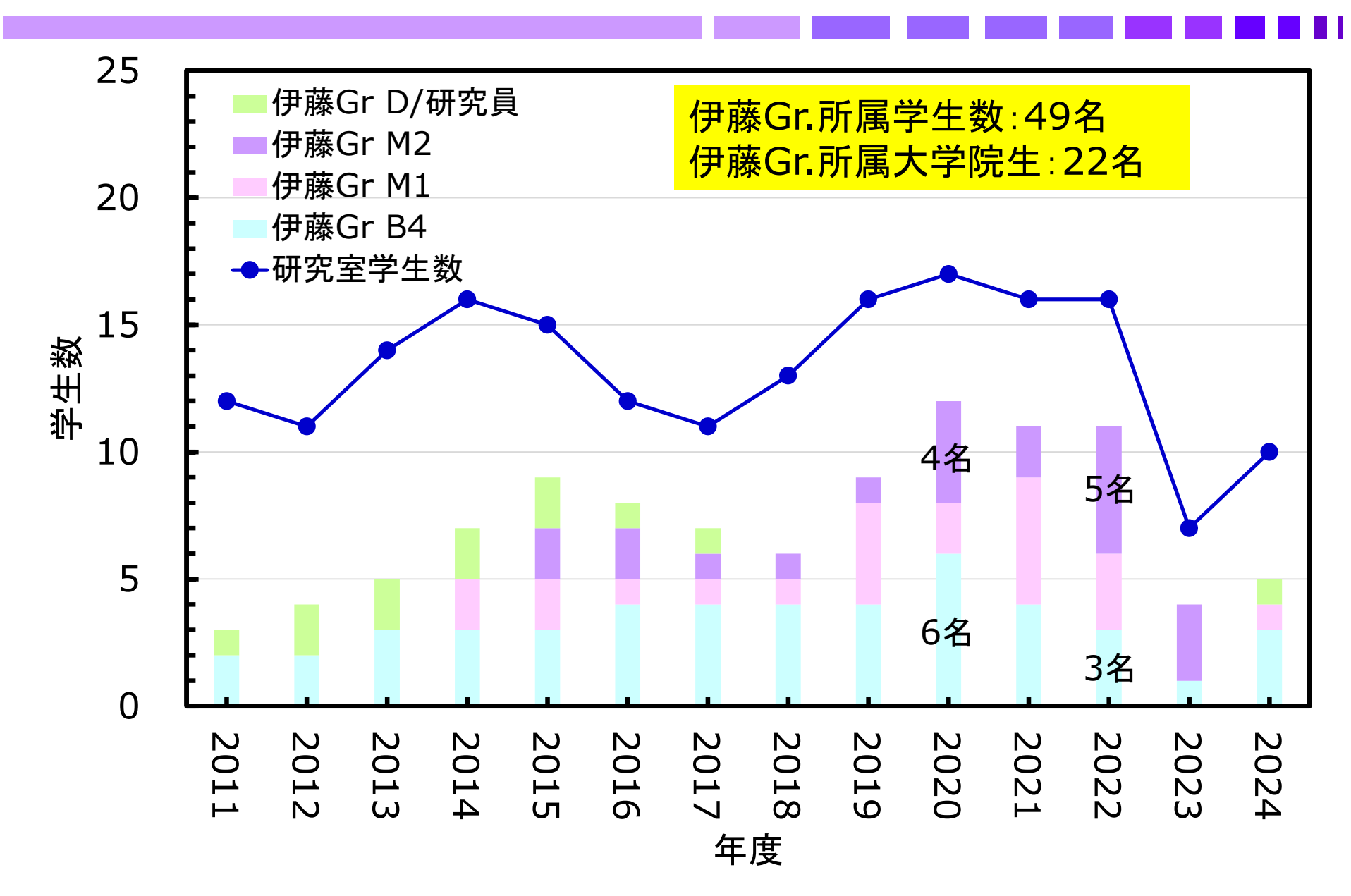
話の内容



- 東芝時代(1985~2010)
- 岡山県立大学時代(2010~2025)
 - Oscillator
 - Injection Lock and Push-Push Frequency Generator
 - Amplifier
 - ■集積回路工学研究室伊藤Gr
- ■今後の予定

集積回路工学研究室学生数





集積回路工学研究室の生活



■研究室に来る日数: 平均2.8 日/週

■研究室に居る時間: 平均20.6 時間/週

■ 研究室に来る時刻: 11:30くらい

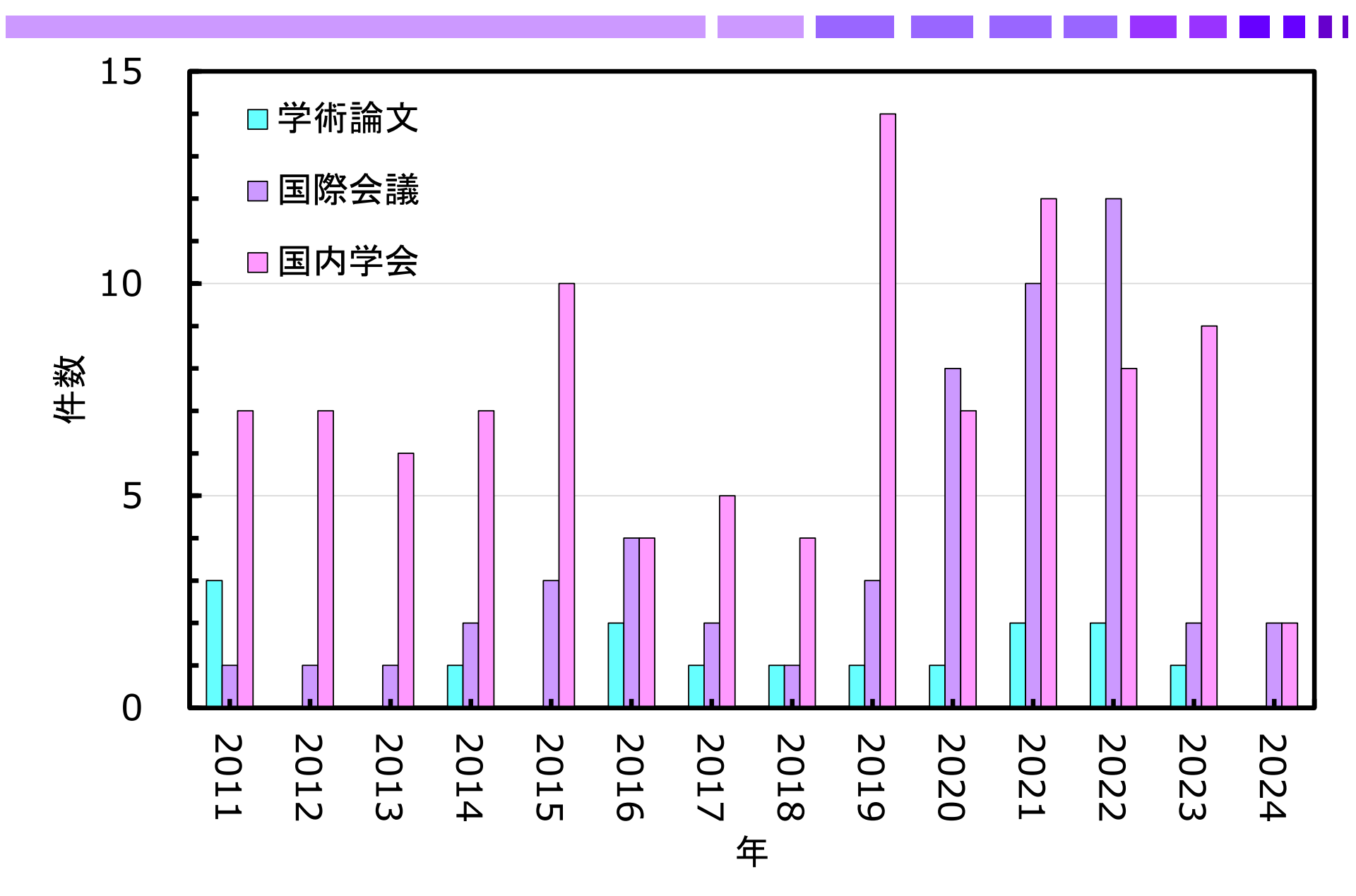
■ 研究室から帰る時刻: 19:00くらい

■沢山人が居る時間: 14時~16時

■アルバイトしてる学生: 90%

集積回路工学研究室Publication





学生の発表した国際学会



2012	APMC	板野			
2014	APMC	辻			
2015	TJMW	佐藤			
	APMC	辻			
2016	RWS	小川			
	AVIC	佐藤,	西野,	北野	
2017	APMC	北野,	坂本		
2018	APMC	坂本			
2019	AVIC	澤山,	田島		
	APMC	八木			
2020	RFIT	澤山,	結城		
	APMC	澤山,	田島		
	TJMW	澤山,	結城,	吉澤,	宮﨑

集積回路工学研究室

2025/7/14

学生の発表した国際学会(2)



2021 RFIT **宮崎**

AVIC 宮﨑,瀬口,吉岡

APMC 橋本

TJMW 金田, 宮﨑, 栢野, 瀬口, 林

RFIT 林

2022 AVIC 田村

APMC 瀬口,橋本,三宅

TJMW 栢野,瀬口,橋本,吉岡,三宅,田村

2023 TJMW 田村, 三宅

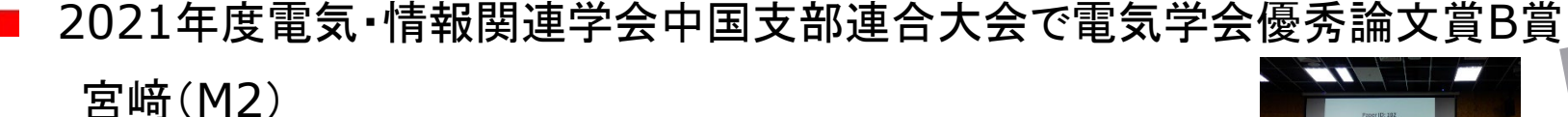
2024 APMC 岸本

学会賞受賞(延12名)



■ 第16回IEEE広島支部学生シンポジウム優秀研究賞(2014) 小川(M2)

- AVIC2016 Student Paper Award 北野(M1)
- 電気学会2017年優秀論文発表賞 北野(M2)
- 2018年岡山県教育庁仁科顕彰会仁科賞 板野(D3)
- 2021年電子情報通信学会学生論文特集秀逸論文賞 澤山(M2)
- 2021年度電気·情報関連学会中国支部連合大会電子情報通信学会 奨励賞 金田(M2)、宮﨑(M2)、瀬口(M1)



- AVIC2022 Best Student Paper Award 田村(M1)
- TJMW2023 Young Researcher Encouragement Award 田村(M2)
- 2024年度電気·情報関連学会中国支部連合大会電子情報通信学会奨励賞 岸本(M1)







受責者(独自) 全田 関格(280 ftを与う物格許音インジェクションロックLC型4準倍部に対する) 名前 和窓(Subthreshold医療で動作する秘密質問力起始台機構器の練習)



学生の学会発表





66

MWE大学展示





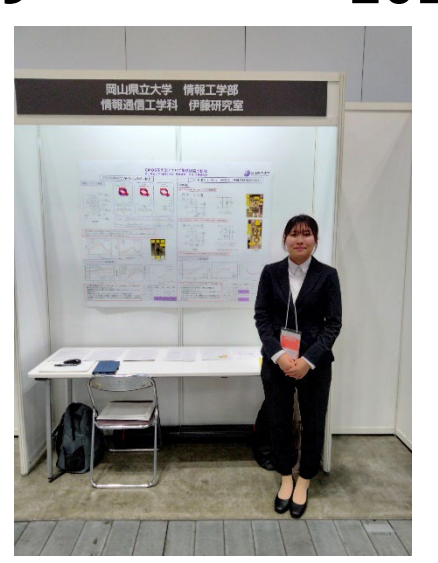












研究室生活





















研究室学生の声



- •集積に配属されて良かったと思い ます
- ・進学を考えているならベスト
- ・噂はある程度合っていると思う(自 分はブラックとは思わない)
- •ハード系面白い
- •先生のサポートが非常に手厚い

他の研究室よりは忙しいですが、やりがいがあり、先生がしっかりと面倒を見てくださるので、とても良い環境だと思います。

先生が優しくて親し みやすいをいうこと もあい環間でないがいで、 質問でなるがいで、 がいます。 で、 がいます。 で、 かった!!

橋本オオオ!

回路設計や、設計した チップを測定できたりす るので、設計開発系の 職種に興味がある人に おすすめ

回路設計・検証に興味があればオススメ。プログラミングで設計するものもある。 色々やりたい人もありかも。 先生のサポートがしっかり しているため、わからないことは解消しやすい気がする。

面倒見が無茶苦

茶いいです!!

希望する就職先

に行けてとっても

感謝していま

す!!

xt-jx

オススメ

日本有数の最強 研究室でした! (就活・業績・社会人 としての能力・研究 内容)成長したい人 におすすめ!

ものごとを端的に伝える能力が鍛えられる。

社会人になるための最 低限の準備ができる環 境があると思う。(発表 スキルとか考え方とか が身につく)

2025/7/14

こんな人に来て欲しい(配属説明会資料)



- ■半導体・1
- ■回路設計
- ■電子回路
- ■ものづく
- ■色々な事
- ■関連授業 電気回 計算機 半導体

本格的



頁です

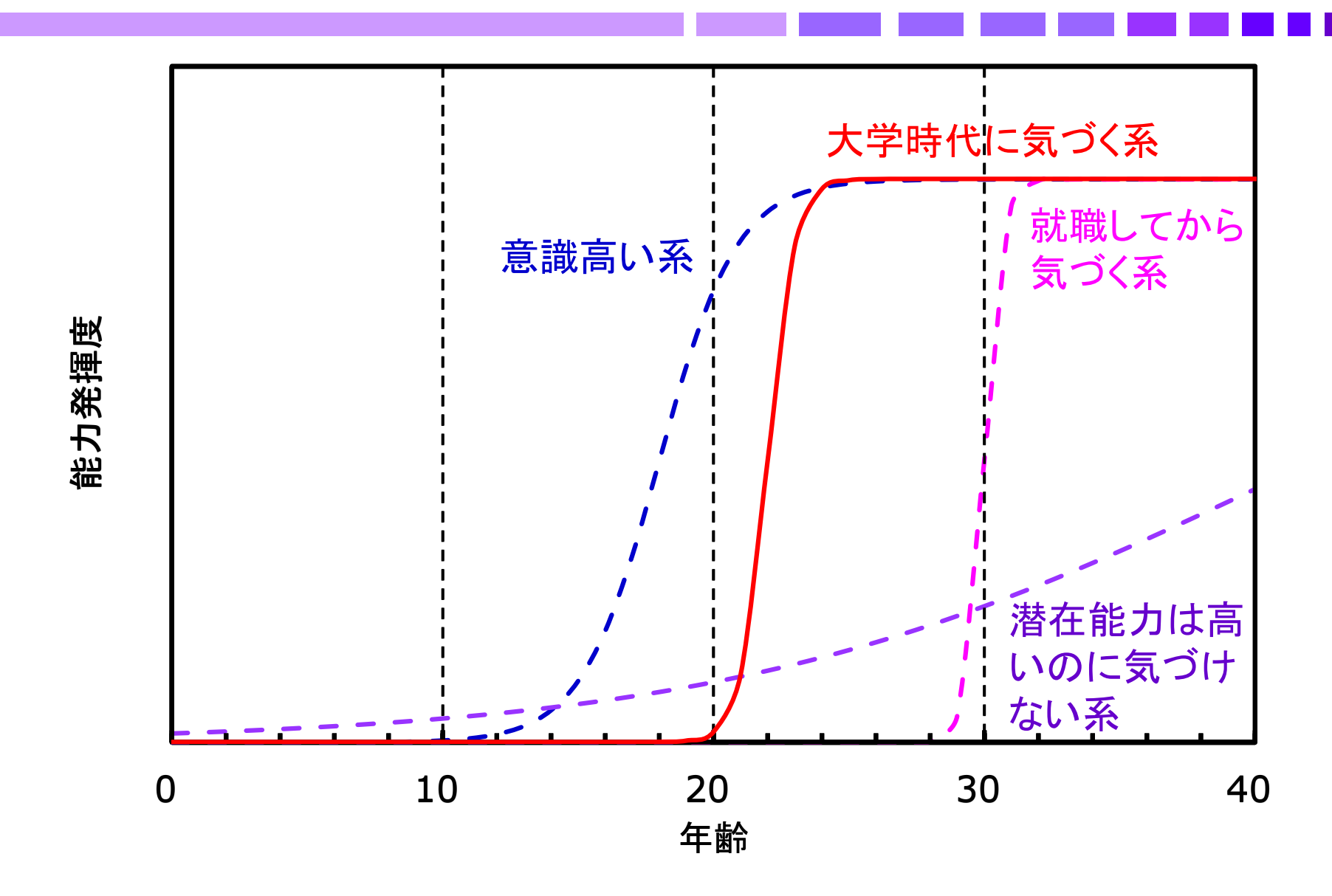
学生に言ってきた言葉...



- ■時間を守る・納期を守る
- ■今日できることを明日に延ばすな
- ■野望を持つ

"気づき"の大切さ





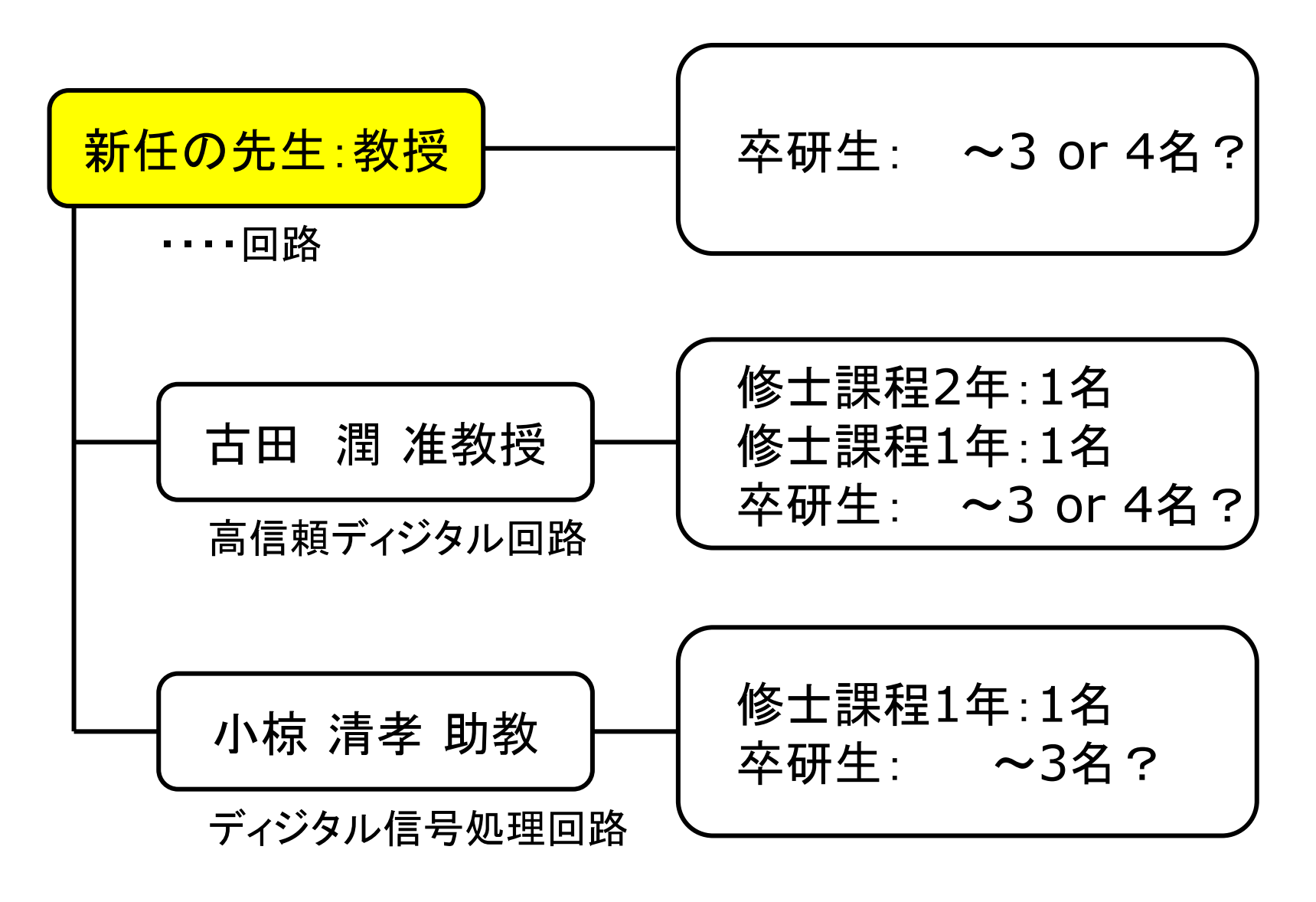
話の内容



- 東芝時代(1985~2010)
- ■岡山県立大学時代(2010~2025)
 - Oscillator
 - Injection Lock and Push-Push Frequency Generator
 - Amplifier
 - ■集積回路工学研究室伊藤Gr
- ■今後の予定

集積回路工学研究室スタッフ(2025年度)





今後の予定



- 2025/4~2026/3 "特命教授"として大学に居ます
- 居室は2407 → 2309へ引っ越します
- ■今後の活動
 - ■学生の研究指導
 - ■論文化できてない研究の論文化
 - ■T.O.(#21)

Technology		2025年 1月~12月									
		5	6	7	8	9	10	11	12		
0.10	Mixed- Signal/RF	7	11		6	3	4-		3		
0.18um	(1.8/3.3V)	14	25	9	13	10	15	5	17		

■大学のセンター業務関係にはタッチしない(でいたい...)





Integrated Circuits Engineering Lab.

Department of Information and Communication Engineering 111 Kuboki, Soja, Okayama, 719-1197 Japan